

قائمة الثوابت الفيزيائية

Quantity	Symbol, equation	Value
speed of light	c	$2.9979 \times 10^8 \text{ m s}^{-1}$
electron charge	e	$1.602 \times 10^{-19} \text{ C}$
Planck constant	h	$6.626 \times 10^{-34} \text{ J s}$
Planck constant, reduced	$\hbar = h/2\pi$	$1.055 \times 10^{-34} \text{ J s}$
conversion constant	hc	$197.327 \text{ MeV fm} = 197.327 \text{ eV nm}$
electron mass	m_e	$9.109 \times 10^{-31} \text{ kg} = 0.511 \text{ MeV}/c^2$
proton mass	m_p	$1.673 \times 10^{-27} \text{ kg} = 938.272 \text{ MeV}/c^2$
neutron mass	m_n	$1.675 \times 10^{-27} \text{ kg} = 939.566 \text{ MeV}/c^2$
fine structure constant	$\alpha = e^2/\hbar c$	$1/137.036$
classical electron radius	$r_e = e^2/m_e c^2$	$2.818 \times 10^{-15} \text{ m}$
electron Compton wavelength	$\lambda = h/m_e c = r_e/\alpha$	$2.426 \times 10^{-12} \text{ m}$
proton Compton wavelength	$\lambda = h/m_p c$	$1.321 \times 10^{-17} \text{ m}$
Bohr radius	$a_0 = r_e/\alpha^2$	$0.529 \times 10^{-10} \text{ m}$
Rydberg energy	$\mathcal{R} = m_e c^2 \alpha^2/2$	13.606 eV
Bohr magneton	$\mu_B = e\hbar/2m_e$	$5.788 \times 10^{-11} \text{ MeV T}^{-1}$
nuclear magneton	$\mu_N = e\hbar/2m_p$	$3.152 \times 10^{-14} \text{ MeV T}^{-1}$
Avogadro number	N_A	$6.022 \times 10^{23} \text{ mol}^{-1}$
Boltzmann constant	k	$1.381 \times 10^{-23} \text{ J K}^{-1}$ $= 8.617 \times 10^{-5} \text{ eV K}^{-1}$
Gas constant	$R = N_A k$	$8.31 \text{ J mol}^{-1} \text{ K}^{-1}$
Gravitational constant	G	$6.673 \times 10^{-11} \text{ m}^3 \text{ kg}^{-1} \text{ s}^{-2}$
permittivity of free space	$\epsilon_0 = 1/\mu_0 c^2$	$8.854 \times 10^{-12} \text{ F m}^{-1}$
permeability of free space	μ_0	$4\pi \times 10^{-7} \text{ N A}^{-2}$

Conversion of units

$$\begin{aligned}
 1 \text{ fm} &= 10^{-15} \text{ m} & 1 \text{ barn} &= 10^{-28} \text{ m}^2 = 100 \text{ fm}^2 & 1 \text{ G} &= 10^{-4} \text{ T} \\
 1 \text{ atmosphere} &= 101325 \text{ Pa} & \text{thermal energy at } T = 300 \text{ K: } & kT &= [38.682]^{-1} \text{ eV} \\
 0^\circ \text{C} &= 273.15 \text{ K} & 1 \text{ eV} &= 1.602 \times 10^{-19} \text{ J} & 1 \text{ eV}/c^2 &= 1.783 \times 10^{-36} \text{ kg}
 \end{aligned}$$

الباب الأول

حركة الجسيمات الحرة في الفراغ:

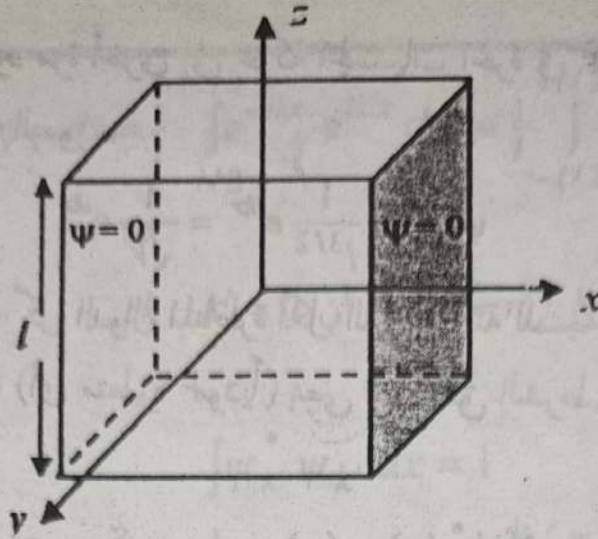
درسنا في العام السابق معادلة شرودنجر في بعد واحد وعلمنا كيف تعمل المعادلة بدراسة مثال على ذلك ممثلاً في جسيم مقيد في صندوق احادى البعد والذي له التكامل $\int |\psi|^2 d\tau$ يؤول على كمية محدودة.

في بعض الأحيان يتباعد تكامل المقدار $|\psi|^2$ بالنسبة لكل الاحداثيات الممكنة، أى أن $\int |\psi|^2 d\tau = \infty$ فمثلاً إذا اعتبرنا الدالة $\psi(x) = A e^{ikx}$ متحركة في حيز غير محدود فإن المقدار $\int \psi^*(x)\psi(x) dx = |A|^2 \int_{-\infty}^{+\infty} dx \rightarrow \infty$ ، أى كمية غير محددة، في هذا الموقف ندرس الحالة في حيز محدود

ثم يتم إرجاعها إلى وضعها الأصلي، وقد جرت العادة عاى أن يكون الحيز المحدود عبارة عن مكعب طول ضلعه l وفي هذه الحالة لا بد وأن يكون هناك شروط معينة وهي الشروط الحوافية على هذا الحيز المحدود وأهم هذه الشروط هو شرط دورية الدالة الموجية (وهو يكافئ تلاشى الدالة الموجية للجسيم عند حوائط المكعب)، وشرط دورية الدالة الموجية ψ يعنى أن لها نفس القيم عند كل وجهين متقابلين وهو ما يمكن أن نعب عنه رياضياً كلاتى:

$$\psi(x, y, z) = \psi(x+l, y, z) = \psi(x, y+l, z) = \psi(x, y, z+l) \quad (1)$$

نأتى الآن لدراسة الدالة، حيث يكون الحيز المحدود هو مكعب طول ضلعه l يقع مركزة عند نقطة أصل الاحداثيات، شكل (1). بتطبيق شرط المعايرة على الدالة $\psi(x) = A e^{ikx}$ داخل المكعب نجد أن:



شكل (١)

$$\int_{-l/2}^{+l/2} \psi^*(x) \psi(x) dx = |A|^2 \int_{-l/2}^{+l/2} dx = |A|^2 l = 1 \quad (2)$$

ومنها يكون $A = \frac{1}{\sqrt{l}}$ وتصبح الدالة الموجية في الصورة:

$$\psi(x) = \frac{1}{\sqrt{l}} e^{ikx} \quad (3)$$

وبتطبيق شرط الدورية (١) على الدالة (٣) نجد أن:

$$\psi(x) = \psi(x+l) \quad (4)$$

أى أن:

$$e^{ikx} = e^{ik(x+l)} \Rightarrow e^{ikl} = 1 \quad (5)$$

وهذا يؤدي إلى أن:

$$kl = 2n\pi \Rightarrow k_n = \frac{2n\pi}{l} \quad (6)$$

حيث n أعداد صحيحة موجبة وسالبة. ويكون التغير في k هو Δk حيث Δk مقدار الفرق بين قيمتين متتاليتين، أى أن $\Delta k = 2\pi/l$ ، ونلاحظ أيضاً أن إدخال الشروط الحوافية (شرط الدورية، وهو يكافئ شرط تقييد الجسم) أدى على أن المتجه الموجي \vec{k} أخذ سلسلة من القيم المتفرقة المحددة

بالعلاقة (٦) وعند الانتقال إلى اللانهاية ($l \rightarrow \infty$) فإن الفرق Δk بين كل قيمتين متتاليتين للمتجه \bar{k} يؤول إلى الصفر وتعود مرة أخرى إلى حركة الجسيمات الحرة في حجم غير محدود من الفراغ. في حالة الأبعاد الثلاث تأخذ ψ الصورة:

$$\psi(r) = \frac{1}{l^{3/2}} e^{ikr} = \frac{1}{\sqrt{V}} e^{ikr} \quad (٧)$$

حيث V هو حجم المكعب. كل الدوال المناظرة لكل القيم الممكنة للمتجه \bar{k} (معادلة ٦) تكون فيما بينها مجموعة من الدوال المتعامدة (أي متعامدة عمودياً) بمعنى أنها تحقق الشرط:

$$\int_V \psi_k^*(r) \psi_{k'}(r) d\tau = \delta_{kk'} = \delta_{nn'} \quad (٨)$$

وهو ما يعرف بشرط المتعامدة العمودي، حيث:

$$d\tau = dx dy dz, \quad \delta_{kk'} = \delta_{k_1 k'_1} \delta_{k_2 k'_2} \delta_{k_3 k'_3} \quad (٩)$$

$$\delta_{kk'} = \begin{cases} 1, & k = k' \\ 0, & k \neq k' \end{cases} \quad (١٠)$$

أو بدلالة قيم العدد الكمي n المرتبط بالعدد الموجي k بالعلاقة (٦) تأخذ (١٠) الصورة:

$$\delta_{nn'} = \begin{cases} 1, & n = n' \\ 0, & n \neq n' \end{cases} \quad (١١)$$

حيث $\delta_{kk'}$ ($\delta_{nn'}$) هي دالة (كونيكر - دلتا).

والحالة $k \neq k'$ ($n \neq n'$) تعني احتمال وجود الجسيم في منزلتين مختلفتين وهذا يعني عدم وجود جسيم له قيم مختلفة للأعداد k (n) على أن يكونا في منزلة واحدة. ولإثبات العلاقة (١٠) أو (١١) نجد أنه من الدالة الموجية (٧):

$$\int \psi_k^* \psi_{k'} dx = \frac{1}{l} \int_{-l/2}^{+l/2} e^{-ikx} e^{ik'x} dx = \frac{1}{l} \int_{-l/2}^{+l/2} e^{i(k'-k)x} dx \quad (12)$$

في الحالة التي يكون فيها $k = k'$ ($n = n'$) نجد أن $k - k' = 0$ وبالتالي فإن:

$$\int \psi_k^* \psi_{k'} dx = 1 \quad (13)$$

أما إذا كانت $k \neq k'$ ($n \neq n'$) فإن:

$$\int \psi_k^* \psi_{k'} dx = \frac{1}{l} \frac{2i \sin \frac{l}{2}(k' - k)}{i(k' - k)} = \frac{\sin \frac{l}{2}(k' - k)}{\frac{l}{2}(k' - k)} \quad (14)$$

والمعادلة الأخيرة (14) حالة عامة، فإنه بالتعويض عن قيمة كل من

$$k = k_n = \frac{2n\pi}{l}, \quad k' = k_{n'} = \frac{2n'\pi}{l}$$

$$\int \psi_k^* \psi_{k'} dx = \frac{\sin \pi(n' - n)}{\pi(n' - n)} = 0 \quad (15)$$

في الحالة التي يكون فيها $n \neq n'$ أما إذا كان $n = n'$ فإننا نضع المقدار في الصورة $\frac{\sin x}{x}$ حيث

$$x = \frac{l}{2}(k' - k) = \pi(n' - n)$$

$$\lim_{x \rightarrow 0} \frac{\sin x}{x} = 1 \quad (16)$$

وإذا أخذنا في الاعتبار نتيجتي التكامل في الحالتين $(n = n') k = k'$ و $(n \neq n') k \neq k'$ الممثلتين بالمعادلتين (15) و (16) على الترتيب وصورة دالة (كرونيكر-دلتا) الممثلة بالعلاقتين (10) و (11) نجد أنهما نفس القيمة لنفس الدالة، أي يمكن وضع التكامل $\int \psi_k^* \psi_{k'} dx$ في الصورة الممثلة بالمعادلة (12) وهو ما يثبت العلاقة.

هنا نتعلم كيف نصف الجسم وصفا دقيقيا في سياق الميكانيكا الكمية. حيث أن الأجسام الكمية لها الخاصية المزدوجة الجسيمية والموجية، نتطلع إلى صيغة رياضية لدمج الخاصيتين معا. في الميكانيكا الكلاسيكية، يكون الجسم محددًا في الفراغ، أى يمكن حساب موضعه وسرعته معا بأى دقة. أما في الميكانيكا الكمية، فإنها تصف الجسم المادى بدالة موجية تناظر الموجة الجسيمية المصاحبة له (موجة دي بروجليه). وكما نعلم أن الدوال الموجية تعتمد على كل الفراغ، بالتالى لا يمكن تحديد موضعها وسرعتها معا. ولكن إذا كان بطريقة ما للدالة الموجية أن تتلاشى في كل مكان فيما عدا في الجوار للجسيم، يمكن في هذه الحالة تستخدم لوصف حركة الجسم. أى أن الجسم المحدود داخل منطقة معينة من الفراغ يمكن وصفه بموجة جسيمية والتي لها السعة كبيرة في تلك المنطقة وتساوى الصفر خارجها. أى أن الموجات الجسيمية لا بد لها أن تكون محدودة حول منطقة معينة من الفراغ والتي بداخلها يكون الجسم مقيدا.

الدالة الموجية في تلك الصورة (المحددة) تدعى الحزمة الموجية. وبالتالي فإن الحزمة الموجية تتكون من مجموعة من الموجات المختلفة قليلا عن بعضها البعض في الطول الموجي، ولها اطوار وسعات تختار بدقة بحيث تتداخل تداخلا بناءا في منطقة صغيرة من الفراغ وتتداخل تداخلا هداما في أى مكان آخر.

رياضيا، يمكن إنجاز ذلك بتحويل فورير. للسهولة سوف نعتبر حزمة موجية لها بعد واحد ويمكن اتباع نفس الإجراء للتعميم لثلاثة ابعاد. هذه الحزمة سوف تصف جسما كلاسيكيا مقيدا في منطقة احادية البعد، على سبيل المثال، جسما يتحرك خلال المحور x . يمكننا تكوين الحزمة $\psi(x, t)$ بتركيب مجموعة من الموجات المستوية تنتشر خلال المحور x لها ترددات مختلفة أو أطوال موجية مختلفة.

$$\psi(x, t) = \frac{1}{\sqrt{2\pi}} \int_{-\infty}^{+\infty} \phi(k) e^{i(kx - \omega t)} dk; \quad (17)$$

حيث تمثل $\phi(k)$ سعة الحزمة الموجية.

نتطلع فيما يأتي إلى صيغة الحزمة الموجية عند لحظة زمنية معطاه، حيث هناك صيغة من الحزمة الموجية التي تعتمد على الزمن والتي سوف نتعامل معها لاحقا. لنختار هذه اللحظة الزمنية لتكون $t = 0$ ولنعتبر عن $\psi(x, 0)$ بالصيغة $\psi_0(x)$ مستقبلا وذلك للتسهيل.

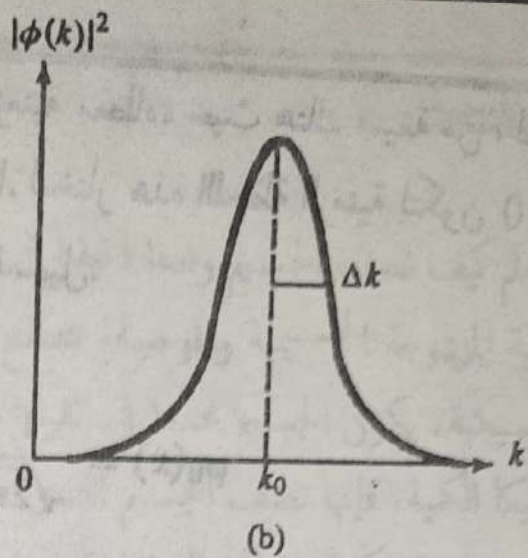
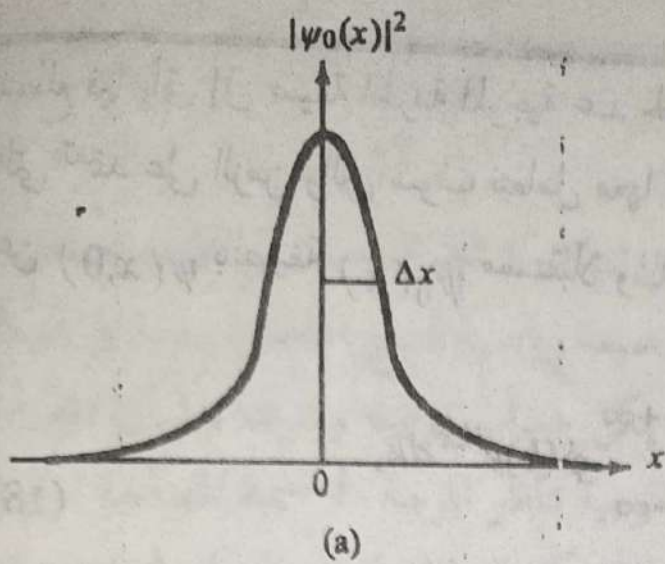
$$\psi_0(x) = \frac{1}{\sqrt{2\pi}} \int_{-\infty}^{+\infty} \phi(k) e^{ikx} dk, \quad (18)$$

حيث تمثل $\phi(k)$ تحويل فوريير للدالة $\psi_0(x)$

$$\phi(k) = \frac{1}{\sqrt{2\pi}} \int_{-\infty}^{+\infty} \psi_0(x) e^{-ikx} dx \quad (19)$$

العلاقات (18) و (19) أنه يمكن تعيين $\psi_0(x)$ من $\phi(k)$ والعكس بالعكس.

الحزمة الموجية (18)، لها خاصية الموجة المحدودة حيث: $|\psi_0(x)|$ لها قمة عند $x = 0$ وتتلشى بعيدا عن $x = 0$. من ناحية اخرى عندما $x \rightarrow 0$ نجد أن $e^{ikx} \rightarrow 1$ ، بالتالي الموجات التي لها ترددات مختلفة تتداخل تداخلا بناءا (اي أن التكامل على قيم k المختلفة في المعادلة (18) ينتج تكاملا بناءا. بمعنى آخر تلك القيم هي فقط التي تساهم في التكامل)، من ناحية أخرى بعيدا عن $x = 0$ (أي أن للقيم $|x| \gg 0$) الطور e^{ikx} يعمل عدة دورات تؤدي إلى تذبذبات متعارضة وبذلك ينتج تداخلا هداما (أي أن التكامل على قيم k المختلفة يؤول إلى الصفر). وبالتالي في لغة التفسير الاحتمالي يكون للجسيم احتمالا كبيرا لتواجده قرب $x = 0$ أما فرصة تواجده بعيدا عن $x = 0$ تكون معدومة. هذا التحليل ينطبق تماما على الدالة $\phi(k)$ حيث لها قمة عند $k = 0$ وتتلشى بعيدا عن $k = 0$ ، شكل (2) يوضح الحزمة الموجية والتي لها خواص المحدودية التي قمنا بوصفها فيما سبق.



شكل (٢) الحزم الموجية المحدودة

$$\phi(k) = (a^2 / 2\pi)^{1/4} e^{-a^2(k-k_0)^2/4} \quad \text{و} \quad \psi_0(x) = (2/\pi a^2)^{1/4} e^{-x^2/a^2} e^{ik_0 x}$$

والتي لها القمة عند $x=0$ و $k=0$ على الترتيب وتتلاشى بعيدا عن تلك القيم

كما نعلم سابقا من التفسير الاحتمالي للدالة الموجية فإن التفسير الاحتمالي للحزمة الموجية لا يختلف حيث أن $\psi_0(x)$ تمثل الدالة الموجية أو السعة الاحتمالية لوجود الجسم عند الموضع x ، بالتالي $|\psi_0(x)|^2 dx$ تعطي الاحتمال لوجود الجسم بين x و $x+dx$. ماذا عن التفسير الاحتمالي للدالة $\phi(k)$ ؟ من المعادلتين (١٨) و (١٩) نجد أن

$$\int_{-\infty}^{+\infty} |\psi_0(x)|^2 dx = \int_{-\infty}^{+\infty} |\phi(k)|^2 dk; \quad (20)$$

إذا كانت الدالة $\psi_0(x)$ دالة معايرة تكون الدالة $\phi(k)$ والعكس بالعكس. بالتالي فإن الدالة يمكن تفسيرها بشكل طبيعي مثل الدالة $\psi_0(x)$ بأنها السعة الاحتمالية لقياس المتجه الموجي \bar{k} للجسيم في المنزلة $\phi(k)$. علاوة على ذلك، بينما تمثل $|\phi(k)|^2$ الكثافة الاحتمالية لقياس المتجه الموجي \bar{k} ، المقدار $P(k) dk = |\phi(k)|^2 dk$ يعطي احتمال تواجد المتجه الموجي بين القيم k و $k+dk$.

يمكننا الآن استخلاص المعلومات عن سرعة الجسم بشكل أوضح وذلك بصياغة الموجة الجسيمية بدلالة طاقة الجسم E وكمية حركته p . باستخدام $k = p/\hbar$ ، $dk = dp/\hbar$ و $E = \hbar\omega$ ونعيد تسمية $\tilde{\phi}(p) = \phi(k/\hbar)$ يمكننا صياغة المعادلات (١٧-١٩) في الصورة

$$\psi(x, t) = \frac{1}{\sqrt{2\pi\hbar}} \int_{-\infty}^{+\infty} \bar{\phi}(p) e^{i(px - Et)/\hbar} dp, \quad (21)$$

$$\psi_0(x) = \frac{1}{\sqrt{2\pi\hbar}} \int_{-\infty}^{+\infty} \bar{\phi}(p) e^{ipx/\hbar} dp, \quad (22)$$

$$\bar{\phi}(p) = \frac{1}{\sqrt{2\pi\hbar}} \int_{-\infty}^{+\infty} \psi_0(x) e^{-ipx/\hbar} dx, \quad (23)$$

حيث $E(p)$ تمثل طاقة الجسيم الكلية والموصوف بالحزمة الموجية $\psi(x, t)$ وتمثل $\bar{\phi}(p)$ سعة كمية التحرك للحزمة الموجية. لنتمكن من فهم الحزمة الموجية فهنا جيداً سوف نعتبر المثال التالي.

مثال: احسب $\psi(x, 0)$ للحزمة الموجية الجاوسية $\phi(k) = A \exp[-a^2(k - k_0)^2/4]$ ، حيث A ثابت المعايرة. احسب ثابت المعايرة وكذلك احتمال تواجد الجسيم في المنطقة $-a/2 \leq x \leq a/2$ ، أوجد أيضاً الدالة $\phi(k)$ للحزمة الموجية التربيعية

$$\psi_0(x) = \begin{cases} Ae^{ik_0x} & |x| \leq a \\ 0 & |x| > a. \end{cases}$$

أوجد لها ثابت المعايرة لكي تصبح الدالة معايرة.

الحل: يمكن حساب ثابت المعايرة بسهولة كالتالي:

$$1 = \int_{-\infty}^{+\infty} |\phi(k)|^2 dk = |A|^2 \int_{-\infty}^{+\infty} \exp\left[-\frac{a^2}{2}(k - k_0)^2\right] dk,$$

يمكن استخدام $z = k - k_0$ وبمساعدة التكامل

$$\int_{-\infty}^{+\infty} e^{-a^2 z^2/2} dz = \sqrt{2\pi/a}$$

يؤدي إلى $A = \sqrt{a/\sqrt{2\pi}} = [a^2/(2\pi)]^{1/4}$ ، بالتالي تصبح الحزمة الموجية المتعايرة التي تناظر الحزمة الموجية المتعايرة

$$\phi(k) = \left(\frac{a^2}{2\pi}\right)^{1/4} \exp\left[-\frac{a^2}{4}(k - k_0)^2\right], \quad (24)$$

في الصورة

$$\psi_0(x) = \frac{1}{\sqrt{2\pi}} \int_{-\infty}^{+\infty} \phi(k) e^{ikx} dk = \frac{1}{\sqrt{2\pi}} \left(\frac{a^2}{2\pi}\right)^{1/4} \int_{-\infty}^{+\infty} e^{-a^2(k-k_0)^2/4 + ikx} dk.$$

لكي نحري التكامل على تلك الحزمة نقوم فقط بإعادة ترتيب الجزء الأسى كالآتي

$$-\frac{a^2}{4}(k - k_0)^2 + ikx = -\left[\frac{a}{2}(k - k_0) - \frac{ix}{a}\right]^2 - \frac{x^2}{a^2} + ik_0x$$

يمكننا وضع $y = a(k - k_0)/2 - ix/a$ بما يؤدي إلى $dk = 2dy/a$ ، بالتالي تصبح الدالة الموجية في الصورة

$$\begin{aligned} \psi_0(x) &= \frac{1}{\sqrt{2\pi}} \left(\frac{a^2}{2\pi}\right)^{1/4} \int_{-\infty}^{+\infty} e^{-x^2/a^2} e^{ik_0x} e^{-y^2} \left(\frac{2}{a} dy\right) \\ &= \frac{1}{\sqrt{\pi}} \left(\frac{2}{\pi a^2}\right)^{1/4} e^{-x^2/a^2} e^{ik_0x} \int_{-\infty}^{+\infty} e^{-y^2} dy \end{aligned}$$

وحيث أن $\int_{-\infty}^{+\infty} e^{-y^2} dy = \sqrt{\pi}$ نحصل على الدالة الموجية في الصورة

$$\psi_0(x) = \left(\frac{2}{\pi a^2}\right)^{1/4} e^{-x^2/a^2} e^{ik_0x} \quad (25)$$

حيث e^{ik_0x} تمثل طور الدالة $\psi_0(x)$. من هنا نرى أن $\psi_0(x)$ تمثل موجة تذبذبية لها العدد الموجي k_0 والذي تم تعديله بواسطة دالة جاوسية متمركزة عند نقطة الأصل. لاحظ أن $\psi_0(x)$ مثلها مثل $\phi(k)$ دالة متعايرة. أيضا الدوال الموجية السابقة تبين أن تحويل فوريير للحزمة الموجية الجاوسية هو أيضا حزمة موجية جاوسية.

اما احتمال تواجد الجسم في المنطقة $-a/2 \leq x \leq a/2$ فيعطي من

$$P = \int_{-a/2}^{+a/2} |\psi_0(x)|^2 dx = \sqrt{\frac{2}{\pi a^2}} \int_{-a/2}^{+a/2} e^{-2x^2/a^2} dx = \frac{1}{\sqrt{2\pi}} \int_{-1}^{+1} e^{-z^2/2} dz = \frac{2}{3}$$

حيث استخدمنا التعويض $z = 2x/a$. اما بالنسبة للدالة التربيعية فعايرة الدالة كما سبق

$$1 = \int_{-\infty}^{+\infty} |\psi_0(x)|^2 dx = |A|^2 \int_{-a}^{+a} e^{-ik_0x} e^{ik_0x} dx = |A|^2 \int_{-a}^{+a} dx = 2a|A|^2$$

ما يعنى أن $A = 1/\sqrt{2a}$ ، ويصبح تحويل فوريير للدالة $\psi_0(x)$ في الصورة

$$\phi(k) = \frac{1}{\sqrt{2\pi}} \int_{-\infty}^{+\infty} \psi_0(x) e^{-ikx} dx = \frac{1}{2\sqrt{\pi a}} \int_{-a}^{+a} e^{ik_0x} e^{-ikx} dx = \frac{1}{\sqrt{\pi a}} \frac{\sin[(k - k_0)a]}{k - k_0}$$

تمرين (1): أوجد تحويل فوريير للدالة

$$\phi(k) = \begin{cases} A(a - |k|) & |k| \leq a \\ 0 & |k| > a \end{cases}$$

حيث تمثل a بارامتر موجب و تمثل A ثابت المعايرة والمطلوب إيجاد

تمرين (2): اعتبر الدوال الموجية الثلاثة الآتية

$$\psi_3 = A_3(e^{-y^2} + ye^{-y^2/2}) \quad \text{و} \quad \psi_1 = A_1 e^{-y^2}, \quad \psi_2 = A_2 e^{-y^2/2}$$

حيث A_1, A_2, A_3 تمثل ثوابت للمعايرة.

- (١) احسب ثوابت المعايرة A_1, A_2, A_3
- (٢) احسب احتمال تواجد كل حالة في الفترتين $0 < y < 1$ ، $-1 < y < 1$

تمرين (٣): أوجد تحويل فوريير للدوال الآتية مع حساب ثابت المعايرة إن وجد

$$\psi(x) = \begin{cases} 1 - |x| & |x| < 1 \\ 0 & |x| \geq 1 \end{cases}$$

$$\psi(x) = A/(1+x^2), \quad \phi(k) = Ae^{-a|k|-bk}$$

$$\phi(p) = \begin{cases} 0 & p < -p_0 \\ A & -p_0 < p < p_0 \\ 0 & p_0 < p, \end{cases}$$

علاقة عدم التأكد (التحديد) والحزمة الموجية:

نود هنا أن نثبت أن اتساع الحزمة الموجية $\psi_0(x)$ واتساع سعتها $\phi(k)$ ليسا مستقلين، بل مرتبطين بعلاقة وثيقة. هذه العلاقة الوثيقة بين الاتساع في فراغات x و k لها علاقة مباشرة بعلاقة هيزنبرج لعدم التأكد.

للسهولة، دعنا نشرح الأفكار الأساسية للحزمة الموجية الجاوسية والتي تم معالجتها في المثال السابق (٢٤) و (٢٥).

$$\psi_0(x) = \left(\frac{2}{\pi a^2}\right)^{1/4} e^{-x^2/a^2} e^{ik_0 x}, \quad (26)$$

$$\phi(k) = \left(\frac{a^2}{2\pi}\right)^{1/4} e^{-a^2(k-k_0)^2/4} \quad (27)$$

كما هو موضح في شكل (٢) $|\psi_0(x)|^2$ و $|\phi(k)|^2$ مركزان عند $x=0$ و $k=k_0$ ، على الترتيب. من المناسب ان نعرف نصف الاتساع Δx و Δk بالتناظر لنصف الاتساع في القيمة العظمى لكل

من $|\psi_0(x)|^2$ و $|\phi(k)|^2$ على الترتيب. بالتالي، عندما تتغير x من 0 إلى $\pm \Delta x$ و تتغير k من k_0 إلى $k_0 \pm \Delta k$ ، تسقط القيمة العظمى للدالتين $|\psi_0(x)|^2$ و $|\phi(k)|^2$ إلى القيمة $e^{-1/2}$:

$$\frac{|\psi(\pm \Delta x, 0)|^2}{|\psi(0, 0)|^2} = e^{-1/2}$$

$$\frac{|\phi(k_0 \pm \Delta k)|^2}{|\phi(k_0)|^2} = e^{-1/2}$$

باستخدام تلك المعادلات مع المعادلات (26) و (27) تؤدي إلى

$$e^{-2\Delta x^2/a^2} = e^{-1/2}$$

$$e^{-a^2 \Delta k^2/2} = e^{-1/2}$$

أو إلى النتيجة

$$\Delta x = \frac{a}{2}, \quad \Delta k = \frac{1}{a},$$

وبالتالي

$$\Delta x \Delta k = \frac{1}{2}.$$

وحيث أن $\Delta k = \Delta p/\hbar$ نحصل على

$$\Delta x \Delta p = \frac{\hbar}{2}.$$

(28)

هذه العلاقة توضح أنه إذا كان اتساع الحزمة ضيقا في فراغ الإحداثيات كان اتساعها عريضا جدا في فراغ كمية التحرك والعكس بالعكس.

في الحقيقة المعادلة الأخيرة (28) هي الحد الأدنى لعلاقة هيزنبرج. وكتيجة لهذا، تسمى الحزمة الموجية الجاوسية الحزمة التي لها أقل درجة عدم تأكيد (minimum uncertainty wave packet). كل

الحزم الأخرى تنتج قيم عليا من حاصل ضرب عدم تأكيد الإحداثيات وكمية التحرك $\Delta x \Delta p > \hbar/2$.
 يمكننا الآن أن نستنتج أن قيمة عدم التأكيد لحاصل الضرب $\Delta x \Delta p$ يتغير تبعا لاختيار الدالة الموجية ψ ، مع الوضع في الاعتبار أن الحد الأدنى هو $\hbar/2$ ، والذي نحصل عليه فقط عند اختيار الدالة الموجية لتكون هي الدالة الموجية الجاوسية.

تمرين (٤): في تمرين (١) احسب قسم عدم التأكيد $\Delta x, \Delta p$ ثم اختبر عما إذا كانت تحقق مبدأ عدم التأكيد.

تمرين (٥): احسب سرعة الطور وسرعة المجموعة للحزمة الموجية المناظرة لجسيم نسبي.

تمرين (٦): للدالة في تمرين (٣) استخدم العلاقات

$$(\Delta x)^2 = \int_{-\infty}^{+\infty} dx (x^2 - x) |\psi(x)|^2$$

$$(\Delta p)^2 = \int_{-\infty}^{+\infty} dp (p^2 - p) |\phi(p)|^2$$

لحساب عدم التأكيد Δx و Δp واثبت أن $\Delta x \Delta p$ تحقق علاقة هايزنبرج لعدم التحديد.

انتشار الحزمة الموجية بدون تشوه:

لنعتبر حزمة موجية مركزها عند نقطة الأصل المعتمدة على الزمن:

$$\psi(x, t) = \frac{1}{\sqrt{2\pi}} \int_{-\infty}^{+\infty} \phi(k) e^{ik(x-v_0 t)} dk \quad (29)$$

عندما تتناسب ω مع العدد الموجي k ، أى أن $\omega = v_0 k$ ، تتحرك الحزمة ناحية اليمين بسرعة ثابتة v_0 بدون تشوه.

على أى حال، حيث أننا نهتم بالحزمة الموجية التى تصف الجسم، نحتاج على اعتبار حالة أكثر عمومية كوسط غير مشيت والذي ينقل الموجات التوافقية التى لها ترددات مختلفة عند سرعات مختلفة. هذا يعنى أن التردد الزاوى ω يجب أن يكون دالة فى العدد الموجي k ، أى أن $\omega = \omega(k)$ فى هذه الحالة فإن الصيغة $\omega = \omega(k)$ تُحدد بمطلوب بأن تكون الحزمة الموجية $\psi(x, t)$ تصف الجسم محل الدراسة. لنفرض أن السعة $\phi(k)$ لها قمة عند $k = k_0$ ، فى هذه الحالة نجد أن $\phi(k) = g(k - k_0)$ تختلف بشكل معتبر عن الصفر فقط فى معدل ضيق $\Delta k = k - k_0$ ، ويمكننا فى هذه الحالة أن نستخدم مفكوك تيلور حول k_0

$$\omega = \omega(k_0) + (k - k_0) \left(\frac{d\omega(k)}{dk} \right)_{k=k_0} + \frac{1}{2!} (k - k_0)^2 \left(\frac{d^2\omega}{dk^2} \right)_{k=k_0} + \dots$$

$$= \omega(k_0) + (k - k_0) v_g + \alpha (k - k_0)^2 \quad (30)$$

$$\text{حيث } \left(\frac{d\omega(k)}{dk} \right)_{k=k_0} = v_g \quad \cdot \quad \frac{1}{2} \left(\frac{d^2\omega}{dk^2} \right)_{k=k_0} = \alpha$$

الآن، لتحديد الدالة $\psi(x, t)$ نحتاج ببساطة لنعوض عن المعادلة (30) مع $\phi(k) = g(k - k_0)$ فى المعادلة (17) لنحصل على

$$\psi(x, t) = \frac{1}{\sqrt{2\pi}} e^{ik_0(x - v_{ph}t)} \int_{-\infty}^{+\infty} g(k - k_0) e^{i(k - k_0)(x - v_g t)} e^{-i(k - k_0)^2 \alpha t + \dots} dk \quad (31)$$

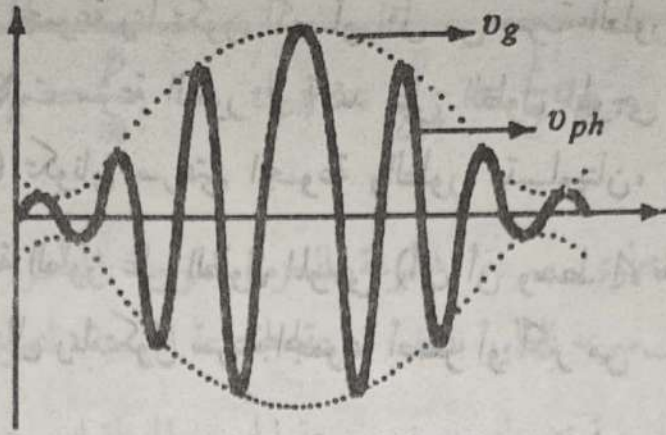
حيث

$$v_g = \frac{d\omega(k)}{dk}, \quad v_{ph} = \frac{\omega(k)}{k} \quad (32)$$

المتغيرات v_g و v_{ph} تمثل على الترتيب سرعتي الطور والمجموعة الموجية. سرعة الطور تعرف سرعة انتشار الطور لموجة توافقية واحدة، $e^{ik_0(x-v_{ph}t)}$ ، أما سرعة المجموعة فتمثل سرعة حركة المجموعة الموجية والتي تكون الحزمة الموجية. من المهم ان نعلم أن نتعامل بحرص مع سرعتي الطور والمجموعة الموجية حيث انهما في الحالة العامة مختلفتين، فقط عندما تتناسب ω مع k فغنها تصبحان متساويتين كما نرى في الصيغتين (٣٢).

سرعتي الطور والمجموعة الموجية:

دعنا الآن نأخذ جولة قصيرة لنشرح ماذا تعني سرعة الطور وسرعة المجموعة الموجية. شكل (٣) يعطى شرحا مناسباً، سرعة المجموعة الموجية تمثل السرعة التي تنتشر بها الحزمة الموجية ككل، أما سرعة الطور فتعطي السرعة لكل موجة على حدة أى بشكل فردي والتي تتمركز داخل غلاف الحزمة الموجية. أى أن في الوقت الذي تتحرك فيه أغشية الموجات الفردية داخل الغلاف بسرعة تساوى سرعة الطور، يتحرك غلاف الحزمة الموجية ككل بسرعة تساوى سرعة المجموعة الموجية. ولنتخيل الموضوع بوضوح فإن السلسلة المتذبذبة تمدنا بشرح واف ومناسب عن الاختلاف بين سرعتي الطور والمجموعة الموجية. في هذه الحالة سرعة الموجة المتحركة عبر السلسلة يجب أن تميز بك تأكيد من سرعة النقطة على السلسلة ذاتها. بفرض أن السلسلة تمددت افقياً عبر محور x (سرعة الطور v_{ph} عبر السلسلة)، يجب أن تمثل سرعة المجموعة v_g السرعة التي عندها يتذبذب جسيم أو عنصر مادي من سلك السلسلة أعلى وأسفل حول موضع اتران في اتجاه عمودي على السلسلة. أى أن سرعة المجموعة تتجه عبر الاتجاه العمودي على السلسلة، بينما يكون اتجاه سرعة الطور عبر السلسلة نفسها.



شكل (٣) الحزمة الموجية هي دالة معدلة بالسعة $g(k - k_0)$ ، وهي تمثل بالغلاف الخارجي (الخط المتقطع). يتحرك الغلاف بسرعة المجموعة v_g وتتحرك الأغشية كل على حده (الخط المتصل) بسرعة

الطور v_{ph}

الفرق بين سرعة المجموعة وسرعة الطور يمكن فهمه تماما باشتقاق العلاقة بينهما. عند تفاضل $\omega = kv_{ph}$

بالنسبة للمتغير k نحصل على $d\omega/dk = v_{ph} + k(dv_{ph}/dk)$ وحيث أن

$$dv_{ph}/dk = (dv_{ph}/d\lambda)(d\lambda/dk) = -(2\pi/k^2)(dv_{ph}/d\lambda)$$

أو

$$k(dv_{ph}/dk) = -\lambda(dv_{ph}/d\lambda)$$

يربط تلك العلاقات نحصل على

$$v_g = \frac{d\omega}{dk} = v_{ph} + k \frac{dv_{ph}}{dk} = v_{ph} - \lambda \frac{dv_{ph}}{d\lambda} \quad (33)$$

والتي يمكننا كتابتها في الصورة

$$v_g = v_{ph} + p \frac{dv_{ph}}{dp} \quad (34)$$

وبما أن $k(dv_{ph}/dk) = (p/\hbar)(dv_{ph}/dp)(dp/dk)$ لأن $k = p/\hbar$ المعادلات (٣٣) و

(٣٤) تبين أن سرعة المجموعة ربما تكون أكبر أو أقل من سرعة الطور، أيضا ربما تساويها اعتمادا على وسط الانتشار. إذا كانت سرعة الطور لا تعتمد على الطول الموجي (وهذا يحدث إذا كان وسط الانتشار غير مُشْتَت) تكونان سرعتي المجموعة والطور متساويتان، وذلك لأن $dv_{ph}/d\lambda = 0$ ولكن إذا اعتمدت سرعة الطور على الطول الموجي (أى أن وسط الانتشار كما مشتتتا) عندئذ تكون $dv_{ph}/d\lambda \neq 0$ ، وبالتالي ربما تكون سرعة المجموعة أصغر أو أكبر من سرعة الطور.

نعتبر الآن حالة جسيما يتحرك عبر جهد ثابت V له الطاقة الكلية $E(p) = p^2/(2m) + V$ بما أن طاقة الجسيم وكمية تحركه ترتبطان بصفاته الموجية (تردد الموجة والعدد الموجي) بالعلاقان $E = \hbar\omega$ و $p = \hbar k$ يمكننا كتابة العلاقة (٣٢) في الصورة

$$v_g = \frac{dE(p)}{dp}, \quad v_{ph} = \frac{E(p)}{p}$$

والتي يمكن ربطها بالعلاقة $E(p) = p^2/(2m) + V$ لنحصل على

$$v_g = \frac{d}{dp} \left(\frac{p^2}{2m} + V \right) = \frac{p}{m} = v_{particle} \quad (35)$$

$$v_{ph} = \frac{1}{p} \left(\frac{p^2}{2m} + V \right) = \frac{p}{2m} + \frac{V}{p} \quad (36)$$

من هنا نستنتج أن سرعة المجموعة الموجية تساوى السرعة الكلاسيكية للجسيم $v_g = v_{particle}$ هذا يعنى أننا يجب أن نرى مركز الحزمة الموجية يتحرك كلاجسيم الكلاسيكى والذي يتبع قوانين الميكانيكا الكلاسيكية، أى أن مركز الحزمة يجب أن يتبع المسار الكلاسيكى للجسيم. فيما يلى سوف نرى كيف أن فكرة الحزمة الموجية تمدنا بارتباط واضح بين الوصف الكلاسيكى للجسيم والوصف الكمي. في حالة الجسيم الحر، أى أن $V = 0$ ، العلاقتان (٣٥) و (٣٦) تنتجان

$$v_g = \frac{p}{m}, \quad v_{ph} = \frac{p}{2m} = \frac{1}{2}v_g$$

هذا يوضح أنه بينما تساوى سرعة المجموعة للحزمة الموجية المناظرة للجسيم الحر سرعة الجسيم $v_g = p/m$ ، تساوى سرعة الطور نصف سرعة المجموعة الموجية. التعبير $v_{ph} = \frac{1}{2}v_g$ ليس له معنى، والذي يبين أن الدالة الموجية تتحرك بنصف سرعة الجسيم الممثلة له، وهذا يعارض الفيزياء العملية. من هنا نجد أن سرعة الطور عموماً ليس لها أهمية فيزيائية فعلية.

التطور الزمني للحزمة الموجية:

بعد أن تجولنا جولة قصيرة لوصف سرعتي الطور والمجموعة، دعنا الآن نعود لهدفنا الأساسي وهو حساب الدالة الموجية $\psi(x, t)$ معادلة (٣١). لكي ننجز ذلك، نحتاج لأن نقرر أين يمكننا أن نقطع المفكوك (٣٠) أو الأس في الحد تحت التكامل (٣١). الآن ننوي اعتبار حالتين منفصلتين تناظران قطع المفكوك في (٣٠) عند الحد الخطي $(k - k_0)v_g t$ ، أو قطع المفكوك عند الحد المربع $(k - k_0)^2 \alpha t$. الحالتين تدعيان على الترتيب التقريب الخطي والتقريب التربيعي.

في التقريب الخطي، والذي يُضبط عندما تكون $g(k - k_0)$ ضيقة بشكل كلافي لكي نهمل الحد المربع (k^2 - term) أي عندما $(k - k_0)^2 \alpha t \ll 1$ ، تصبح الحزمة الموجية (٣١) في الصورة

$$\psi(x, t) = \frac{1}{\sqrt{2\pi}} e^{ik_0(x - v_{ph}t)} \int_{-\infty}^{+\infty} g(k - k_0) e^{i(k - k_0)(x - v_g t)} dk$$

والتي يمكن صياغتها في الصورة

$$\psi(x, t) = e^{ik_0(x - v_{ph}t)} \psi_0(x - v_g t)$$

(37)

حيث ψ_0 تمثل الدالة الموجية في الحالة الابتدائية

$$\psi_0(x - v_g t) = \frac{1}{\sqrt{2\pi}} \int_{-\infty}^{+\infty} g(q) e^{i(x - v_g t)q} dq$$

المتغير q يعطى من $q = k - k_0$ ، المعادلة (٣٧) تؤدي إلى

$$|\psi(x, t)|^2 = |\psi_0(x - v_g t)|^2 \quad (38)$$

المعادلة (٣٧) تمثل حزمة موجية ذات سعة معدلة. كما هو مشاهد من شكل (٣)، الموجة المعدلة، $\psi_0(x - v_g t)$ ، تنتشر ناحية اليمين بسرعة مجموعة v_g ، في حين أن الموجة المعدلة $e^{ik_0(x - v_{ph} t)}$ تمثل موجة توافقية مجردة لها عدد موجي ثابت k_0 والتي تتحرك أيضا ناحية اليمين بسرعة الطور v_{ph} من هنا، نجد أن الصيغتين (٣٧) و (٣٨) تمثلان حزمة موجية، تتحرك قمتها ككل بالسرعة v_g بينما الموجات الفردية تنتشر داخل الغلاف بالسرعة v_{ph} . إن سرعة المجموعة التي تعطى سرعة القمة، تمثل بوضوح سرعة الجسم، لأن فرصة وجود الجسم حول قمة الحزمة أكبر من فرصة وجوده في أي منطقة أخرى من الفراغ، الحزمة الموجية بشكل كبير متمركزة حول جوار موضع الجسم وتنتشر في أي مكان آخر. لذلك فإن سرعة المجموعة، وليست سرعة الطور تساوي سرعة الجسم الممثل بالحزمة الموجية. هذا يبين بوضوح اقتراح ان حركة مادة الجسم يمكن وصفها بشكل جيد بالحزمة الموجية.

الآن، ماذا عن حجم الحزمة الموجية في التقريب الخطي؟ هل تتأثر بانتشار الجسم؟ الإجابة لا بوضوح. حيث يمكن أن نتبين هذا حالا من الصيغة (٣٧): حيث أن $\psi_0(x - v_g t)$ تمثل من الناحية الرياضية، منحني يتحرك ناحية اليمين بسرعة v_g بدون إعادة صياغة. هذا يعني أن إذا كانت الحزمة الموجية في البداية جاووسية، سوف تظل جاووسية كما تنتشر في الفراغ بدون أي تغير في حجمها. ولنلخص هذا في الآتي: لقد أثبتنا أنه في التقريب الخطي، تنتشر الحزمة الموجية بدون تشوه وتستمر متحركة بحركة منتظمة. لاحقا سوف ندرس الشروط الواجبة لكي تواجه الحزمة الموجية تغيرا أثناء الانتقال.

تشوه الحزمة الموجية أثناء الانتشار:

دعنا الان ندرس الحزمة الموجية آخذين في الاعتبار الحد المربع k^2 -term $(k - k_0)^2 \alpha t$ ، في الحد تحت التكامل في (٣١). هذا يؤدي إلى

$$\psi(x, t) = e^{-ik_0(x - v_{ph}t)} f(x, t) \quad (39)$$

حيث تمثل $f(x, t)$ غلاف الحزمة الموجية وتعطى من

$$f(x, t) = \frac{1}{\sqrt{2\pi}} \int_{-\infty}^{+\infty} g(q) e^{iq(x - v_g t)} e^{iq^2 \alpha t} dq$$

حيث $q = k - k_0$

لكي نثبت كيف تتأثر الحزمة الموجية بالبارامتر α ، دعنا نعتبر الحزمة الجاوسية

$$\phi(k) = \left(\frac{a^2}{2\pi}\right)^{1/4} \exp\left[-\frac{a^2}{4}(k - k_0)^2\right]$$

والتي لها الاتساع الابتدائي $\Delta x_0 = a/2$ و

$\Delta k = \hbar/2$. بالتعويض عن $\phi(k)$ في (٣٩) نحصل على

$$\psi(x, t) = \frac{1}{\sqrt{2\pi}} \left(\frac{a^2}{2\pi}\right)^{1/4} e^{ik_0(x - v_{ph}t)} \int_{-\infty}^{+\infty} \exp\left[iq(x - v_g t) - \left(\frac{a^2}{4} + i\alpha t\right)q^2\right] dq$$

وبحساب التكامل يمكننا أن نبين أن كثافة التوزيع الاحتمالي للحزمة يعطى من

$$|\psi(x, t)|^2 = \frac{1}{\sqrt{2\pi} \Delta x(t)} \exp\left\{-\frac{(x - v_g t)^2}{[\Delta x(t)]^2}\right\}$$

حيث $\Delta x(t)$ اتساع الحزمة عند اللحظة الزمنية t

$$\Delta x(t) = \frac{a}{2} \sqrt{1 + \frac{16a^2}{a^4} t^2} = \Delta x_0 \sqrt{1 + \frac{a^2 t^2}{(\Delta x_0)^4}} \quad (40)$$

نرى أن اتساع الحزمة، والذي كان في الحالة الابتدائية $\Delta x_0 = a/2$ ، قد كبر بالمعامل

$\sqrt{1 + a^2 t^2 / (\Delta x_0)^4}$ بعد مرور زمن قدره t . هذا يبين أن الحزمة قد انتشرت، هذا الانتشار بسبب ادخال الحد التربيعي q^2 أى الحد $i q^2 \alpha t$. عند إهمال هذا الحد سوف يظل اتساع الحزمة الموجة ثابتا ويساوى Δx_0 .

لكي نكون احساسا كاملا وادق عن نمو أو كبر الحزمة الموجية، كما هو مبين في (٤٠)، نحتاج لأن نعين البارامتر α ، وهذا يتطلب تعيين الدالة $\omega(k)$ ، لأن $\alpha = \frac{3}{2} \left. \frac{d\omega}{dk} \right|_{k=k_0}$.

مثال: بين كيف تنتشر الحزمة الموجية المناظرة للجسيم الحر الذي له حزمة موجية جاوسية ابتدائية.

الحل: المطلوب هنا اكتشاف كيف تنتشر الحزمة الموجية المناظرة للجسيم الحر

زمنيا. بداية نود إيجاد شكل الحزمة الموجية. بالتعويض عن $\phi(k) = (a^2 / 2\pi)^{1/4} e^{-a^2(k-k_0)^2/4}$ في تحويل فوريير نحصل على

$$\psi(x, t) = \frac{1}{\sqrt{2\pi}} \left(\frac{a^2}{2\pi} \right)^{1/4} \int_{-\infty}^{+\infty} \exp \left[-\frac{a^2}{4} (k - k_0)^2 + i(kx - \omega t) \right] dk \quad (41)$$

وحيث أن $\omega(k) = \hbar k^2 / (2m)$ وهى علاقة التشتت للجسيم الحر وبوضع $q = k - k_0$ يمكننا كتابة الاس في المعادلة السابقة في الصورة

$$-\frac{a^2}{4}(k-k_0)^2 + i\left(kx - \frac{\hbar k^2 t}{2m}\right) = -\left(\frac{a^2}{4} + i\frac{\hbar t}{2m}\right)q^2 + i\left(x - \frac{\hbar k_0 t}{m}\right)q$$

$$+ ik_0\left(x - \frac{\hbar k_0 t}{m}\right)$$

$$= -aq^2 + i\left(x - \frac{\hbar k_0 t}{m}\right)q + ik_0\left(x - \frac{\hbar k_0 t}{m}\right)$$

$$= -a\left[q - \frac{i}{2a}\left(x - \frac{\hbar k_0 t}{m}\right)\right]^2 - \frac{1}{4a}\left(x - \frac{\hbar k_0 t}{m}\right)^2$$

$$+ ik_0\left(x - \frac{\hbar k_0 t}{m}\right) \quad (42)$$

حيث استخدمنا العلاقة $-aq^2 + iyq = -a\left[q - iy/(2a)\right]^2 - y^2/(4a)$ والعلاقة

حيث $y = x - \hbar k_0 t / m$

$$a = \frac{a^2}{4} + i\frac{\hbar t}{2m} \quad (43)$$

من العلاقة (42) في (43) نحصل على

$$\psi(x, t) = \frac{1}{\sqrt{2\pi}} \left(\frac{a^2}{2\pi}\right)^{1/4} \exp\left[ik_0\left(x - \frac{\hbar k_0 t}{m}\right)\right] \exp\left[-\frac{1}{4a}\left(x - \frac{\hbar k_0 t}{m}\right)^2\right]$$

$$\times \int_{-\infty}^{+\infty} \exp\left\{-a\left[q - \frac{i}{2a}\left(x - \frac{\hbar k_0 t}{m}\right)\right]^2\right\} dq \quad (44)$$

باستخدام التكامل $\int_{-\infty}^{+\infty} \exp[-a(q - iy/(2a))^2] dq = \sqrt{\pi/a}$ نحصل على

$$\psi(x, t) = \frac{1}{\sqrt{a}} \left(\frac{a^2}{8\pi} \right)^{1/4} \exp \left[ik_0 \left(x - \frac{\hbar k_0 t}{m} \right) \right] \exp \left[-\frac{1}{4a} \left(x - \frac{\hbar k_0 t}{m} \right)^2 \right] \quad (45)$$

وحيث أن α مركبة يمكن كتابتها في الصورة القطبية

$$a = \frac{a^2}{4} \left(1 + i \frac{2\hbar t}{ma^2} \right) = \frac{a^2}{4} \left(1 + \frac{4\hbar^2 t^2}{m^2 a^4} \right)^{1/2} e^{i\theta} \quad (46)$$

حيث $\theta = \tan^{-1} [2\hbar t / (ma^2)]$ وبالتالي

$$\frac{1}{\sqrt{a}} = \frac{2}{a} \left(1 + \frac{4\hbar^2 t^2}{m^2 a^4} \right)^{-1/4} e^{-i\theta/2} \quad (47)$$

من (43) و(47) في (45) نحصل على

$$\psi(x, t) = \left(\frac{2}{\pi a^2} \right)^{1/4} \left(1 + \frac{4\hbar^2 t^2}{m^2 a^4} \right)^{-1/4} e^{-i\theta/2} e^{ik_0(x - \hbar k_0 t / 2m)} \exp \left[-\frac{(x - \hbar k_0 t / m)^2}{a^2 + 2i\hbar t / m} \right] \quad (48)$$

وحيث أن $y = x - \hbar k_0 t / m$ حيث $\left| e^{-y^2 / (a^2 + 2i\hbar t / m)} \right|^2 = e^{-y^2 / (a^2 - 2i\hbar t / m)} e^{-y^2 / (a^2 + 2i\hbar t / m)}$

وحيث أن $y^2 / (a^2 - 2i\hbar t / m) + y^2 / (a^2 + 2i\hbar t / m) = 2a^2 y^2 / (a^4 + 4\hbar^2 t^2 / m^2)$.

نجد أن

$$\left| \exp \left(-\frac{y^2}{a^2 + 2i\hbar t / m} \right) \right|^2 = \exp \left(-\frac{2a^2 y^2}{a^4 + 4\hbar^2 t^2 / m^2} \right) \quad (49)$$

أي أن

$$|\psi(x, t)|^2 = \sqrt{\frac{2}{\pi a^2}} \left(1 + \frac{4\hbar^2 t^2}{m^2 a^4} \right)^{-1/2} \left| \exp \left[-\frac{(x - \hbar k_0 t / m)^2}{a^2 + 2i\hbar t / m} \right] \right|^2$$

$$= \sqrt{\frac{2}{\pi a^2 \gamma(t)}} \exp \left\{ -\frac{2}{[a\gamma(t)]^2} \left(x - \frac{\hbar k_0 t}{m} \right)^2 \right\} \quad (50)$$

$$\gamma(t) = \sqrt{1 + 4\hbar^2 t^2 / (m^2 a^4)} \quad \text{حيث}$$

رأينا أن الحزمة الموجية (٤٨) والكثافة الاحتمالية (٥٠) ظلا جاووسيتين اثناء التطور الزمني.

وحيث أن سرعة المجموعة للجسيم (٤٨) في الصورة $v_g = d\omega/dk = \left. \frac{d}{dk} \left(\frac{\hbar k^2}{2m} \right) \right|_{k_0} = \hbar k_0 / m$ يمكننا كتابة المعادلة

$$\psi(x, t) = \frac{1}{\sqrt{\sqrt{2\pi} \Delta x(t)}} e^{-i\theta/2} e^{ik_0(x - v_g t/2)} \exp \left[-\frac{(x - v_g t)^2}{a^2 + 2i\hbar t/m} \right] \quad (51)$$

والكثافة الاحتمالية

$$|\psi(x, t)|^2 = \frac{1}{\sqrt{2\pi} \Delta x(t)} \exp \left\{ -\frac{(x - v_g t)^2}{[2\Delta x(t)]^2} \right\} \quad (52)$$

حيث

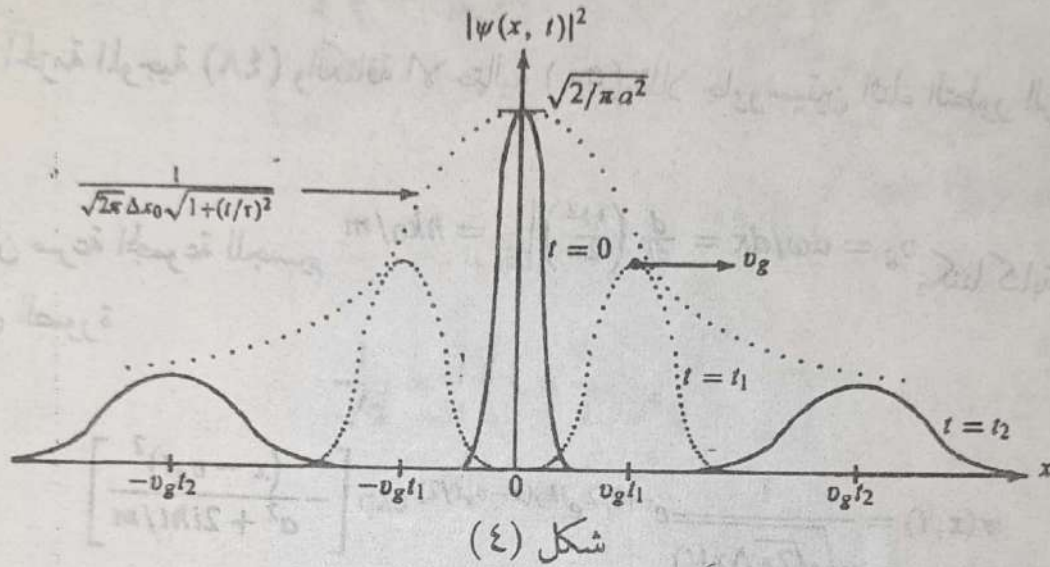
$$\Delta x(t) = \frac{a}{2} \gamma(t) = \frac{a}{2} \sqrt{1 + \frac{4\hbar^2 t^2}{m^2 a^4}} \quad (53)$$

يمثل اتساع الحزمة الموجية عند الزمن t .

المعادلتان (٥١) و (٥٢) تمثلان حزمة موجية جاووسية مركزها عند $x = v_g t$ حيث تتحرك قمتها بسرعة المجموعة $v_g = \hbar k_0 / m$ ويزداد اتساعها Δx خطيا مع الزمن. أي أنه اثناء التطور الزمني

للحزمة الموجية يتغير موضع مركزها من $x = 0$ إلى $x = a/2$ ويمتد اتساعها من $\Delta x_0 = a/2$ إلى $\Delta x(t) = \Delta x_0 \sqrt{1 + 4\hbar^2 t^2 / (m^2 a^4)}$. أي أن الحزمة الموجية تنتشر انتشارا مشوها بالرغم من أنها تظل جاووسية: يزداد اتساعها خطيا مع الزمن بحيث ارتفاعها $1/(\sqrt{2\pi} \Delta x(t))$ يقل مع مرور الزمن كما هو

موضح بشكل (٤)، والذي يوضح أن الحزمة الموجية اتساع كبير جدا وسعة صغيرة جدا عند الزمن $t \rightarrow -\infty$ أصبح اتساعها أضيق وأضيق وسعتها أكبر وأكبر كلما مر الزمن اتجاه $t = 0$ ، حيث عند $t = 0$ تكون الحزمة الموجية محددة الموضع بشكل بشكل تام تقريبا، حيث يعطى اتساعها وسعتها من $\Delta x_0 = a/2$ و $\sqrt{2/\pi a^2}$ على الترتيب.



شكل (٤)

لنعد لعلاقة عدم التحديد $\Delta x(t)\Delta p(t)$ وكيف تتأثر بالتطور الزمني للحزمة الموجية.

أولا يجب ان نعلم أن متوسط كمية التحرك للحزمة $\hbar k_0$ وكذلك عدم التأكد لها $\hbar \Delta k$ لا يتغيران مع الزمن. هذا يمكن فهمه بسهولة كالآتي:
بكتابة المعادلة (٤١) في الصورة:

$$\psi(x, t) = \frac{1}{\sqrt{2\pi}} \int_{-\infty}^{+\infty} \phi(k, 0) e^{i(kx - \omega t)} dk = \frac{1}{\sqrt{2\pi}} \int_{-\infty}^{+\infty} \phi(k, t) e^{ikx} dk \quad (٥٤)$$

نحصل على

$$\phi(k, t) = e^{-i\omega(k)t} \phi(k, 0) \quad (٥٥)$$

حيث $\phi(k, 0) = (a^2/2\pi)^{1/4} e^{-a^2(k-k_0)^2/4}$ وبالتالي

$$|\phi(k, t)|^2 = |\phi(k, 0)|^2 \quad (56)$$

وهذا يعني أن اتساع كل من $\phi(k, 0)$ و $\phi(k, t)$ متساويان، وبالتالي فإن الاتساع Δk يظل ثابتا وبالتالي التساع في كمية التحرك Δp وحيث أن التساع في $\phi(k, 0)$ يساوي $\Delta k = 1/a$ نجد أن

$$\Delta p = \hbar \Delta k = \frac{\hbar}{a} \quad (57)$$

بضرب تلك العلاقة في المعادلة (53) نحصل على

$$\Delta x(t) \Delta p = \frac{\hbar}{2} \sqrt{1 + \frac{4\hbar^2}{m^2 a^4} t^2} \quad (58)$$

والذي يعني أن $\Delta x(t) \Delta p \geq \hbar/2$ تتحقق عند أي لحظة زمنية. عند $t=0$ نجد أن $\Delta x_0 \Delta p = \hbar/2$ وهي علاقة عدم التحديد المستنتجة سابقا. أما بزيادة الزمن نحصل على اللامتساوية $\Delta x(t) \Delta p > \hbar/2$ من هنا نجد أنه في فراغ كمية التحرك أن الاتساع في الحزمة الموجية لا يتشتت. الآن نثبت تشتت اتساع الحزمة الموجية في فراغ الموضع. حيث أن $\Delta x_0 = a/2$ يمكننا كتابة المعادلة (53) في الصورة

$$\Delta x(t) = \frac{a}{2} \sqrt{1 + \frac{4\hbar^2 t^2}{m^2 a^4}} = \Delta x_0 \sqrt{1 + \left(\frac{\delta x_{cl}(t)}{\Delta x_0} \right)^2} \quad (59)$$

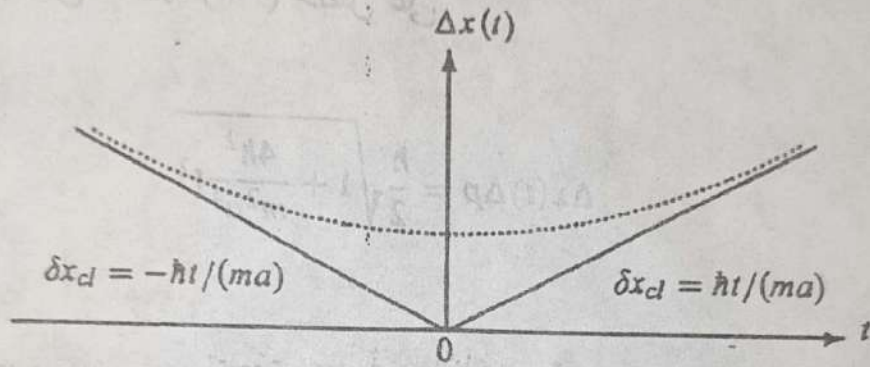
حيث يعطى معامل التشتت $\delta x_{cl}(t)/\Delta x_0$ من

$$\frac{\delta x_{cl}(t)}{\Delta x_0} = \pm \frac{2\hbar}{ma^2} t = \pm \frac{\hbar}{2m \Delta x_0^2} t \quad (60)$$

كما هو مبين من شكل (5) عندما يكون الزمن t أي أن $t \rightarrow \infty$ نجد أن $\Delta x(t) \rightarrow \delta x_{cl}(t)$ حيث

$$\delta x_{cl}(t) = \pm \frac{\hbar t}{ma} = \pm \frac{\Delta p}{m} t = \pm \Delta v t \quad (61)$$

حيث $\Delta v = \hbar/m$ تمثل التشتت في السرعة. هذا يعني أنه إذا بدأ الجسم من موضع $x = 0$ عند الزمن $t = 0$ بتشتت في السرعة مساويا Δv فإن Δv تظل ثابتة بينما التشتت في موضع الجسم يزداد خطيا مع الزمن $\delta x_{cl}(t) = \hbar|t|/ma$ ، انظر شكل (5).



شكل (5) التطور الزمني لاتساع الحزمة الموجية $\Delta x(t) = \Delta x_0 \sqrt{1 + (\delta x_d(t)/\Delta x_0)^2}$

(المنحنى المنقط)، للقيم الكبيرة للزمن نجد أن $\Delta x(t)$ تقترب من $\delta x_d(t)$ وعندما $t = 0$ نجد أن

$$\Delta x(0) = \Delta x_0 = a/2$$

تمرين (7): يعطى التردد الزاوي لموجات سطح سائل بدلالة العدد الموجي k من حيث $\omega = \sqrt{gk + Tk^3/\rho}$ ، حيث g عجلة الجاذبية الأرضية، ρ كثافة السائل، T قوة الإجهاد المؤثرة على عنصر السطح من السائل. احسب سرعة الطور وسرعة المجموعة للحالات المحدودة الآتية عندما تكون موجة السطح لها: (1) طول موجي كبير جدا (2) طول موجي صغير جدا.

تمرين (8): احسب الحجم الدقيق لحزمة موجية الممثلة لجسيم حر بعد الحركة لمسافة 1.00 متر للحالات الآتية عندما يكون الجسم:

(1) إلكترون طاقته 25 إلكترون فولت له حزمة موجية اتساعها 10^{-6} متر

(2) إلكترون طاقته 25 إلكترون فولت له حزمة موجية اتساعها 10^{-8} متر

(٣) إلكترون طاقته ١٠٠ إلكترون فولت له حزمة موجية اتساعها ١ ملليمتر

(٤) جسيم وزنه ١٠٠ جرام حجمه ١ سم يتحرك بسرعة ٥٠ متر/ثانية

(٥) قدر الزمن المطلوب للحزمة الموجية للإلكترون في (١) وللجسيم في (٤) لكافة تتسع من ١٠

ملليمتر و ١٠ سم على الترتيب. اشرح ما حصلت عليه من نتائج

تمرين (٩): لنيوترون مقيد في حجم 10^{-14} متر. احسب الزمن المطلوب لحزمته الموجية كي تنتشر

(١) اربعة اضعاف حجمها الأصلي

(٢) بحجم مساويا لقطر الأرض

(٣) بحجم مساويا للمسافة بين الأرض والقمر

تمرين (١٠): استخدم مبدأ عدم التحديد لتقدير

(أ): نصف قطر الحالة الأرضية لذرة الهيدروجين

(ب): طاقة الحالة الأرضية لذرة الهيدروجين

تمرين (١١): إذا كان لدينا كوكبين لهما الكتلة m يتحركان داخل الجهد $V(r) = kr$ حيث k مقدار

ثابت

(أ): باستخدام نموذج بوهر، أوجد السرعة و نصف القطر و طاقة النظام في حالة المدارات الدائرية.

عين أيضا التردد الزاوي للإشعاع الناتج من انتقال النظام من حالة الطاقة n للحالة m .

(ب): احسب القيم العددية للسرعة و نصف القطر والطاقة للحالة الأرضية $n = 1$ ، حيث تساوي

كتلة الكوكب في هذه الحالة $mc^2 = 2 \text{ GeV}$ والثابت $k = 0.5 \text{ GeV fm}^{-1}$.

تمرين (١٢): احسب اتساع الحزمة الموجية لجسيم كتلته ٨٠ جرام إذا تحرك لمدة ٢٠ ثانية إذا كان

حجمه مساويا ٢ سم.

تمرين (١٣): في تمرين (٣) احسب عدم التأكيد في كل من x و k ثم احسب حاصل ضرب عدم

التأكيد $\Delta x \Delta p$.

تمرين (١٤): لسلسلة عديمة المرونة لها كثافة خطية μ (الكتلة لكل وحدة طول). إذا أثر على السلسلة قوة إجهاد T ، وُطى التردد الزاوي لموجات السلسلة بدلالة العدد الموجي k بالعلاقة $\omega = k\sqrt{T/\mu}$. احسب سرعتي المجموعة والطور لموجات السلسلة.

تمرين (١٥): يعطى التردد الزاوي لموجة تنتشر داخل موجبه موجهة بدلالة العدد الموجي k و الاتساع b للموجة الموجهة بالعلاقة $\omega = kc / \sqrt{1 - \pi^2 / (b^2 k^2)}$. احسب سرعتي المجموعة والطور للموجة المنتشرة.

تمرين (١٦): اثبت أنه للموجات التي لها التردد الزاوي ω والعدد الموجي k يحققان علاقة التشتت

$$k^2 c^2 = \omega^2 + \text{const.}$$

حاصل ضرب سرعتي المجموعة والطور يساوي c^2 ، $v_g v_{ph} = c^2$.

حيث c سرعة الضوء.

الباب الثاني

المتذبذب التوافقي الخطي:

سوف نهي هذا الفصل بمناقشة مستويات الطاقة والدوال الموجية لجسيم يتحرك في جهد متذبذب توافقي. الجهد المتذبذب التوافقي يعتبر مثلاً هاماً لأن كثير من الظواهر الطبيعية مثل الاهتزازات الداخلية للجزيئات وحركة الذرات داخل المواد الصلبة يمكن وصفها باستخدامه. أيضاً يقدم تطبيق الطريقة سلسلة من الحلول للمعدلات التفاضلية والتي تستخدم كتنكك سوف يستخدم مرة أخرى في الفصول التالية عندما نستخدم النظام في ثلاثة أبعاد.

من المعروف جيداً من الميكانيكا الكلاسيكية أن القوة المخزنة والتي تتناسب مع المسافة من موضع الاتزان، $F = -Cx$ ، تؤدي إلى حركة توافقية بسيطة. مثل هذه القوة يمكن اشتقاقها من الجهد:

$$V = \frac{Cx^2}{2} \quad (62)$$

وذلك من العلاقة بين الجهد والقوة

$$\frac{dV}{dx} = -F \quad (63)$$

وتكون معادلة الحركة في البعد الواحد للمتذبذب التوافقي الكلاسيكي في الصورة:

$$E = \frac{Mv^2}{2} + \frac{Cx^2}{2} \quad (64)$$

نلاحظ هذا النظام نتخيل كتلة M مثبتة بين سلسلتين تحقق قانون هوك. يمكننا البحث عن حل

لهذه المعادلة في الصورة:

$$x = A \sin(\omega t) \quad (65)$$

الآن سوف نعين الثوابت كلاتي:

$$E = \frac{M A^2}{2} \omega^2 \cos^2(\omega t) + \frac{C A^2}{2} \sin^2(\omega t) \quad (66)$$

أو

$$\frac{2E}{C A^2} = \frac{M \omega^2}{C} \cos^2(\omega t) + \sin^2(\omega t) \quad (67)$$

المتساوية تتحقق فقط عندما:

$$\omega^2 = \frac{C}{M} \quad \text{and} \quad A^2 = \frac{2E}{C} \quad (68)$$

ومنها نحصل على الحل في الصورة:

$$x(t) = \sqrt{\frac{2E}{C}} \sin\left(\sqrt{\frac{C}{M}} t\right) \quad (69)$$

أو بمعنى آخر فإن المتذبذب التوافقي الكلاسيكي في بعد واحد يمكن ان يكون له أى سعة، وبناءاً عليه أى طاقة كلية ولكن بتردد واحد:

$$\omega = \sqrt{\frac{C}{M}} \quad (70)$$

الآن كيف تعمل الميكانيكا الكمية، لنكتب معادلة شرودنجر في بعد واحد لهذا المتذبذب ثم نتابع ما يحدث. معادلة شرودنجر للمتذبذب التوافقي الخطى الذى له الطاقة الكلية من المعادلة (64) هى:

$$-\frac{\hbar^2}{2M} \frac{d^2 u}{dx^2} + \frac{\omega^2 M x^2}{2} u = E u \quad (71)$$

حيث استخدمنا هنا العلاقة $\omega^2 = C/M$ ، ولتبسيط المعادلة (71) يمكننا إعادة كتابتها في الصورة:

$$\frac{\hbar}{M\omega} \frac{d^2 u}{dx^2} + \frac{\omega M x^2}{\hbar} u = \frac{2Eu}{\hbar\omega} = \lambda u \quad (72)$$

حيث $\lambda = \frac{2E}{\hbar\omega}$ ، المعادلة الأخيرة سوف تكون أبسط إذا استخدمنا التعويض $x = y\sqrt{\hbar/M\omega}$ ، إذن يكون لدينا:

$$-\frac{d^2 u}{dy^2} + y^2 u = \lambda u \quad (73)$$

$$\frac{d^2 u}{dy^2} + (\lambda - y^2) u = 0 \quad (74)$$

كما يبدو أن المعادلة (74) ليس من السهولة بمكان حلها. ولكن يمكن ملاحظة أن لقيم x الكبيرة جداً يكون $\lambda u \ll y^2 u$ ، لذلك تصبح معادلة شرودنجر في الصورة:

$$\frac{d^2 u_\infty}{dy^2} = y^2 u_\infty \quad (75)$$

وذلك بإهمال المقدار λu ولكن نحصل على الحل لقيم x الكبيرة تتبع الآتي:

بضرب المعادلة (75) في المقدار $2 \frac{du_\infty}{dy}$ لنحصل على:

$$\frac{d}{dy} \left(\frac{du_\infty}{dy} \right)^2 - y^2 \frac{d}{dy} u_\infty^2 = 0 \quad (76)$$

$$\frac{d}{dy} \left(\left(\frac{du_\infty}{dy} \right)^2 - y^2 u_\infty^2 \right) = -2y u_\infty^2 \quad (77)$$

المعادلة (٧٧) يمكن تبسيطها بصورة أكبر إذا جعلنا المقدار $y u_{\infty}^2$ صغيراً بحيث يمكن إهماله، لنحصل عليها في الصورة:

$$\frac{d}{dy} \left(\left(\frac{du_{\infty}}{dy} \right)^2 - y^2 u_{\infty}^2 \right) = -2y u_{\infty}^2 \cong 0 \quad (٧٨)$$

يُجرى التكامل على المعادلة الأخيرة فنحصل على نتيجة التكامل في الصورة:

$$\frac{du_{\infty}}{dy} = \sqrt{G + y^2 u_{\infty}^2} \quad (٧٩)$$

حيث G ثابت التكامل. وحيث أنه مما سبق أن u_{∞} و $\frac{du_{\infty}}{dy}$ تتولان إلى الصفر عندما تتول y إلى

مالانهاية، نجد أن G تتول إلى الصفر، وبالتالي نحصل على (٧٩) في صورتها النهائية:

$$\frac{du_{\infty}}{dy} = \pm y u_{\infty} \quad (٨٠)$$

أو الصورة:

$$\frac{1}{u_{\infty}} \frac{du_{\infty}}{dy} = \pm y \quad (٨١)$$

وبالتكامل البسيط نجد أن:

$$u_{\infty} = e^{-y^2/2} \quad (٨٢)$$

هذا الحل يسمى الحل التقريبي لمعادلة شرودنجر (٧١)، حيث أهملنا الأس الموجب $e^{+y^2/2}$ كحل غير مقبول لأنه يتباعد عندما $y \rightarrow \infty$.

الآن لنكن راضين أن التقريب الذي تم للمعادلة (٨٧) قد تم ضبطه، حيث أن الحد $2y u_{\infty}^2$ بالفعل أصغر من الحدود التي تم الإبقاء عليها.

باشتقاق معامل المقدار $e^{-y^2/2}$ من الدوال الذاتية $u(y)$ وبالتعويض عن

$$u(y) = e^{-y^2/2} f(y) \quad (83)$$

في المعادلة (71) آملين أن يبسط ذلك المشكلة، نجد أن:

$$\frac{d^2 u}{d y^2} = e^{-y^2/2} [-f(y) - 2y f'(y) + f''(y) + y^2 f(y)] \quad (84)$$

بالتعويض عن المعادلتين (83) و (84) في (71) نحصل على:

$$\lambda f(y) = f(y) + 2y f'(y) - f''(y) - y^2 f(y) + y^2 f(y) \quad (85)$$

$$f''(y) - 2y f'(y) + f(y)(\lambda - 1) = 0 \quad (86)$$

$$\lambda = 2n + 1, \quad n = 0, 1, 2, \dots \quad (87)$$

باستخدام المعادلة (87) وقيمة λ المعرفة بالمقدار $\lambda = \frac{2E}{\hbar\omega}$ نجد أن قيم الطاقة التي يسمح بها المتذبذب التوافقي الكمي قد تم تكميتها، من ذلك يمكن الحصول على قيم الطاقة كالآتي:

$$E = E_n = \frac{1}{2} \hbar \omega \lambda = \hbar \omega (n + \frac{1}{2}), \quad n = 0, 1, 2, \dots \quad (88)$$

كما سبق نجد أن كثيرة الحدود التي تم اشتقاق معاملاتها تدعى الدوال الهرميتية، والمعرفة بالدالة $f(y) = H_n(y)$ ، والتي تناظر القيم الذاتية للطاقة E_n المعرفة بالمعادلة (٨٨)، وبذلك نحصل على الدالة الذاتية غير المتعايرة في الصورة:

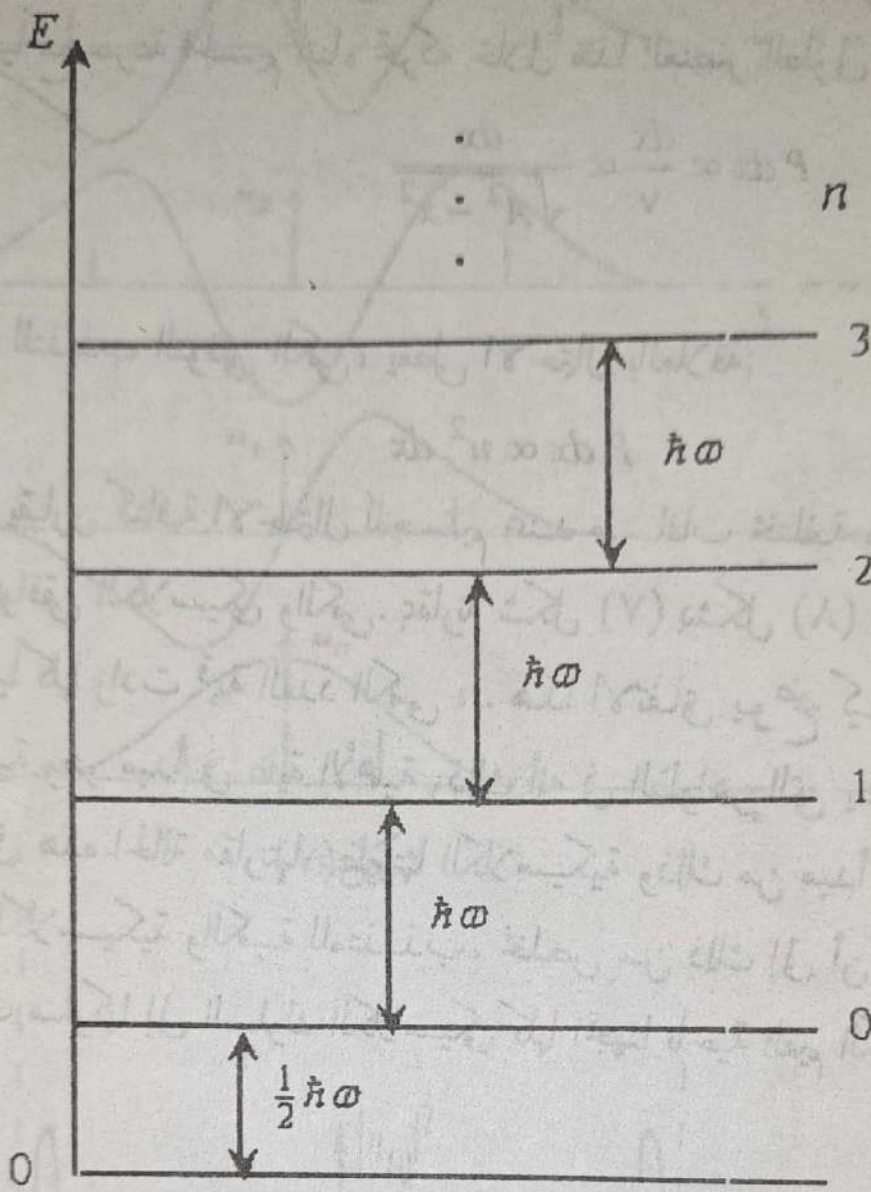
$$u_n(y) = H_n(y) e^{-y^2/2} \quad (٨٩)$$

في الأجزاء الآتية سوف نتعرف أكثر على الدوال الهرميتية، ولكن دعنا أولاً نتعرف على بعض الملاحظات على القيم الذاتية للمتذبذب التوافقي الكمي:

(١) تفصل بين مستويات الطاقة (شكل ٦) مسافات متساوية. وهذه الخاصية مما يميز الأطياف العملية لبعض جزيئات وأنوية المواد، وبذلك نجد أن المتذبذب التوافقي الكمي يمثل نموذجاً جيداً لوصف هذه الأطياف إلى حد أن الأطياف يشار إليها كأطياف تذبذبية. أيضاً يوجد أشكال من الإثارة في المواد الصلبة تدعى فونونات (phonons) والتي تقع تحت نفس التصنيف.

(٢) لكل قيمة ذاتية، يوجد فقط دالة ذاتية واحدة، وهذه الخاصية من المميزات الشائعة للحالات المحدودة الدالة الجهد أحادية البعد والتي تظل محدودة للقيم المحدودة للمتغير x .

(٣) لكل $n = 0$ ، المسماة بالحالة الأرضية، طاقة المتذبذب تكون $\frac{1}{2} \hbar \omega$ ، والتي تمثل الطاقة الصفرية للمتذبذب. وذلك كحالة الجسم المقيّد بصندوق أحادي البعد (والذي تعرضنا له في الباب الثاني سكتش ٢-٢) والذي ظهرت طاقته الصفرية كنتيجة لمبدأ عدم التحديد.



شكل (٦)

(٤) لأن الدوال الهرميتية التي تناظر القيمة الذاتية المناظرة للعدد الكمي n هي دوال من الدرجة النونية، يتبع ذلك أن دوال المتذبذب الذاتية لها عدد n من العقد. ويجب أن نلاحظ كيف أن عدد العقد يزيد كلما زادت الطاقة شكل (٧). وهذا يمكن فهمه بسهولة، وذلك لأن طاقة التحرك تتناسب انحناء أو تقوس الدالة الموجية (d^2u/dx^2) . وهذا يعني أنه، كلما زاد الانحناء (أى أن، كلما زاد انثناء الدالة الموجية خلفاً أو أماماً، لكي تصل للصفر)، كلما زادت طاقة التحرك.

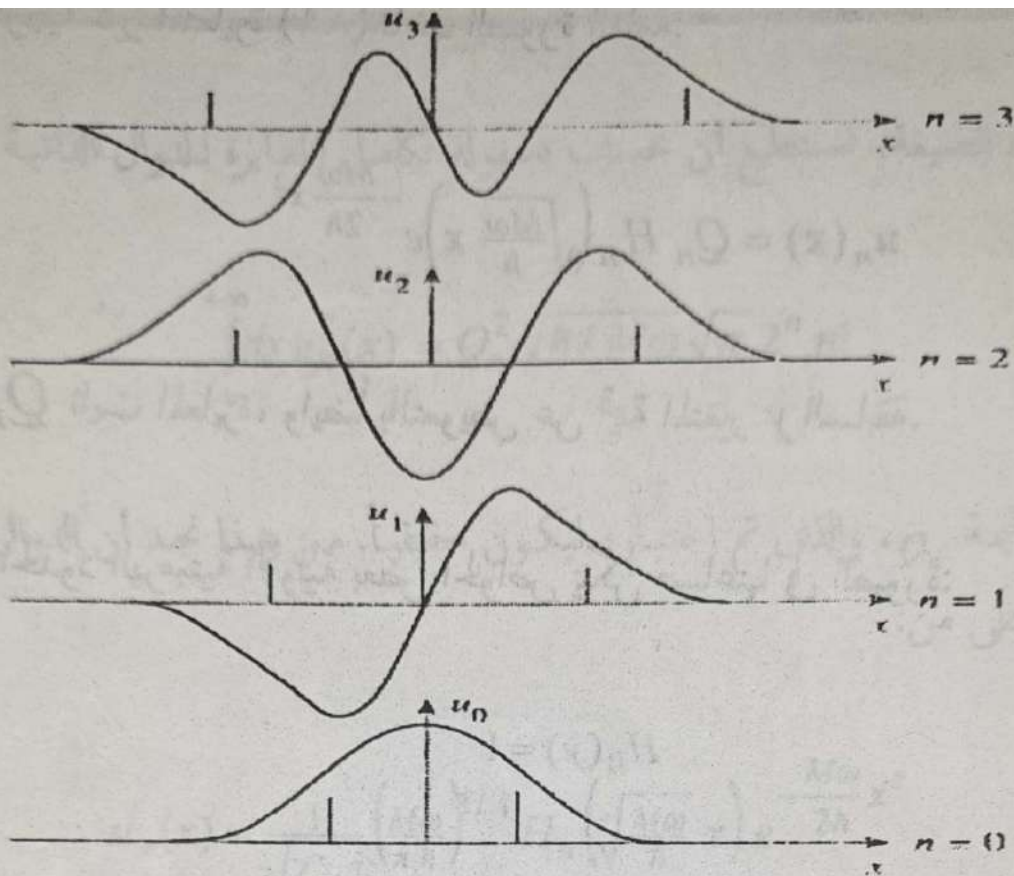
(٥) في حالة المتذبذب التوافقي الكلاسيكي، يتناسب احتمال تواجد الجسم في عنصر الطول dx عكسياً مع سرعة الجسم أثناء تحركه خلال هذا العنصر الطولي، أي:

$$P dx \propto \frac{dx}{v} \propto \frac{dx}{\sqrt{A^2 - x^2}} \quad (90)$$

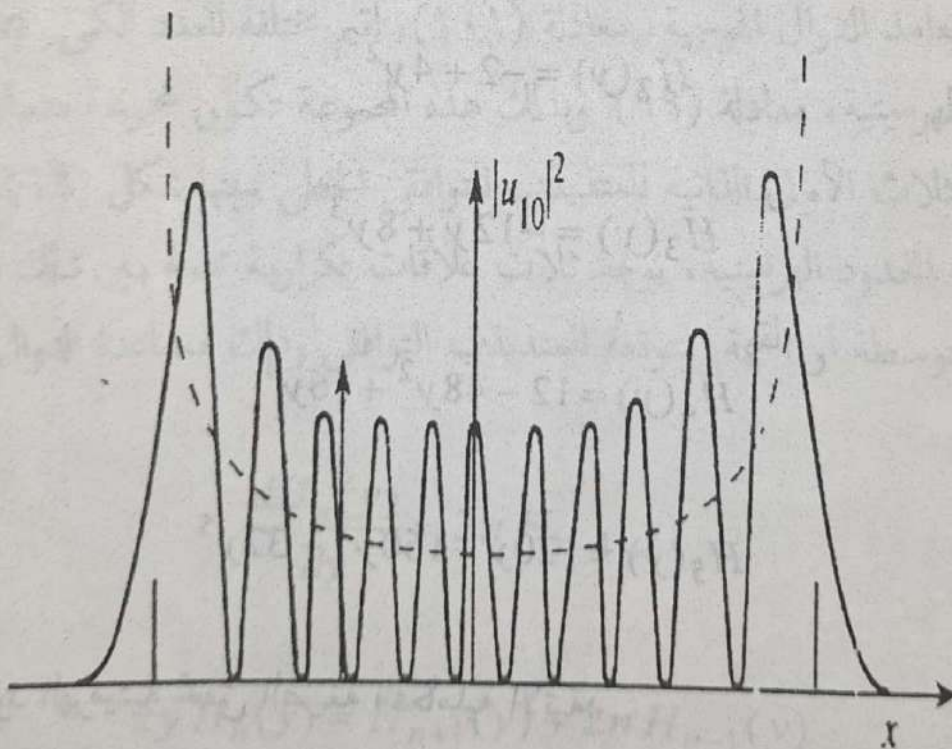
أما بالنسبة للتذبذب التوافقي الكمي، يعطى الاحتمال بالعلاقة:

$$P dx \propto u^2 dx \quad (91)$$

شكل (٨) يقارن كثافة الاحتمال للجسيم عند مسافات مختلفة من نقطة الأصل في حالتي المتذبذب التوافقي الكلاسيكي والكمي. بمقارنة شكل (٧) بشكل (٨) نرى أن الاتفاق بين الحالتين يتطور تدريجياً كلما زادت قيمة العدد الكمي n . هذا الاتفاق يوضح كيف يعمل مبدأ التناظر في الميكانيكا الكمية وهو مبدأ في غاية الأهمية وذلك أنه في الظواهر التي يصعب تفسيرها من الناحية الكمية يمكن في هذه الحالة مقارنتها بنظيرتها الكلاسيكية وذلك من مبدأ التناظر. عودة إلى المقارنة بين الحالتين الكلاسيكية والكمية للمتذبذب، نخلص من ذلك إلى أن الأنظمة الكمية، في الحالة العامة، يتقارب سلوكها إلى السلوك الكلاسيكي كلما اتجهنا ناحية القيم الكبيرة للعدد الكمي n .



شكل (٧)



شكل (٨)

دعنا الآن نقوم باختبار الدالة الموجية من منظور أقرب قليلاً.

الدالة الموجية غير المتعايرة (٨٩) تأخذ الصورة العامة:

$$u_n(x) = Q_n H_n\left(\sqrt{\frac{M\omega}{\hbar}} x\right) e^{-\frac{M\omega}{2\hbar} x^2} \quad (92)$$

حيث Q_n ثابت المعايرة، وايضاً بالتعويض عن قيمة المتغير y السابقة.

لكثيرات الحدود الهرميتية الأولية بعض الخواص يمكن صياغتها في الصورة:

$$H_0(y) = 1 \quad (93)$$

$$H_1(y) = 2y \quad (94)$$

$$H_2(y) = -2 + 4y^2 \quad (95)$$

$$H_3(y) = -12y + 8y^3 \quad (96)$$

$$H_4(y) = 12 - 48y^2 + 16y^4 \quad (97)$$

$$H_5(y) = 120y - 160y^3 + 32y^5 \quad (98)$$

كثيرات الحدود الهرميتية تحقق الصيغة التكاملية الآتية:

$$\int_{-\infty}^{+\infty} dy H_n(y) H_m(y) e^{-y^2} = \sqrt{\pi} 2^n n! \delta_{nm} \quad (99)$$

وبمساعدة هذه الصيغة، نستطيع أن نحسب بسهولة تكامل المعادلة للدوال الذاتية المعطاة بالمعادلة (٩٢):

$$\int_{-\infty}^{+\infty} dx u_n^2(x) = Q_n^2 \sqrt{\hbar / M\omega} \sqrt{\pi} 2^n n! \quad (100)$$

والذي يحدد قيمة Q_n ، والذي تم اختياره ليكون حقيقياً. من هذا نجد أن الدوال الذاتية المتعارفة للمتذبذب تعطى من:

$$u_n(x) = \frac{1}{\sqrt{2^n n!}} \left(\frac{M\omega}{\pi \hbar} \right)^{1/4} H_n \left(\sqrt{\frac{M\omega}{\hbar}} x \right) e^{-\frac{M\omega}{2\hbar} x^2} \quad (101)$$

من هنا نجد أن تعامد الدوال الموجية، معادلة (١٠١)، لقيم مختلفة للعدد الكمي n ينتج من تعامد كثيرات الحدود الهرميتية، معادلة (٩٩). وبذلك هذه المجموعة تكون مجموعة متعارفة ومتعامدة من الدوال. الدوال الثلاث الأولى الذاتية للمتذبذب التوافقي الخطي بينها شكل (١٦).

بالنسبة لكثيرات الحدود الهرميتية، يوجد ثلاث علاقات تكرارية مهمة بين تلك الدوال وهي مهمة لحساب القيمة المتوسطة أو القيمة المتوقعة للمتذبذب التوافقي وذلك بمساعدة الدوال الذاتية له، وفيما يلي نوضحها:

$$\frac{dH_n(y)}{dy} = 2n H_{n-1}(y) \quad (102)$$

$$2y H_n(y) = H_{n+1}(y) + 2n H_{n-1}(y) \quad (103)$$

$$y H_n(y) = n H_{n-1}(y) + \frac{1}{2} H_{n+1}(y) \quad (104)$$

من خواص الدالة الهرميتية (٩٣-٩٨) وعلاقتها بالدالة الموجية (١٠١) نجد أن:

$$u_n(x) = \frac{\gamma}{\sqrt{2^n n!}} H_n \quad (105)$$

حيث

$$\gamma = \left(\frac{M\omega}{\pi \hbar}\right)^{1/4} e^{-\frac{M\omega}{2\hbar} x^2} = \left(\frac{M\omega}{\pi \hbar}\right)^{1/4} e^{-\frac{1}{2} \mu^2} \quad (106)$$

حيث $\mu = \sqrt{\frac{M\omega}{\hbar}} x$ ومنها نجد أن:

$$u_{n-1}(x) = \frac{\gamma}{\sqrt{2^{n-1} (n-1)!}} H_{n-1} \quad (107)$$

$$= \sqrt{2n} \frac{\gamma}{\sqrt{2^n n!}} H_{n-1}$$

$$u_{n+1}(x) = \frac{\gamma}{\sqrt{2^{n+1} (n+1)!}} H_{n+1} \quad (108)$$

$$= \frac{1}{\sqrt{2(n+1)}} \frac{\gamma}{\sqrt{2^n n!}} H_{n+1}$$

أي أن:

$$\gamma H_n = \sqrt{2^n n!} u_n \quad (109)$$

$$\gamma H_{n-1} = \frac{1}{\sqrt{2n}} \sqrt{2^n n!} u_{n-1} \quad (110)$$

$$\gamma H_{n+1} = \sqrt{2(n+1)} \sqrt{2^n n!} u_{n+1} \quad (111)$$

بالتعويض من المعادلات (١١٠-١١١) في المعادلة (١٠٣) مع استبدال المتغير μ بالمتغير μ نحصل على:

$$\mu u_n = \frac{n}{\sqrt{2n}} u_{n-1} + \frac{1}{2} \sqrt{2(n+1)} u_{n+1} \quad (112)$$

أى أن:

$$\mu u_n = \sqrt{n/2} u_{n-1} + \sqrt{\frac{(n+1)}{2}} u_{n+1} \quad (113)$$

بالمثل العلاقة (١٠١) يمكن وضعها في الصورة:

$$u_n = R e^{-\frac{1}{2}\mu^2} H_n \quad (114)$$

حيث

$$R = \frac{1}{\sqrt{2^n n!}} \left(\frac{M\omega}{\pi \hbar} \right)^{1/4} \quad (115)$$

بتفاضل المعادلة (١١٤) بالنسبة للمتغير μ نجد أن:

$$u'_n = \frac{\partial u_n}{\partial \mu} = R e^{-\frac{1}{2}\mu^2} (H'_n - \mu H_n) \quad (116)$$

وباستخدام العلاقة (١٠٢) نحصل على:

$$u'_n = R e^{-\frac{1}{2}\mu^2} (2n H_{n-1} - \mu H_n) \quad (117)$$

وباستخدام العلاقة (١٠٤) نحصل على:

$$u'_n = R e^{-\frac{1}{2}\mu^2} (2n H_{n-1} - n H_{n-1} - \frac{1}{2} H_{n+1})$$

$$= R e^{-\frac{1}{2}\mu^2} (n H_{n-1} - \frac{1}{2} H_{n+1})$$

$$= \frac{\gamma r}{\sqrt{2^n n!}} H_{n-1} - \frac{\gamma}{2\sqrt{2^n n!}} H_{n+1} \quad (118)$$

وباستخدام العلاقات (110) و (111) نحصل على:

$$u'_n = \sqrt{n/2} u_{n-1} - \sqrt{\frac{(n+1)}{2}} u_{n+1} \quad (119)$$

من العلاقتين (113) و (119) بالجمع ثم بالطرح نحصل على:

$$\frac{1}{\sqrt{2}} (\mu + \frac{\partial}{\partial \mu}) u_n = \sqrt{n} u_{n-1} \quad (120)$$

$$\frac{1}{\sqrt{2}} (\mu - \frac{\partial}{\partial \mu}) u_n = \sqrt{(n+1)} u_{n+1} \quad (121)$$

وبإدخال المؤثر $\hat{p}_\mu = -i \frac{\partial}{\partial \mu}$ ، والذي يرتبط بمؤثر كمية التحرك $\hat{p}_x = -i\hbar \frac{\partial}{\partial x}$ بالعلاقة

$\hat{p}_x = \sqrt{\hbar M \omega} \hat{p}_\mu$ تصبح العلاقات (120) و (121) في الصورة:

$$\hat{a} u_n = \sqrt{n} u_{n-1} \quad (122)$$

$$\hat{a}^+ u_n = \sqrt{(n+1)} u_{n+1} \quad (123)$$

حيث يعطى المؤثرين \hat{a} , \hat{a}^+ من:

$$\hat{a} = \frac{1}{\sqrt{2}} \left(\mu + \frac{\partial}{\partial \mu} \right) = \frac{1}{\sqrt{2}} (\mu + i \hat{p}_\mu) \quad (124)$$

$$\hat{a}^+ = \frac{1}{\sqrt{2}} \left(\mu - \frac{\partial}{\partial \mu} \right) = \frac{1}{\sqrt{2}} (\mu - i \hat{p}_\mu) \quad (125)$$

وباستخدام العلاقتين (122) و (123) يمكن بالتأثير المتتالي بالمؤثر \hat{a}^+ على الدالة u_0 لأدنى منزلة الحصول على الدالة الموجية u_n في الصورة:

$$u_n = \frac{1}{\sqrt{n!}} (\hat{a}^+)^n u_0 \quad (126)$$

ملاحظة: العلاقة السابقة بين مؤثر كمية التحرك $\hat{p}_x = -i\hbar \frac{\partial}{\partial x}$ والمؤثر $\hat{p}_\mu = -i \frac{\partial}{\partial \mu}$ يمكن

الحصول عليها كالآتي:

$$\text{حيث أن } \mu = \sqrt{\frac{M\omega}{\hbar}} x \text{ نجد أن:}$$

$$\frac{d}{dx} = \frac{d}{d\mu} \frac{d\mu}{dx} = \sqrt{\frac{M\omega}{\hbar}} \frac{d}{d\mu} \quad (127)$$

بضرب طرفي المعادلة السابقة في $-i\hbar$ نحصل على المطلوب.

يلاحظ أنه يمكن الحصول على الدالة الموجية u_0 من الشرط $\hat{a}u_0 = 0$ ، أي بحل المعادلة:

$$\left(\mu + \frac{\partial}{\partial \mu}\right) u_0 = 0 \quad (128)$$

في الصورة:

$$u_0 = R_0 e^{-\frac{1}{2}\mu^2} \quad (129)$$

حيث R_0 يتحدد من شرط المعايرة في الصورة:

$$R_0 = \left(\frac{M\omega}{\pi \hbar}\right)^{1/4} \quad (130)$$

وباستخدام الصيغتين (122) و (123) فإنه بالتأثير المتتالي نحصل على:

$$\hat{a}\hat{a}^+ u_n = (n+1)u_n \quad (131)$$

$$\hat{a}^+ \hat{a} u_n = n u_n \quad (132)$$

وبذلك تأخذ علاقة التبديل بينها الصورة:

$$\begin{aligned} [\hat{a}, \hat{a}^+] u_n &= \hat{a}\hat{a}^+ u_n - \hat{a}^+ \hat{a} u_n \\ &= (n+1)u_n - n u_n = (1)u_n = u_n \end{aligned} \quad (133)$$

أى أن:

$$[\hat{a}, \hat{a}^+] = 1$$

(١٣٤)

ومن العلاقات (١٢٤) و (١٢٥) التي تحدد المؤثرات \hat{a}, \hat{a}^+ نجد أن:

$$\hat{a}\hat{a}^+ + \hat{a}^+\hat{a} = \mu^2 + \hat{p}_\mu^2 = 2n + 1 \quad (١٣٥)$$

وعندئذ فإن مؤثر هاملتون يأخذ الصورة:

$$\begin{aligned} \hat{H} &= \frac{\hat{p}_x^2}{2M} + \frac{M\omega^2}{2} x^2 = \frac{\hbar\omega}{2} (\mu^2 + \hat{p}_\mu^2) \\ &= \frac{\hbar\omega}{2} (\hat{a}\hat{a}^+ + \hat{a}^+\hat{a}) \end{aligned} \quad (١٣٦)$$

واضح أن من (١٣١) و (١٣٢) أن القيم الخاصة لحاصل ضرب المؤثرين $\hat{a}^+\hat{a}$, $\hat{a}\hat{a}^+$ تساوى على الترتيب $n, n+1$ ، وبذلك فإنه يمكن حساب القيم الخاصة لمؤثر هاملتون للمتذبذب التوافقي في الصورة:

$$\hat{H} = \hat{E}_n = \frac{\hbar\omega}{2} (\hat{a}\hat{a}^+ + \hat{a}^+\hat{a})$$

$$= \frac{\hbar\omega}{2} (2\hat{n} + 1) = \hbar\omega (\hat{n} + 1/2) \quad (١٣٧)$$

تمرين (١٧): تشير القيم الذاتية لجزئ ما إلى ان الجزيء عبارة عن متذبذب توافقي أحادي البعد. عند التحول من حالة الإثارة الأولى إلى الحالة الأرضية، يشع الجزيء فوتون طاقته تساوى $h\nu = 0.1\text{eV}$. بفرض أن الجزء المتذبذب من الجزيء

عبارة عن بروتون، احسب احتمال أن الجزء يبعد مسافة من نقطة الأصل ربما يكون ممنوعاً بالمعالجة الكلاسيكية.

تمرين (١٨): لمتذبذب توافقي بسيط احادى البعد كجسيم يتحرك تحت تأثير القوة $f(x) = -m\omega^2 x$ من الناحية الكلاسيكية، أقل قيمة لطاقة المتذبذب (طاقة الحالة الأرضية) تساوى الصفر، وذلك لأننا يمكن أن نضعه بدقة عند الموضع $x = 0$ ؛ وهى نقطة اتران الموضع، وهى تعطى القيمة الصفرية لسرعته الابتدائية. من الناحية الكمية، فإن مبدأ عدم التحيز لايسمح لنا بتعيين موضع المتذبذب بدقة وفى نفس الوقت ليكون فى حالة السكون. باستخدام مبدأ عدم التحديد قدر طاقة الحالة الأرضية الكمية (أقل قيمة لطاقة للمتذبذب الكمي).

الباب الثالث

معادلة شرودنجر في ثلاثة أبعاد وتطبيقاتها

في الباب السابق رأينا أن معادلة شرودنجر للجسيم في جهد وحيد البعد، لها حلول فيزيائية مقبولة فقط لقيم منفصلة من الطاقة الكلية. علاوة على ذلك، في حالة الإلكترون في بئر جهدي له أبعاد ذرية، تكون المسافات البينية بين مستويات الطاقة، تتفق نوعياً مع المسافات البينية بين تلك المستويات التي تم ملاحظتها عملياً. أيضاً تم تفسير مربع القيمة المطلقة للدالة الموجية على أنها توزيع احتمالي لموضع الجسيم، والذي أدى بنا، على سبيل المثال، إلى ظاهرة التأثير النفقي التي لوحظت عملياً. هذا من الناحية النظرية، أما بالنسبة للعالم الحقيقي، فهو يتمثل في الأبعاد الثلاثة، بالرغم من أن الأمثلة في بعد واحد غالباً تعطى وجهات نظر هامة ومشابهة للعالم الحقيقي، إلا أننا يجب أن نعمل على أن تمتد النظرية إلى الأبعاد الثلاثة لكي يمكن أن نصنع توقعات كمية لغالبية النتائج العملية. في هذا الفصل، سوف نصنع معادلة شرودنجر في الصورة الثلاثية الأبعاد ثم نحصل على الحل لهذه المعادلة لعدد من الحالات، ثم نتوج هذه المعالجة بمناقشة ذرة الهيدروجين والتي من خلالها سوف نتبين الاتفاق بين النظرية والنتائج العملية بدرجة ملحوظة من الدقة.

معادلات الدوال الموجية :

كما نعلم، في الميكانيكا الكلاسيكية تأخذ الطاقة الكلية للجسيم الحر الذي له الكتلة m وله كمية التحرك p الصورة الآتية:

$$E = p^2 / 2m = (p_x^2 + p_y^2 + p_z^2) / 2m \quad (138)$$

حيث p_x ، p_y و p_z تمثل مركبات كمية التحرك في الاتجاهات الديكارتية (الكارتيزية) x ، y ، z على الترتيب.

بالتالى تعطى علاقة دى بروجليه فى حالة الأبعاد الثلاثة من:

$$\left. \begin{aligned} E &= \hbar\omega \\ \mathbf{p} &= \hbar\mathbf{k}, \text{ where } p_x = \hbar k_x, p_y = \hbar k_y, p_z = \hbar k_z \end{aligned} \right\} (139)$$

وعلى هذا، فإن المعادلة الموجية التى تحتوى حلولها على المعادلات السابقة يمكن وضعها تماماً بنفس الإجراء المستخدم فى حالة البعد الواحد، لنحصل على:

$$i\hbar \frac{\partial \psi}{\partial t} = -\frac{\hbar^2}{2m} \left(\frac{\partial^2 \psi}{\partial x^2} + \frac{\partial^2 \psi}{\partial y^2} + \frac{\partial^2 \psi}{\partial z^2} \right) (140)$$

حيث الدالة الموجية $\psi = \psi(r, t) = \psi(x, y, z, t)$ هى دالة فى إحداثيات الموضع الثلاث بالإضافة إلى الزمن.

وحيثما يخضع الجسم للجهد $V(r, t)$ ، فإن المعادلة (140) يمكن تعميمها بنفس الطريقة المستخدمة فى حالة البعد الواحد أيضاً لنحصل على معادلة شرودنجر غير المستقرة (المعتمدة على الزمن):

$$i\hbar \frac{\partial \psi}{\partial t} = -\frac{\hbar^2}{2m} \nabla^2 \psi + V\psi (141)$$

حيث استخدمنا المؤثر الاتجاهى ∇^2 والذى يعطى فى الصورة الديكارتية من:

$$\nabla^2 = \frac{\partial^2 \psi}{\partial x^2} + \frac{\partial^2 \psi}{\partial y^2} + \frac{\partial^2 \psi}{\partial z^2} (142)$$

أيضا تعميم التفسير الاحتمالي للدالة الموجية بنفس الطريقة، أي أنه إذا كان $P(r,t)d\tau$ يمثل احتمال تواجد الجسم في عنصر الحجم $d\tau (\equiv dx dy dz)$ بالقرب من من النقطة r عند الزمن t ، عندئذ يكون:

$$P(r,t) = |\psi(r,t)|^2 \quad (143)$$

وبطريقة مباشرة ينتج شرط المعايرة في الصورة:

$$\int |\psi(r,t)|^2 d\tau = 1 \quad (144)$$

حيث يجري التكامل الحجمي على كل الفراغ المحيط.

في حالة أن تكون دالة الجهد V لا تعتمد على الزمن، يمكننا كتابة الدالة الموجية في الصورة:

$$\psi(r,t) = \psi(r)T(t) \quad (145)$$

ثم تفصل المتغيرات لنحصل على معادلة شرودنجر المستقرة:

$$-\frac{\hbar^2}{2m} \nabla^2 \psi(r) + V \psi(r) = E \psi(r) \quad (146)$$

سوية مع الدالة:

$$T(t) = \exp(-iEt/\hbar) \quad (147)$$

بينما يصبح شرط المعايرة في هذه الحالة في الصورة:

$$\int |\psi(r)|^2 d\tau = 1 \quad (148)$$

بالمثل فإن الشروط الحدية على الدالة الموجية والتي تمثل الحل لمعادلة شرودنجر غير المستقرة تأتي بالتعميم الطبيعي لنظيراتها المذكورة في الفصل السابق، والتي تحقق: أن تكون متصلة، دوال وحيدة

القيمة في الموضع الزمن، مربع القيمة المطلقة لها يجب ان يكون تكاملي على كل الفراغ (أى له قيمة محدودة في أى مكان من الفراغ) وأيضاً مشتقاتها بالنسبة لمتغير الموضع $(\frac{\partial \psi}{\partial x}, \frac{\partial \psi}{\partial y}, \frac{\partial \psi}{\partial z})$ يجب أن

تكون متصلة في أى مكان من الفراغ، فيما عدا مناطق التوقف اللانهائية لدالة الجهد V .

سننفي الآن في الحُصول على الحلول لمعادلة شرودنجر المستقرة في حالة الأبعاد الثلاث (٧٠) لعدد من الحالات الخاصة. على خلاف الحالة الأحادية البعد، المعادلة الآن معادلة تفاضلية جزئية والذي يُسبب التعقيدات الرياضية عموماً. سوف نعتبر الحالات التي يمكن معها تطبيق إجراء فصل المتغيرات، ولكن على أى حال سوف نجد أننا يجب علينا إيجاد حل لثلاث معادلات تفاضلية عادية لكي نحصل على الحل الكامل. سنعتبر الأنظمة المتماثلة كروياً حيث يمكننا تنفيذ هذه العملية الإحداثيات القطبية الكروية، لكننا سنناقش أولاً بعض الأمثلة الأسهل حيث أن معادلة شرودنجر يُمكن أن تُفصل في الاحداثيات الديكارتية.

فصل المتغيرات في الإحداثيات الديكارتية:

سنعتبر الحالة حيث يمكن كتابة دالة الجهد $V(r)$ كمجموع لثلاث كميات، كل منها دالة في واحد فقط من الاحداثيات الديكارتية الثلاث، أى أن:

(١٤٩)

$$V(r) = V_x(x) + V_y(y) + V_z(z)$$

سوف نعتبر الآن عن الدالة الموجية كحاصل ضرب للدوال الثلاث السابقة الوحيدة البعد:

(١٥٠)

$$\psi(r) = \psi(x, y, z) = X(x)Y(y)Z(z)$$

بالتعويض بالمعادلات (١٤٩) و (١٥٠) في معادلة شرودنجر غير المستقرة (١٤١)، وبالقسمة على u ثم إعادة الترتيب قليلاً، نحصل على:

$$\left[-\frac{\hbar^2}{2m} \frac{1}{X} \frac{d^2 X}{dx^2} + V_x(x) \right] + \left[-\frac{\hbar^2}{2m} \frac{1}{Y} \frac{d^2 Y}{dy^2} + V_y(y) \right] + \left[-\frac{\hbar^2}{2m} \frac{1}{Z} \frac{d^2 Z}{dz^2} + V_z(z) \right] = E \quad (151)$$

كل حد من الحدود داخل الأقواس المربعة يمثل دالة في متغير واحد فقط من المتغيرات (x, y, z) ، ولكن المعادلة تتحقق عند كل نقاط الفراغ. من هذا ينتج أن كل معادلة من تلك المعادلات في الأقواس المربعة يجب أن تساوي مقداراً ثابتاً بحيث أن مجموع تلك الثوابت يساوي الطاقة الكلية E . وبالتالي يكون:

$$\left. \begin{aligned} -\frac{\hbar^2}{2m} \frac{d^2 X}{dx^2} + V_x X &= E_1 X \\ -\frac{\hbar^2}{2m} \frac{d^2 Y}{dy^2} + V_y Y &= E_2 Y \\ -\frac{\hbar^2}{2m} \frac{d^2 Z}{dz^2} + V_z Z &= E_3 Z \end{aligned} \right\} \quad (152)$$

$$E_x + E_y + E_z = E \quad \text{حيث}$$

من السهل أن نلاحظ أن كل معادلة من المعادلات الثلاث السابقة (152) لها شكل معادلة شرودنجر في بعد واحد، لذلك في الحالات المناسبة (المتشابهة)، يمكننا نقل النتائج مباشرة من الفصل السابق.

الجسيم الحر:

في الحالة البسيطة للجسيم الحر، تختصر معادلة شرودنجر (141) إلى ثلاث معادلات كما في (152) والتي لها $V_x = V_y = V_z = 0$. معادلة المحور x يمكن الحصول عليها في الصورة

$$\frac{d^2 X(x)}{dx^2} = -k_x^2 X(x) \quad (153)$$

حيث $k_x^2 = 2mE_x/\hbar^2$ وبالتالي $E_x = \hbar^2 k_x^2 / 2m$. ويكون الحل كما علمنا من قبل في صورة الموجة المستوية

$$X(x) = \frac{1}{\sqrt{2\pi}} e^{ik_x x} \quad (104)$$

ويصبح حل المعادلة ذات الأبعاد الثلاث يعطى من

$$\psi_{\vec{k}}(x, y, z) = (2\pi)^{-3/2} e^{ik_x x} e^{ik_y y} e^{ik_z z} = (2\pi)^{-3/2} e^{i\vec{k} \cdot \vec{r}} \quad (105)$$

حيث \vec{k} , \vec{r} تمثلان متجهات الموضع والمتجه الموجى للجسيم على الترتيب. وتعطى الطاقة الكلية من مجموع طاقات الجسيم في الأبعاد الثلاث

$$E = E_x + E_y + E_z = \frac{\hbar^2}{2m} (k_x^2 + k_y^2 + k_z^2) = \frac{\hbar^2}{2m} \vec{k}^2 \quad (106)$$

والعدد الموجى من

$$|\vec{k}| = \sqrt{k_x^2 + k_y^2 + k_z^2} \quad (107)$$

ويعطى حل معادلة شرودنجر غير المستقرة من

$$\Psi_{\vec{k}}(\vec{r}, t) = \psi(\vec{r}) e^{-i\omega t} = (2\pi)^{-3/2} e^{i(\vec{k} \cdot \vec{r} - \omega t)} \quad (108)$$

حيث عوضنا عن (105) و (107) في (105)، حيث $E = \hbar\omega$

ويعطى شرط المعايرة العمودي في تلك الحالة في الصورة

$$\int \Psi_{\vec{k}}^*(\vec{r}, t) \Psi_{\vec{k}'}(\vec{r}, t) d^3r = \int \psi_{\vec{k}}^*(\vec{r}) \psi_{\vec{k}}(\vec{r}) d^3r = (2\pi)^{-3} \int e^{i(\vec{k}-\vec{k}')\cdot\vec{r}} d^3r = \delta(\vec{k}-\vec{k}') \quad (159)$$

وتعطى صورة الحزمة الموجية الممثلة للجسيم الحر من

$$\Psi(\vec{r}, t) = (2\pi)^{-3/2} \int A(\vec{k}, t) \Psi_{\vec{k}}(\vec{k}, t) d^3k = (2\pi)^{-3/2} \int A(\vec{k}, t) e^{i(\vec{k}\cdot\vec{r}-\omega t)} d^3k \quad (160)$$

حيث $A(\vec{k}, t)$ تمثل تحويل فورييه للدالة $\Psi(\vec{r}, t)$

$$A(\vec{k}, t) = (2\pi)^{-3/2} \int \Psi(\vec{r}, t) e^{-i(\vec{k}\cdot\vec{r}-\omega t)} d^3r \quad (161)$$

الجسيم الحرفي صندوق ثلاثي الأبعاد:

نعتبر الآن حالة جسيم كتلته m مقيد في صندوق ثلاثي الأبعاد أبعاده L_x, L_y, L_z في الجهد الممثل بالصورة

$$V(x, y, z) = \begin{cases} 0 & 0 < x < L_x, 0 < y < L_y, 0 < z < L_z \\ \infty & \text{elsewhere,} \end{cases} \quad (162)$$

والتي يمكن كتابتها في الصورة $V(x, y, z) = V_x + V_y + V_z$ حيث

$$V_x(x) = \begin{cases} 0 & 0 < x < L_x \\ \infty & \text{elsewhere;} \end{cases} \quad (163)$$

وبالمثل $V(y), V(z)$. وهذا يتعلق بحالة دالة الجهد التي تساوى صفر داخل منطقة مستطيلة أبعادها $L_x \times L_y \times L_z$ بينما تساوى دالة الجهد ∞ خارج تلك المنطقة.

كل معادلة من المعادلات المفصولة السابقة (١٦٣) تكافئ معادلة شرودنجر أحادية البعد للبئر الجهدى اللانهائى وأيضاً لها نفس الشروط الحدية ($X(x) = 0$ if $x = 0, L_x$).
الدالة $\Psi(x, y, z)$ تتلاشى عند حوائط الصندوق كما نعلم، وهو أيضاً شرط الدورية، باستخدام هذا الشرط كما سبق يعطى الحل لمعادلة شرودنجر (١٤١) فى الصورة

$$X(x) = \sqrt{\frac{2}{L_x}} \sin\left(\frac{n_x \pi}{L_x} x\right), \quad n_x = 1, 2, 3, \dots, \quad (164)$$

وتعطى قيمة الطاقة من

$$E_{n_x} = \frac{\hbar^2 \pi^2}{2m L_x^2} n_x^2 \quad (165)$$

باستخدام نفس الإجراء يمكن الحصول على $Y(y), Z(z), E_{n_x}, E_{n_y}$ وبالتعويض فى (١٥٠)

و (١٥٦) نحصل على الدالة الموجية فى ثلاث أبعاد وقيم الطاقة المنظرة لها

$$\psi_{n_x n_y n_z}(x, y, z) = \sqrt{\frac{8}{L_x L_y L_z}} \sin\left(\frac{n_x \pi}{L_x} x\right) \sin\left(\frac{n_y \pi}{L_y} y\right) \sin\left(\frac{n_z \pi}{L_z} z\right) \quad (166)$$

$$E_{n_x n_y n_z} = \frac{\hbar^2 \pi^2}{2m} \left(\frac{n_x^2}{L_x^2} + \frac{n_y^2}{L_y^2} + \frac{n_z^2}{L_z^2} \right) \quad (167)$$

أيضاً من الهام اعتبار الحالة الخاصة عندما يكون الصندوق ذا بعدين متساويين، والذي يوضح بعض الخواص الهامة التي تنتج عندما تكون دالة الجهد ثلاثية الأبعاد متماثلة. بوضع $L_x = L_y$ ، تصبح المعادلة (167) في الصورة:

$$E_{n_x, n_y, n_z} = \frac{\hbar^2 \pi^2}{2m} \left(\frac{n_x^2}{L_x^2} + \frac{n_y^2}{L_y^2} + \frac{n_z^2}{L_z^2} \right) \quad (168)$$

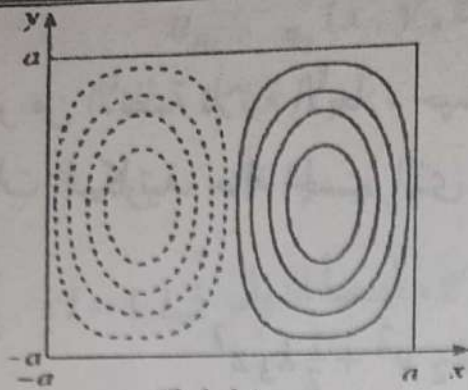
في الحالة العامة، يوجد عديد من التركيبات المختلفة للأعداد الكمية n_x, n_y and n_z ، والتي لها نفس الطاقة، أي أن $(n_x = 2, n_y = 1, n_z = 1)$ و $(n_x = 1, n_y = 2, n_z = 1)$ والتي لها الدوال الموجية:

$$\psi(x, y, z)_{211} = \sqrt{\frac{8}{L_x L_y L_z}} \sin\left(\frac{2\pi x}{L_x}\right) \cos\left(\frac{\pi y}{L_y}\right) \cos\left(\frac{\pi z}{L_z}\right) \quad (170)$$

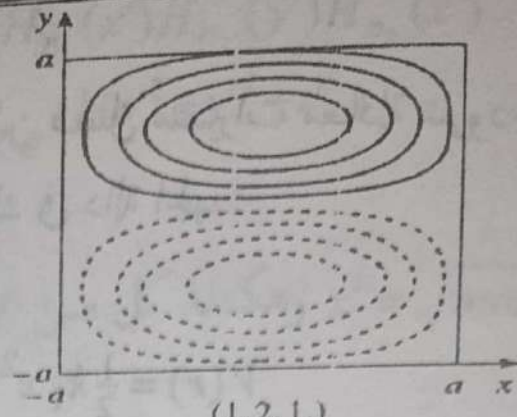
$$\psi(x, y, z)_{121} = \sqrt{\frac{8}{L_x L_y L_z}} \sin\left(\frac{\pi x}{L_x}\right) \cos\left(\frac{2\pi y}{L_y}\right) \cos\left(\frac{\pi z}{L_z}\right)$$

التفسير الفيزيائي للمعادلتين السابقتين (169) و (170) يمكن تلخيصه فيما يلي:
 عندما تتواجد حالتين أو أكثر من الحالات الكمية لها نفس قيمة الطاقة نقول بأن تلك الحالات منحلة *degenerate*. في أغلب الأحيان الإنحلال يصاحب تماثل دالة الجهد ويُفكّر أن نوضح هذا في الحالة الحالية باعتبار العلاقة الهندسية بين الدالتين الموجيتين (169) و (170). شكل (6) يعرض تخطيطاً كسورياً لمقطع من الدالة الموجية عند $z = 0$ من خلال كل من تلك الدوال الموجية. نلاحظ بوضوح أن تلك التخطيطات تكافئ بعضها البعض، ما عدا اتجاهاتها في الفراغ، وبذلك فإن ψ_{121} يُفكّر أن تتحوّل إلى ψ_{211} بإدارتها بمقدار 90 درجة حول محور z . وحيث أن دالة الجهد لها تماثل مربع في المستوى xy ، يجب أن لا نتوقع أن مثل هذا الدوران قد يؤدي إلى أي تغيير طبيعي في النظام. على أية حال، فإن التوزيع الاحتمالي للموضع $|\psi|^2$ الذي يناظر أياً من هذه الدوال، ليس له التماثل المتوقع.

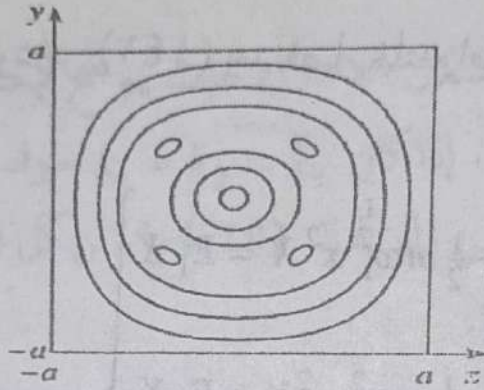
فعلى سبيل المثال، إذا كان النظام في الحالة التي لها الدالة الموجية ψ_{211} ، يكون احتمال وجوده قُرب النقطة $(L_x, 0, 0)$ كبير جداً، بينما احتمال إيجاد قُرب النقطة $(L_x, 0, 0)$ يكون مساوياً للصفر. بالرغم من أن، كلما بعدت دالة الجهد، تصبح هذه النقاط متكافئة. و لحلّ هذا التناقض الظاهري يجب أن نعتبر بعناية ما المعلومات التي نحصل عليها من خلال قياس الطاقة حول أي نظام منحل. لو قيست الطاقة فقط، يُمكن أن نستنتج أن الدالة الموجية أحد الأشكال السابقة (169) أو (170). لكن لا نستطيع أن نحدد أيّ الدالتين هي. في غياب المعلومات الأخرى، نفترض أن أي حالة محتملة على حد سواء. يترتب على ذلك التعبير الملائم للتوزيع الاحتمالي للموضع أنه يساوي متوسط المقدارين $|u_{211}|^2$ و $|u_{121}|^2$. هذه الكمية بشكل واضح لها نفس التماثل كدالة الجهد، كما يتضح من شكل (18). هذه الحجّة تعتمد على أن تكون الحالات منحلة، لأننا فيما عدا ذلك يُمكننا أن نحدد من قياس الطاقة أي واحدة من الحالات كان يشغلها الجسم. هذا يوضح الارتباط الوثيق بين الإنحلال والتماثل. علاوة على ذلك، الحقيقة بأن القيم المطلقة المربعة لدوال الموجية المصاحبة لكل حالة بمفردها ليس لها أهمية طبيعية توضح المبدأ العام الذي يبين أهمية ميكانيكا الكم، لذلك يجب أن نركز فقط على تلك النتائج التي يُمكن أن تقاس ونتجنب تصور الإستنتاجات حول النتائج الظاهرية التي لا يُمكن أن تُختبر بطريقة مباشرة.



(2,1,1)
(a)



(1,2,1)
(b)



شكل (٩)

الجدول التالي يعطى الأعداد الكمية ومستويات الطاقة للجسيم الحر مقيد في صندوق ثلاثي الأبعاد ودرجة الانحلال لكل حالة

$E_{n_x n_y n_z} / E_1$	(n_x, n_y, n_z)	g_n
3	(111)	1
6	(211), (121), (112)	3
9	(221), (212), (122)	3
11	(311), (131), (113)	3
12	(222)	1
14	(321), (312), (231), (213), (132), (123)	6

جدول (١)

مثال آخر من الأنظمة ثلاثية الأبعاد، حيث يمكن فصل متغيرات معادلة شرودنجر ثلاثية الأبعاد في الاحداثيات الديكارتية، حالة الجسم الذي يتحرك في دالة الجهد:

$$V(r) = \frac{1}{2}k_1 x^2 + \frac{1}{2}k_2 y^2 + \frac{1}{2}k_3 z^2 \quad (171)$$

في هذه الحالة تكون معادلة شرودنجر (141) بعد فصل المتغيرات في الصورة:

$$\left. \begin{aligned} -\frac{\hbar^2}{2m} \frac{d^2 X}{dx^2} + \frac{1}{2} m \omega_1^2 x^2 X &= E_1 X \\ -\frac{\hbar^2}{2m} \frac{d^2 Y}{dy^2} + \frac{1}{2} m \omega_2^2 y^2 Y &= E_2 Y \\ -\frac{\hbar^2}{2m} \frac{d^2 Z}{dz^2} + \frac{1}{2} m \omega_3^2 z^2 Z &= E_3 Z \end{aligned} \right\} \quad (172)$$

حيث $\omega_n = \sqrt{\frac{k_n}{m}}$, $n=1,2,3$ أيضا كل من المعادلات السابقة لها نفس شكل معادلات المتذبذب

التوافقي أحادي البعد الممثل بالمعادلة (71) من ذلك يمكننا استخدام نتائج هذه الحالة مباشرة، معادلة (137)، والتي تعطى قيم الطاقة الكلية لمستويات المتذبذب في حالة البعد الواحد، وبذلك يكون لدينا طاقة المتذبذب في حالة الأبعاد الثلاث تعطى من:

$$E_{n_1, n_2, n_3} = \hbar \omega_1 (n_1 + \frac{1}{2}) + \hbar \omega_2 (n_2 + \frac{1}{2}) + \hbar \omega_3 (n_3 + \frac{1}{2}) \quad (172)$$

حيث n_1, n_2 and n_3 أعداد صحيحة موجبة. يتبع ذلك مباشرة تعميم الدالة الموجية للمتذبذب أحادي البعد (1-3-114) لحالة الأبعاد الثلاث كالآتي:

$$u_{n_1, n_2, n_3}(x', y', z') = H_{n_1}(x')H_{n_2}(y')H_{n_3}(z') \times e^{-\frac{1}{2}(x'^2 + y'^2 + z'^2)} \quad (173)$$

حيث $x' = \sqrt{m\omega_1/\hbar} x$ وهكذا كل من y' و z' ، أيضاً الدوال H_{n_i} ، $i=1,2,3$ كثيرات حدود هرميتية.

هذا المثال يوضح شكلاً آخر من أشكال الانحلال حيث يوضح كيف يمكن للانحلال أن يكون نتيجة لتأثر دالة الجهد. على سبيل المثال، إذا كان $k_1 = k_2 = k_3$ سوف ينتج من المعادلة (1-4-23) أن الجهد متماثل كروياً وينتج من المعادلة (1-4-25) أن كل الحالات التي لها نفس القيمة $(n_1 + n_2 + n_3)$ حالات منحلة.

فصل المتغيرات في الإحداثيات القطبية الكرية:

بالرغم من أن هناك تطبيقات في ميكانيكا الكم التي يُمكن أن يُستخدم فيها الإحداثيات ديكارتية بشكل مفيد، إلا أن الكثير من الأنظمة الفيزيائية، خصوصاً الذرات والأنوية، أقرب بكثير إلى الشكل الكروي منها الشكل مستطيل. الأنظمة المتماثلة كروياً، حيث أن دالة الجهد $V(r)$ مستقلة عن اتجاه r ، تعالج عادة أفضل بإستعمال الإحداثيات القطبية الكرية (r, θ, ϕ) . وكما نعلم أن هذه الإحداثيات ترتبط بالإحداثيات الديكارتية (x, y, z) بالتعبيرات الآتية:

$$\left. \begin{aligned} x &= r \sin \theta \cos \phi \\ y &= r \sin \theta \sin \phi \\ z &= r \cos \theta \end{aligned} \right\} \quad (174)$$

في هذه الحالة، يمكن كتابة معادلة شرودنجر (141) في الإحداثيات الكرية في الصورة الآتية:

$$-\frac{\hbar^2}{2m_e} \left[\frac{1}{r^2} \frac{\partial}{\partial r} \left(r^2 \frac{\partial u}{\partial r} \right) + \frac{1}{r^2 \sin \theta} \left(\sin \theta \frac{\partial u}{\partial \theta} \right) + \frac{1}{r^2 \sin^2 \theta} \frac{\partial^2 u}{\partial \phi^2} \right] + V(r)u = Eu \quad (175)$$

حيث أننا استخدمنا مباشرة التعبير القياسي للمؤثر ∇^2 المعطى بالمعادلة (١٤٢) في صورته في الإحداثيات الكروي وقد سبق دراسة هذا المؤثر بالتفصيل في العام الدراسي السابق في صورته الثلاثة في الإحداثيات المختلفة (الكارتيزية، الإسطوانية والقطبية الكروية). وعلى سبيل التذكير، يعطى المؤثر ∇^2 في الإحداثيات القطبية الكروية من:

$$\nabla^2 = \frac{1}{r^2} \frac{\partial}{\partial r} \left(r^2 \frac{\partial}{\partial r} \right) + \frac{1}{r^2 \sin \theta} \left(\sin \theta \frac{\partial}{\partial \theta} \right) + \frac{1}{r^2 \sin^2 \theta} \frac{\partial^2}{\partial \theta^2} \quad (176)$$

أيضاً تم تمثيل كتلة الجسم بالرمز m_e وهو الرمز الشائع للتعبير عن كتلة الإلكترون كما أننا سوف نستخدم لاحقاً الرمز m ليبدل على عدداً كياً. الآن نتقدم لنفصل المتغيرات وسوف يتم هذا على مرحلتين: أولاً نضع:

$$u(r, \theta, \phi) = R(r)Y(\theta, \phi) \quad (177)$$

بالتعويض في المعادلة (١٧٥)، وبالقسمة على u وبالضرب في r^2 لنحصل على:

$$\left[-\frac{\hbar^2}{2m_e} \frac{1}{R} \frac{d}{dr} \left(r^2 \frac{dR}{dr} \right) + r^2 V - r^2 E \right]$$

$$+ \left[-\frac{\hbar^2}{2m_e} \frac{1}{Y \sin \theta} \frac{\partial}{\partial \theta} \left(\sin \theta \frac{\partial Y}{\partial \theta} \right) \right]$$

$$-\frac{\hbar^2}{2m_e} \frac{1}{Y \sin^2 \theta} \frac{\partial^2 Y}{\partial \theta^2} = 0 \quad (178)$$

بالنظر سريعاً إلى محتويات القوس المربع الأول نجد أنها مستقلة عن θ و ϕ ، أما محتويات القوس المربع الثاني فهي مستقلة عن r ، لذلك فكل منهما منفرداً يساوي مقدار ثابت، ويكون مجموع المقدارين الثابتين يجب ان يساوي الصفر. سوف نسمي هذين الثابتين λ و $-\lambda$ ، لنحصل على:

$$\left[-\frac{\hbar^2}{2m_e} \frac{1}{R} \frac{d}{dr} \left(r^2 \frac{dR}{dr} \right) + r^2 V - r^2 E \right] = -\lambda \quad (179)$$

ومنها بالقسمة على r^2 وبالضرب في R وإعادة الترتيب قليلاً نحصل على:

$$-\frac{\hbar^2}{2m_e} \frac{1}{r^2} \frac{d}{dr} \left(r^2 \frac{dR}{dr} \right) + \left(V + \frac{\lambda}{r^2} \right) R = ER \quad (180)$$

وأيضاً من محتويات القوس المربع الثاني:

$$-\frac{\hbar^2}{2m_e} \frac{1}{Y \sin \theta} \frac{\partial}{\partial \theta} \left(\sin \theta \frac{\partial Y}{\partial \theta} \right)$$

$$-\frac{\hbar^2}{2m_e} \frac{1}{Y} \frac{1}{\sin^2 \theta} \frac{\partial^2 Y}{\partial \theta^2} = \lambda \quad (181)$$

ومنها بالضرب في Y نحصل على:

$$-\frac{\hbar^2}{2m_e} \frac{1}{\sin \theta} \frac{\partial}{\partial \theta} \left(\sin \theta \frac{\partial Y}{\partial \theta} \right)$$

$$-\frac{\hbar^2}{2m_e} \frac{1}{\sin^2 \theta} \frac{\partial^2 Y}{\partial \phi^2} = \lambda Y \quad (182)$$

المعادلة (182) لا تحتوي على دالة الجهد. هذا يعني إذا أمكننا حل (182) بالنسبة إلى $Y(\theta, \phi)$ الحل ستمثل الأجزاء الزاوية لدوال لأي دالة جهد متماثلة كروياً $V(r)$ ثم يلزمنا فقط أن نحل المعادلة القطرية (180) للحصول على الدالة الموجية في صورتها الكاملة لأي حالة خاصة. سوف نعرض الآن كيف يتم الحصول على الحل العام للمعادلة (182)، ثم نعود للحصول على حل المعادلة القطرية لحالات خاصة لدالة الجهد لاحقاً. وبتابعة عملية فصل المتغيرات، نضع:

$$Y(\theta, \phi) = \Theta(\theta) \Phi(\phi) \quad (183)$$

بالتعويض في المعادلة (183)، وبالضرب في $\sin^2 \theta / Y$ نحصل على:

$$\left[-\frac{\hbar^2}{2m_e} \frac{\sin \theta}{\Theta} \frac{d}{d\theta} \left(\sin \theta \frac{d\Theta}{d\theta} \right) - \lambda \sin^2 \theta \right]$$

$$+ \left[-\frac{\hbar^2}{2m_e} \frac{1}{\Phi} \frac{d^2 \Phi}{d\phi^2} \right] = 0 \quad (184)$$

نلاحظ بوضوح أن محتويات القوس المربع الأول مستقل عن ϕ ، أم محتويات القوس المربع الثاني فهي مستقلة عن θ ، لذلك فكل منهما يساوي مقدار ثابت، حيث مجموع المقداران الثابتان يجب أن يساوي الصفر. وسوف نطلق على المقدارين الثابتين $-v$ و v ، لنحصل على:

$$-\frac{\hbar^2}{2m_e} \frac{\sin \theta}{\Theta} \frac{d}{d\theta} \left(\sin \theta \frac{d\Theta}{d\theta} \right) - \lambda \sin^2 \theta = -v \quad (185)$$

ومنها نحصل على:

$$-\frac{\hbar^2}{2m_e} \frac{\sin \theta}{\Theta} \frac{d}{d\theta} \left(\sin \theta \frac{d\Theta}{d\theta} \right) - \lambda \sin^2 \theta \Theta + v \Theta = 0 \quad (186)$$

أيضاً من محتويات القوس المربع الثاني:

$$-\frac{\hbar^2}{2m_e} \frac{1}{\Phi} \frac{d^2 \Phi}{d\phi^2} = v \quad (187)$$

ومنها نحصل على حل المعادلة الأخيرة (١-٤-٤٠) في الصورة:

$$\Phi = A \exp \left[\pm i \sqrt{2m_e v / \hbar^2} \phi \right] \quad (188)$$

حيث A مقدار ثابت. يمكننا الآن تطبيق الشرط حيث الدالة الموجية أحادية القيمة، أو دالة دورية، حيث:

$$\Phi(\phi + 2\pi) = \Phi(\phi) \quad (189)$$

كما يعني أن:

$$\exp\left[\pm i \sqrt{2m_e v / \hbar^2} 2\pi\right] = 1 \quad (190)$$

وهذا يتحقق في حالة:

$$\sqrt{2m_e v / \hbar^2} = m \quad (191)$$

حيث m عدداً صحيحاً موجباً أو سالباً أو صفراً. بالرجوع للتعويض في (188)، لنحصل على:

$$\Phi = \frac{1}{\sqrt{2\pi}} \exp[i m \phi] \quad (192)$$

حيث أن المعامل $\frac{1}{\sqrt{2\pi}}$ تم الحصول عليه من شرط المعايرة الذي يمكن صياغته في هذه الحالة في

الصورة:

$$\int_0^{2\pi} |\Phi|^2 d\phi = 1 \quad (193)$$

الآن، لقد حصلنا على الحل الكامل لواحدة من المعادلات التفاضلية الثلاث، وحصلنا على شرط التكميم (191) سوية مع العدد الكمي m .

عودة إلى المعادلة الخاصة بالدالة Θ الممثلة بالمعادلة (186)، يمكننا التعويض من المعادلة (191) ثم نعيد ترتيب الحدود لنحصل على:

$$\sin \theta \frac{d}{d\theta} \left(\sin \theta \frac{d\Theta}{d\theta} \right) + (\lambda' \sin^2 \theta - m^2) \Theta = 0 \quad (194)$$

حيث $\lambda' = 2m_e \lambda / \hbar^2$. يمكن تسهيل الحصول على حل هذه المعادلة باستخدام التعويض $v = \cos \theta$ وبكتابة $P(v) \equiv \Theta(\theta)$ ، والذي يؤدي إلى:

$$\frac{d}{d\theta} = -\sin \theta \frac{d}{dv} = -\sqrt{1-v^2} \frac{d}{dv} \quad (195)$$

في هذه الحالة تصبح المعادلة (194) في الصورة:

$$\frac{d}{dv} \left((1-v^2) \frac{dP}{dv} \right) + \left(\lambda' - \frac{m^2}{1-v^2} \right) P = 0 \quad (196)$$

أولاً سوف نعتبر الحالة الخاصة، حيث $m = 0$ ، حينئذ تأخذ المعادلة (196) الشكل التالي:

$$\frac{d}{dv} \left((1-v^2) \frac{dP}{dv} \right) + \lambda' P = 0 \quad (197)$$

الآن نستخدم الحل المستخدم في الباب السابق (في حالة التذبذب التوافقي أجاوي البعد) وهو فك الدالة $P(v)$ في صورة متسلسلة في قوى المتغير v كالتالي:

$$P = \sum_{p=0}^{\infty} a_p v^p \quad (198)$$

من هنا نجد أن:

$$\frac{d}{dv} \left((1-v^2) \frac{dP}{dv} \right) = \frac{d}{dv} \sum_{p=0}^{\infty} [a_p p v^{p-1} - a_p p v^{p+1}]$$

$$= \sum_{p=0}^{\infty} a_p p(p-1) v^{p-2} - \sum_{p=0}^{\infty} a_p p(p+1) v^p$$

$$= \sum_{p'=0}^{\infty} a_{p'+2} (p'+2)(p'+1) v^{p'} - \sum_{p=0}^{\infty} a_p p(p+1) v^p$$

(199)

حيث $p' = p + 2$ ، وحيث أن الحدود في المجموع الأول المناظرة للقيم $p = 0$ و $p = 1$ تساوي الصفر، يكون المجموع على p' في السطر الأخير يبدأ عند $p' = 0$. وحيث أن p' ليست فقط إلا دليل للمجموع، يمكننا إعادة كتابة المجموع في السطر الأخير بالدليل p وبالتعويض من المعادلة (199) في (197) لنحصل على:

$$\sum_{p=0}^{\infty} [a_{p+2} (p+2)(p+1) - a_p \{p(p+1) - \lambda'\}] v^p = 0$$

(200)

وهذه المتساوية سوف تتحقق إذا كان معامل كل قوة من قوى v مساوياً للصفر، لذلك سوف نحصل على العلاقة التكرارية الآتية:

$$\frac{a_{p+2}}{a_p} = \frac{p(p+1) - \lambda'}{(p+1)(p+2)} \rightarrow 1 \text{ as } p \rightarrow \infty$$

(201)

لقيم p الكبيرة، نجد أن المتسلسلة (١٩٩) تماثل مفكوك تيلور للدالة $(1-u)^{-1}$ والتي تقترب من اللانهاية عند النقطة $u=1$. هذا التقارب في الدالة الموجية لا يتفق مع الشروط الحدية الفيزيائية. لذلك يمكن تجنب هذا التقارب إلى اللانهاية إذا ما توقفت أو انتهت المتسلسلة عند قيمة محددة للمتغير p ، وليكن $p=1$ ، وكانت قيمة $a_1=0$ عندما تكون قيمة l فردية وكانت قيمة $a_1=0$ عندما تكون قيمة l زوجية.

بما سبق، يمكننا الحصول على الشرط الكمي الثاني:

$$\lambda' = l(l+1) \quad (2.2)$$

حيث l عدد صحيح و $l \geq 0$. وبالتالي يمكن كتابة الدالة P مصاحباً لها الدليل l أي P_l ، والتي تمثل كثيرة حدود من الدرجة l والتي تحتوي فقط إما قوى فردية أو فقط قوى زوجية للمتغير u . كثيرات الحدود هذه تعرف بكثيرات حدود ليجيندر والتي يمكن معرفة خواصها من كثير من كتب الرياضيات. ويمكن الحصول على الصور الصريحة المناظرة للقيم المعينة للمتغير l ، وذلك من المعادلتين (٢٠١) و (٢٠٢)، على سبيل المثال:

$$\left. \begin{aligned} P_0(u) &= 1 \\ P_1(u) &= u \\ P_2(u) &= \frac{1}{2}(3u^2 - 1) \\ P_3(u) &= \frac{1}{2}(5u^3 - 3u) \end{aligned} \right\} \quad (2.3)$$

حيث تم اختيار قيم الثوابت a_0 و a_1 طبقاً لما يناسب من الشروط السابقة. عودة إلى المعادلة (١٩٦)، وهي الصورة في الحالة العامة حيث تأخذ m قيمة غير صفرية. طريقة الحل لهذه المعادلة أكثر تعقيداً من الحالة الخاصة السابقة المثلة بالمعادلة (١٩٧). ولإجراء طريقة الحل نضع المعادلة (١٩٦) في الصورة:

$$(1-v^2) \frac{d}{dv} \left((1-v^2) \frac{dP}{dv} \right)$$

$$+ l(l+1)(1-v^2)P - m^2 P = 0 \quad (2.4)$$

التي تصبح بعد إجراء التفاضلات بصورة صريحة في الصورة:

$$(1-v^2) \left((1-v^2) \frac{d^2 P}{dv^2} - 2v \frac{dP}{dv} \right)$$

$$+ l(l+1)(1-v^2)P - m^2 P = 0 \quad (2.5)$$

حيث عوضنا عن قيمة $\lambda' = l(l+1)$.

باستخدام التعويض:

$$P = (v^2 - 1)^{m/2} w(v) \quad (2.6)$$

والذي يؤدي إلى:

$$\frac{dP}{dv} = m v (v^2 - 1)^{m/2-1} w + (v^2 - 1)^{m/2} \frac{dw}{dv} \quad (2.7)$$

أيضاً

$$\frac{d^2 P}{dv^2} = m(m-2)v^2 (v^2 - 1)^{m/2-2} w + m(v^2 - 1)^{m/2-1} w$$

$$+ m(v^2 - 1)^{m/2-1} \frac{dw}{dv} + m(v^2 - 1)^{m/2-1} \frac{dw}{dv}$$

$$+ (v^2 - 1)^{m/2} \frac{d^2w}{dv^2}$$

$$= (v^2 - 1)^{m/2} \left\{ w \left[m(m-2)v^2 (v^2 - 1)^{-2} \right. \right.$$

$$\left. \left. + m(v^2 - 1)^{-1} \right] + 2mv(v^2 - 1)^{-1} + \frac{d^2w}{dv^2} \right\} \quad (2.8)$$

بالتعويض من المعادلات (2.6)، (2.7) و (2.8) في المعادلة (2.5)، ثم تجميع الحدود من نفس الدرجة، نحصل على:

$$(v^2 - 1) \frac{d^2w}{dv^2} + (m+1)2v \frac{dw}{dv}$$

$$- [l(l+1) - m(m+1)]w = 0$$

(2.9)

على سبيل المثال يمكن الحصول على الحد الأخير $[l(l+1) - m(m+1)]w$ وذلك بعد التعويض عن المعادلات السابقة كالآتي:

$$w \left[m(m-2)v^2 (v^2 - 1)^{m/2} + m(v^2 - 1)(v^2 - 1)^{m/2} \right.$$

$$\left. + 2mv^2 (v^2 - 1)^{m/2} - l(l+1)(v^2 - 1)(v^2 - 1)^{m/2} \right]$$

$$\begin{aligned}
 & - m^2 (v^2 - 1)^{m/2} \Big] \\
 & = w \left[v^2 (v^2 - 1)^{m/2} \{ m^2 - 2m + 2m \} \right. \\
 & \quad \left. + (v^2 - 1)(v^2 - 1)^{m/2} \{ m - l(l+1) \} - m^2 (v^2 - 1)^{m/2} \right]
 \end{aligned}$$

$$\begin{aligned}
 & = w \left[m^2 (v^2 - 1)^{m/2} (v^2 - 1) \right. \\
 & \quad \left. + (v^2 - 1)(v^2 - 1)^{m/2} \{ m - l(l+1) \} \right]
 \end{aligned}$$

$$= -(v^2 - 1)^{m/2} (v^2 - 1) [m(m+1) - l(l+1)] w \quad (210)$$

ثم بعد القسمة على المقدار $(v^2 - 1)^{m/2} (v^2 - 1)$ نحصل على الحد المطلوب.

عودة إلى المعادلة (٢٠٩) المطلوب إيجاد الحل لها.

بالنظر إلى المعادلة (١٩٨) وبعد التعويض عن قيمة λ' تتحول إلى الصورة:

$$\frac{d}{dv} \left((1 - v^2) \frac{dP_l}{dv} \right) + l(l+1) P_l = 0 \quad (211)$$

ويجاء التفاضل m مرة لهذه المعادلة باستخدام قاعدة ليبنز للتفاضل:

$$u_V^{(m)} = u^{(m)}_V + \dots + \frac{m(m-1)}{2!} u^{(2)}_V \cdot V^{(m-2)}$$

$$+ mu^{(1)} v^{(m-1)} + uv^{(m)}$$

(٢١٢)

حيث نضع $\frac{dP}{dv} = v \cdot (1-v^2) = u$ نحصل على الصورة الآتية:

$$-m(m+1) \frac{d^m P_l}{dv^m} - 2v(m+1) \frac{d^{m+1} P_l}{dv^{m+1}}$$

$$+ (1-v^2) \frac{d^{m+2} P_l}{dv^{m+2}} + l(l+1) \frac{d^m P_l}{dv^m} = 0 \quad (٢١٣)$$

و تجميع الحدود التي من نفس الدرجة، نحصل على:

$$(v^2 - 1) \frac{d^2}{dv^2} \left(\frac{d^m P_l}{dv^m} \right) + 2(m+1) \frac{d}{dv} \left(\frac{d^m P_l}{dv^m} \right)$$

$$- [l(l+1) - m(m+1)] \frac{d^m P_l}{dv^m} = 0$$

(٢١٤)

وبمقارنة المعادلة (٢١٤) بالمعادلة (٢٠٩) نجد أنها يتطابقان إذا تم وضع:

$$w = \frac{d^m P_l}{dv^m}$$

(٢١٥)

ونلخص هذا في أن P_l تمثل حلول معادلة ليجيندر (١٩٨). أيضاً $d^m P_l / dv^m$ تحقق المعادلة (٢١٤)، والتي تم اشتقاقها من المعادلة (١٩٨) من خلال التفاضل m مرة، وبالتالي فإن المعادلة (٢١٤) ليس إلا المعادلة (٢٠٩) والتي تم الحصول عليها بالتعويض:

$$(v^2 - 1)^{m/2} \frac{d^m P_l}{dv^m} \quad (216)$$

في معادلة ليجيندر (205). أى أن حلول معادلة ليجيندر (205) يجب أن تكون:

$$P_l^{|m|}(v) = (v^2 - 1)^{|m|/2} \frac{d^{|m|} P_l}{dv^{|m|}} \quad (217)$$

الدوال (217) تعرف بدوال ليجيندر المصاحبة. ولأن الدوال P_l تمثل كثيرات حدود من الدرجة l ، لا يمكننا تفاضلها أكثر من l مرة، وبالتالي يجب أن نتقيد بالشرط:

$$m \leq l \quad (218)$$

وسوف نعرف بعد قليل أن هذه اللامتساوية (218) لها معناً فيزيائياً هاماً جداً.

وبالنظر إلى المعادلات (158)، (166) و (217)، يمكننا أن نعلن أن الجزء الزاوي من معادلة شرودنجر لأى جمد مركزى تم إيجاد الحل له بواسطة التوافقيات الكروية:

$$Y_{lm}(\theta, \phi) = \frac{1}{\sqrt{2\pi}} N_{lm} e^{im\phi} P_l^{|m|}(v) \quad (219)$$

$$= \frac{1}{\sqrt{2\pi}} N_{lm} e^{im\phi} P_l^{|m|}(\cos\theta)$$

حيث N_{lm} ثابت المعايرة والذي يمكن الحصول عليه من التكامل على كل الزوايا المجسمة، أى ان:

$$\int_0^{2\pi} \int_0^{2\pi} |Y_{lm}(\theta, \phi)|^2 \sin \theta d\theta d\phi = 1 \quad (220)$$

والذي يؤدي إلى الصورة النهائية للجزء التوافقي في الصورة:

$$Y_{lm}(\theta, \phi) = (-1)^m \sqrt{\frac{(2l+1)(l-|m|)!}{4\pi(l+|m|)!}} e^{im\phi} P_l^{|m|}(\cos \theta),$$

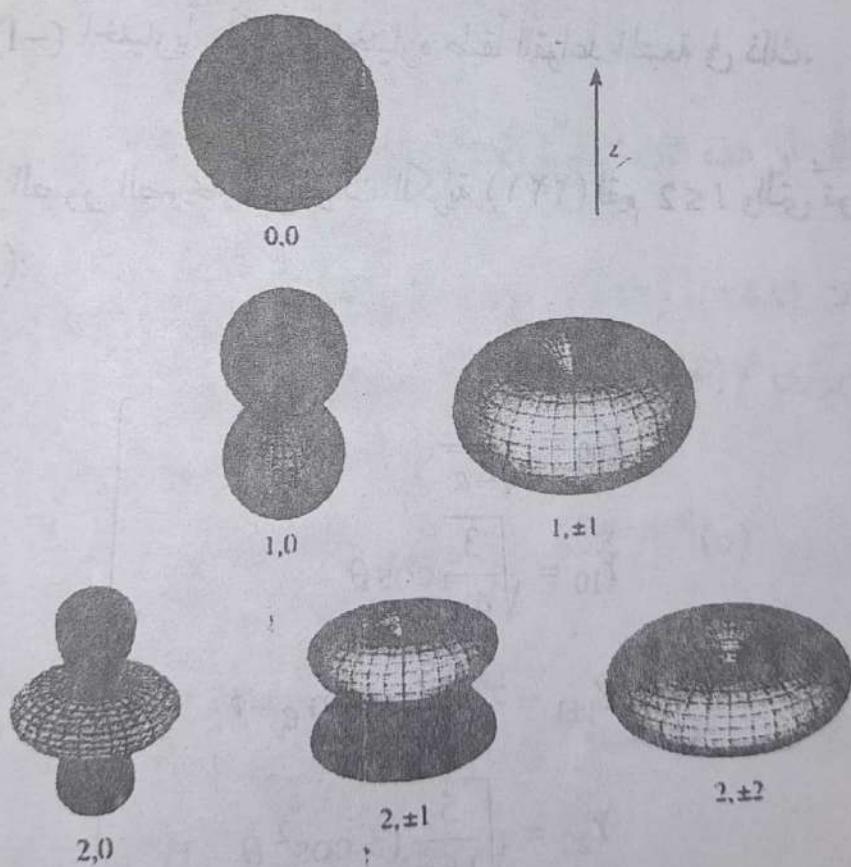
$$m \geq 0 \quad (221)$$

معامل الطور $(-1)^m$ اختيارياً ولكن تم اختياره طبقاً للقواعد المتبعة في ذلك.

نعرض الآن بعض الصور الصريحة للتوافقيات الكرية (221) لقيم $l \leq 2$ والتي توضح الأشكال المناظرة لها في شكل (19):

$$\left. \begin{aligned} Y_{00} &= \frac{1}{\sqrt{4\pi}} \\ Y_{10} &= \sqrt{\frac{3}{4\pi}} \cos \theta \\ Y_{1\pm 1} &= \mp \sqrt{\frac{3}{8\pi}} \sin \theta e^{\pm i\phi} \\ Y_{20} &= \sqrt{\frac{5}{16\pi}} (3 \cos^2 \theta - 1) \\ Y_{2\pm 1} &= \mp \sqrt{\frac{15}{8\pi}} \cos \theta \sin \theta e^{\pm i\phi} \\ Y_{2\pm 2} &= \sqrt{\frac{15}{32\pi}} \sin^2 \theta e^{\pm 2i\phi} \end{aligned} \right\} \quad (222)$$

من الصفات الملحوظة من شكل (١٩) أن الدوال الموجية لها توجيه محدد في الفراغ بالرغم من أن دالة الجهد متماثلة كروياً واتجاه محور Z (والذي يعرف أحياناً بمحور التكميم) في هذه الحالة اختيارياً. هذا التناقض الظاهري يتم حله بنفس الطريقة مثل حالة الجسيم في صندوق أحادي البعد والذي تم مناقشته في الأجزاء السابقة. قبل كل شيء يجب أن نلاحظ أن العدد الكمي m لم يتم استخدامه حتى الآن في المعادلة (١٨٠) والذي يحدد مستويات الطاقة للنظام، لذلك يوجد دائماً عدد $2l + 1$ حالة منحلّة والتي تختلف فقط في قيمة m المناظرة لها. إذا تم قياس الطاقة لمثل هذا النظام، لا يمكننا أن نحدد أي من هذه الدوال الموجية مناسب لوصف الحالة، لذلك نلجأ إلى حساب متوسط مربعات القيم المطلقة لهذه الدوال لحساب التوزيع الاحتمالي للموضع.



شكل (١٠)

نلاحظ أيضاً من شكل (١٩) والذي يمثل أشكال التوافقيات الكروية للأعداد الكمية l, m ، حيث $l \leq 2$ بينما محور Z رأسياً، أنه في حالة $m=0$ ، المناطق المظلمة والمضيئة لها إشارة مختلفة، بينما عندما $m \neq 0$ ، شكل الدالة يكون معقداً ويتغير طورها بمقدار $2m\pi$ خلال دورة كاملة للمحور Z .

المعادلة القطرية:

سوف ندير اهتمامنا الآن إلى المعادلة القطرية (١٨٠) التي تحدد مستويات الطاقة للنظام. بالتعويض عن قيمة λ التي تم الحصول عليها من الحل الزاوي (٢٠٢)، ولا ننسى أن $\lambda' = 2m_e \lambda / \hbar^2$ ، لنحصل على:

$$-\frac{\hbar^2}{2m_e} \frac{1}{r^2} \frac{d}{dr} \left(r^2 \frac{dR}{dr} \right) + \left(V(r) + \frac{l(l+1)\hbar^2}{2m_e r^2} \right) R = ER \quad (٢٢٣)$$

المعادلة الأخيرة يمكن تبسيطها باستخدام التعويض $\chi(r) = r R(r)$ والذي يعطى:

$$-\frac{\hbar^2}{2m_e} \frac{d^2 \chi}{dr^2} + \left(V(r) + \frac{l(l+1)\hbar^2}{2m_e r^2} \right) \chi = E\chi \quad (٢٢٤)$$

نلاحظ أن ما عدا الحد داخل القوس المربع، المعادلة (٢٢٤) تماثل في الشكل معادلة شرودنجر أحادية البعد. على أي حال، سوف تطبق شروط حدية إضافية في هذه الحالة، أي، χ يجب أن تساوى الصفر عند $r=0$ فيما عدا ذلك سوف يكون المقدار $\chi = r^{-1} R$ ربما يكون لانهائياً عند تلك النقطة. بالإضافة إلى أن الدالة $\chi(r)$ مناسبة رياضياً، هذه الدالة لها المعنى الفيزيائي أن $|\chi|^2 dr$ يمثل احتمال تواجد الإلكترون عند مسافة بين r و $r+dr$ من نقطة الأصل مقاساً بالمتوسط على كل الاتجاهات. هذا يتأتى من الحقيقة التي تنص على أن هذا الاحتمال يمكن حسابه بتكامل $|\psi(r, \theta, \phi)|^2$ على قشرة كروية نصف قطرها r وسمكها dr . أي أنه يعطى من:

$$|R^2(r)| r^2 dr \int_0^{2\pi} \int_0^{2\pi} |Y_{lm}(\theta, \phi)|^2 \sin \theta d\theta d\phi = |\chi^2(r)| dr \quad (225)$$

وذلك باستخدام (٢٢١).

لكي يمكننا التقدم للحصول على حل المعادلة القطرية (٢٢٤)، يجب معرفة شكل دالة الجهد $V(r)$ في الوحدة التالية سوف نعتبر حالة خاصة والتي لها شكل معلوم لدالة الجهد وهي ذرة الهيدروجين.

(٤-٦) ذرة الهيدروجين:

الآن نحن في موقف جيد يمكننا منها تطبيق النظرية الكمية على حالة فيزيائية حقيقية وهي لإلكترون يتحرك تحت تأثير نواة موجبة الشحنة. إذا كانت هذه النواة تتكون فقط من بروتون واحد، مثل هذا النظام يمثل في ذرة الهيدروجين، على الرغم من أن النظرية يمكن تطبيقها على حالات أكثر عمومية مثلاً لذرة ذات عدد ذري Z (وبالتالي تكون الشحنة النووية تساوي Ze) مع إزالة أحد إلكتروناتها أي تصبح أيون موجب (على سبيل المثال $He^+, Li^+, etc.$). عامة مثل تلك الأنظمة توصف بأنها الذرات المشابهة لذرة الهيدروجين (*hydrogenic atom*). عودة إلى نظامنا المدروس وهو ذرة الهيدروجين يكون لدينا، طاقة الجهد للتفاعل بين الإلكترون والنواة تساوي $-Ze^2 / 4\pi \epsilon_0 r$ ، لذلك تصبح المعادلة (١-٤-٧٦) في هذه الحالة في الشكل الآتي:

$$-\frac{\hbar^2}{2m_e} \frac{d^2 \chi}{dr^2} + \left(-\frac{Ze^2}{4\pi \epsilon_0 r} + \frac{l(l+1)\hbar^2}{2m_e r^2} \right) \chi = E\chi \quad (226)$$

حيث أننا افترضنا هنا أن الإلكترون يتحرك في مجال نواة ثابتة، لكن هذا لن يكون حقيقياً تماماً كما لو كانت النواة تتحرك أيضاً في مجال الإلكترون. هذه الحركة النووية يُمكن أن يتكون مسموح بها بنفس الطريقة بالضبط كما في الميكانيكا الكلاسيكية بأخذ r لكي يكون المسافة بين النواة والإلكترون، و تكون μ الكتلة المختزلة للنواة (ذات الكتلة m_N) والإلكترون (ذو الكتلة m_e). أي أن،

$$\mu = m_N m_e / (m_N + m_e)$$

(٢٢٧)

ولأن كتلة الإلكترون أصغر بكثير من تلك التي للنواة، نجد أن μ تقريباً مساوية بدرجة كبيرة لكتلة الإلكترون m_e وبالتالي نجد أن تأثير الحركة النووية صغير. على أية حال، بدلاً من استخدام الكتلة المختزلة في المعالجة النظرية، عندما يتم إجراء مقارنة النتائج النظرية بالتجربة العملية تضبط القيم التجريبية لإزالة تأثير الحركة النووية.

لإيجاد حل المعادلة (٢٢٦) سوف تحتوي المعالجة لتبسيط المعادلة بإجراء التعويض المناسب. لإنجاز ذلك، سوف نعرف متغيراً جديداً ρ حيث:

$$\rho = \sqrt{-8m_e E / \hbar^2} r \quad (٢٢٨)$$

و يجب أن نلاحظ أن الطاقة E سالبة للحالات المحددة لأن دالة الجهد يكون لها قيمة صفرية عندما تتول r للنهاية. وبالتالي نجد أن:

$$\frac{d^2 \chi}{dr^2} = -\frac{8m_e E}{\hbar^2} \frac{d^2 \chi}{d\rho^2} \quad (٢٢٩)$$

ومنها تصبح المعادلة (٢٢٦) في الصورة:

$$\frac{d^2 \chi}{d\rho^2} - l(l+1) \frac{\chi}{\rho^2} + \left(\frac{\beta}{\rho} - \frac{1}{4} \right) \chi = 0 \quad (٢٣٠)$$

حيث الثابت β يعرف بالقيمة:

$$\beta = \sqrt{-\frac{m_e}{2E}} \frac{Z e^2}{4\pi \epsilon_0 \hbar} \quad (٢٣١)$$

أولاً سوف نعتبر حل المعادلة (٢٣٠) في الحالة الخاصة عندما تكون قيمة ρ كبيرة جداً حينها تصبح المعادلة (٢٣٠) في الصورة:

$$\frac{d^2 \chi}{d\rho^2} - \frac{1}{4} \chi = 0 \quad (232)$$

وباستخدام التعويض $\chi = e^{\alpha \rho}$ حيث $\frac{d^2 \chi}{d\rho^2} = \alpha^2 \chi$ نحصل على:

$$\chi(\rho) = A e^{\rho/2} + B e^{-\rho/2} \quad (233)$$

وبإهمال الأس الموجب حيث أنه يؤول إلى اللانهاية عند قيم ρ الكبيرة، لنحصل على:

$$\chi(\rho) = F(\rho) e^{-\rho/2} \quad (234)$$

والذي يمكن اقتراحه حلاً للمعادلة (٢٣٠). وبالتعويض في (٢٣٠) نحصل على المعادلة التفاضلية الآتية:

$$\frac{d^2 F}{d\rho^2} - \frac{dF}{d\rho} - l(l+1) \frac{F}{\rho^2} + \frac{\beta}{\rho} F = 0 \quad (235)$$

الآن نبحث عن حل لتلك المعادلة في صورة متسلسلة، ذلك نستخدم التعويض:

$$F = \sum_{p=1}^{\infty} a_p \rho^p \quad (236)$$

حيث أن الحد الأدنى للمجموع السابق هو $p=1$ وليس $p=0$ ، فيما عدا ذلك لن تكون F وبالتالي χ لن تساوي الصفر عندما $\rho=0$.

من هنا نجد أن:

$$\frac{dF}{d\rho} = \sum_{p=1}^{\infty} a_p p \rho^{p-1} \quad (237)$$

$$\frac{d^2F}{d\rho^2} = \sum_{p=1}^{\infty} a_p p(p-1) \rho^{p-2}$$

$$= \sum_{p=1}^{\infty} a_{p+1} p(p+1) \rho^{p-1} \quad (238)$$

أيضاً نجد أن:

$$F/\rho^2 = \sum_{p=1}^{\infty} a_p \rho^{p-2}$$

$$= a_1 \rho^{-1} + \sum_{p=1}^{\infty} a_{p+1} \rho^{p-1} \quad (239)$$

بالتعويض من المعادلات (236) - (239) في المعادلة (235) نحصل على:

$$-l(l+1)a_1 \rho^{-1} + \sum_{p=1}^{\infty} [(p+1)pa_{p+1} - pa_p]$$

$$-l(l+1)a_{p+1} + \beta a_p] \rho^{p-1} = 0$$

(240)

وحيث أن المعاملات لكل قوى ρ يجب أن تتلاشى يكون لدينا $a_1 = 0$ إذا لم يكن $l = 0$ ، أيضاً

$$\frac{a_{p+1}}{a_p} = \frac{p - \beta}{p(p+1) - l(l+1)} \quad (241)$$

عند أخذ نهاية المعادلة الأخيرة عند اللانهاية نجد أن:

$$\lim_{p \rightarrow \infty} \frac{a_{p+1}}{a_p} = \lim_{p \rightarrow \infty} \frac{p - \beta}{p(p+1) - l(l+1)} = \frac{1}{p} \quad (242)$$

أولاً نلاحظ أن المقام في المعادلة السابقة يساوى الصفر عندما $p = l$ ، والذي يستلزم أن a_{l+1} والذي يتضمن أن كل المعاملات a_p ، حيث $p > l$ يجب أن تكون لانهاية القيمة إذا لم تساوى قيمة a_l الصفر. أيضاً إذا كان $a_l = 0$ ، يتبع هذا من المعادلة (241) أن $a_{l-1}, a_{l-2}, \text{etc.}$ يجب أيضاً أن تساوى الصفر. من هذا نستنتج أن لكل المعاملات a_p التي لها $p \leq l$ يجب أن تساوى الصفر ليمثل الحل دالة موجية فيزيائية حقيقية. نرى أيضاً أن المعادلة (242) تماثل العلاقة التكرارية للحدود في متسلسلة مفكوك المقدار e^p وكذلك مفكوك الدالة χ للمقدار $F e^{-p/2}$ (كما سبق في الوحدة الرابعة من هذا الفصل)، سوف يتقارب مثل $e^{p/2}$ عندما $p \rightarrow \infty$. على أية حال، مثل حالة حلول المتذبذب التوافقي ودوال ليجيندر المذكورة سابقاً، هذا التقارب يمنع بالتأكيد أن هذه المتسلسلة سوف تتوقف بعد عدد محدود من الحدود. ويحدث هذا عند الحد المشار إليه بالعدد المحدود $p = n$ يجب أن يكون لدينا:

$$\beta = n > l \quad (243)$$

وبالتالي، باستخدام المعادلة (231) يكون:

$$E = E_n = -\frac{m_e Z^2 e^4}{2(4\pi \epsilon_0)^2 \hbar^2 n^2} \quad (244)$$

هكذا نكون قد إستققتنا الصيغ الخاصة بمستويات الطاقة المنفصلة لذرة هيدروجينية بدلالة كتلة الإلكترون، الشحنة النووية والثوابت والأساسية، e ، \hbar و ϵ_0 . يجب ملاحظة أن مستويات الطاقة (٢٤٤) ليست فقط مستقلة عن العدد الكمي m ، كما هو متوقع من المناقشة السابقة، ولكنها مستقلة أيضاً عن l . هذا الإنحلال الإضافي إنما هو ميزة محددة لجهد كولوم وليس خاصية عامة للأنظمة المتماثلة كروياً.

الاختبار الدقيق للنظرية قد تطور بدرجة قوية حتى الآن حتى أننا يمكننا نقارن هذه النتائج النظرية بتلك التي تم ملاحظتها بشكل تجريبي من لقياس الأطياف الذرية. رأينا في الفصل الأول أن أطياف خطّ الهيدروجين يُمكن أن تُحسب، للحالة إذا فرض أن لذرة الهيدروجين مجموعة من مستويات الطاقة تعطي من المعادلة (١٣٨):

$$E_n = -\frac{2\pi \hbar R_0 c}{n^2} \quad (٢٤٥)$$

حيث n عدد صحيح موجب و R_0 ثابت رايدبيرج. بمقارنة المعادلتين (٢٤٤) و (٢٤٥) نلاحظ من النظرة الأولى أنهما متطابقتين للرجة أنه يوجد اتفاق نوعي بين النظرية والتجربة. إذا نجد أنه إذا تم عقد مقارنة نوعية تم فيها استخدام قيم الثوابت الأساسية المقاسة معملياً:

$$m_e = 9.10938188 \times 10^{-31} \text{ kg} \quad (٢٤٦)$$

$$\epsilon_0 = 8.854187817 \times 10^{-12} \text{ F m}^{-1} \quad (٢٤٧)$$

$$\hbar = 1.054571595 \times 10^{-34} \text{ J s} \quad (٢٤٨)$$

$$e = 1.602176462 \times 10^{-19} \text{ C} \quad (٢٤٩)$$

$$c = 2.99792458 \times 10^8 \text{ m s}^{-1} \quad (٢٥٠)$$

بالتعويض بهذه القيم يؤدي بنا إلى تقدير قيمة ثابت رايدبيرج بالقيمة $R_0 = 10973731.6 \text{ m}^{-1}$ وهي القيمة التي تم الحصول عليها في الجزء الثاني بالوحدة الثالثة في الباب الأول. أيضاً، نفس الاتفاق يمكن الحصول عليه لذرات هيدروجينية أخرى عند التعويض بالقيم المناسبة للشحنة النووية في المعادلة (٢٤٤). هذه النتائج تمثل اختبار هام للنظرية الكمية، والتي عبرت بنجاح باهر. إن الاعتقاد في الميكانيكا الكمية بالطبع لا يتوقف عند هذه النتيجة وحدها، في الحقيقة أن هنال صيغة متطابقة مع المعادلة (٢٤٤) تم اشتقاقها بواسطة العالم نيلز بوهر باستخدام قديمة (تمت مناقشتها بالتفصيل في الباب الأول) والتي ثبت بعد ذلك عدم صحتها عند تطبيقها على ذرات أخرى أكثر تعقيداً. علاوة على ذلك، بالرغم من أننا سنقارن نتائج الحسابات النظرية بالمعملية في عديد من الأحيان عندها سنجد دائماً اتفاق في حدود الأخطاء المعملية، يوجد عدد قليل من أمثلة الكميات الفيزيائية والتي قيمها يمكن أن تقاس عملياً بدرجة عالية من الدقة وأيضاً يمكن حسابها بالضبط نظرياً بإيجاد حل لمعادلات كمية مناسبة لتمثيل النظام.

الدالة الموجية لذرة الهيدروجين:

سوف تم الآن دراسة ذرة الهيدروجين وذلك بمناقشة شكل دوالها الموجية المصاحبة لمستويات الطاقة المختلفة. رأينا سابقاً أن الجزء القطري من الدالة الموجية متسق مع الشروط الحدية فقط إذا بدأت متسلسلة الدالة F (٢٣٦) عند الحد $p = l + 1$ وتوقفت عند الحد $p = n$. إذا يكون لدينا:

$$F_n(\rho) = \sum_{p=l+1}^n a_p \rho^p \quad (251)$$

حيث يمكن التعبير عن المعاملات a_p بدلالة المعاملات a_{l+1} باستخدام العلاقة التكرارية (٩٣-٤-١) بقيمة $\beta = n$. النتائج المصاحبة لهذه الشروط تعرف بكثيرات حدود لاغير (Laguerre polynomials). يمكننا استخدام المعادلة (٢٢٨) وتعريف ρ بدلالة r للحصول على $\chi(r)$ وبالتالي $R(r)$. هذا يمكن تركيبه مع التوافق الكروي المناسب للحصول على التعبير الكامل للجزء

المعتمد على الزمن من الدالة الموجية $u(r, \theta, \phi)$. هذا بالتالي سوف يتم معايرته إذا تم معايرة التوافق الكروى طبقاً للصيغة (٢١٩) ويتم اختيار الثابت a_{l+1} بحيث:

$$\int_0^{\infty} |R|^2 r^2 dr = 1 \quad (252)$$

ويكون لدينا:

$$u_{nlm} = R_{nl}(r) Y_{lm}(\theta, \phi) \quad (253)$$

حيث تبين اللواحق اعتماد الدوال المختلفة على الأعداد الكمية n , l و m .

الآن، الدوال الموجية المناظرة للحالات الخمس ذات أقل قيمة من الطاقة تتحدد في الصيغ الآتية:

$$u_{100} = \sqrt{Z^3 / \pi a_0^3} e^{-Zr/2a_0} \quad (254)$$

$$u_{200} = \sqrt{Z^3 / 8\pi a_0^3} (1 - Zr/2a_0) e^{-Zr/2a_0} \quad (255)$$

$$u_{210} = \sqrt{Z^3 / 32\pi a_0^3} (Zr/a_0) \cos\theta e^{-Zr/2a_0} \quad (256)$$

$$u_{21\pm 1} = \mp \sqrt{Z^3 / \pi a_0^3} (Zr/8a_0) \sin\theta e^{\pm i\phi} e^{-Zr/2a_0} \quad (257)$$

حيث الثابت a_0 يمثل نصف قطر بوهر والذي أعطيت قيمته أيضاً في الباب الأول بالقيمة:

$$a_0 = 4\pi \epsilon_0 \hbar^2 / m_e e^2 = 0.5291766 \times 10^{-10} \text{ m} \quad (258)$$

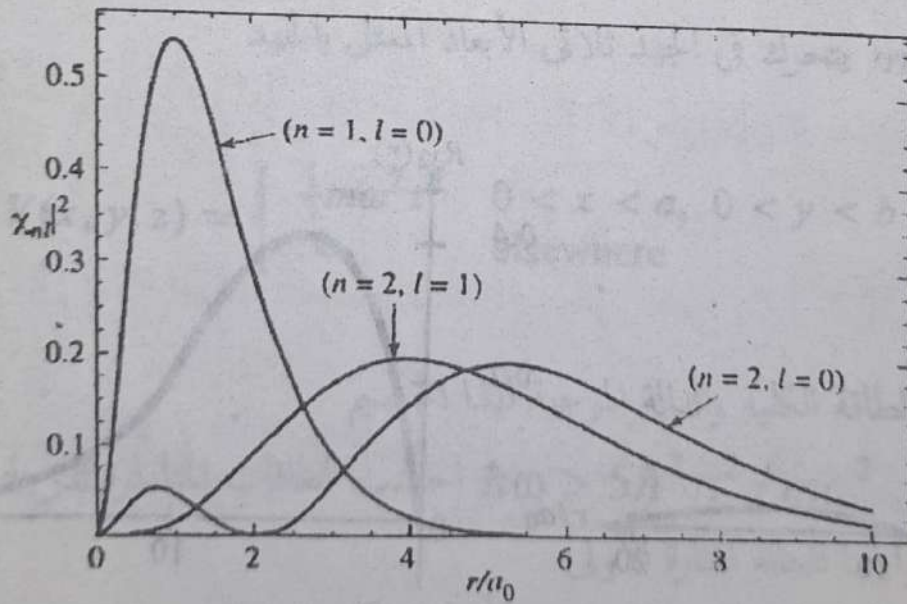
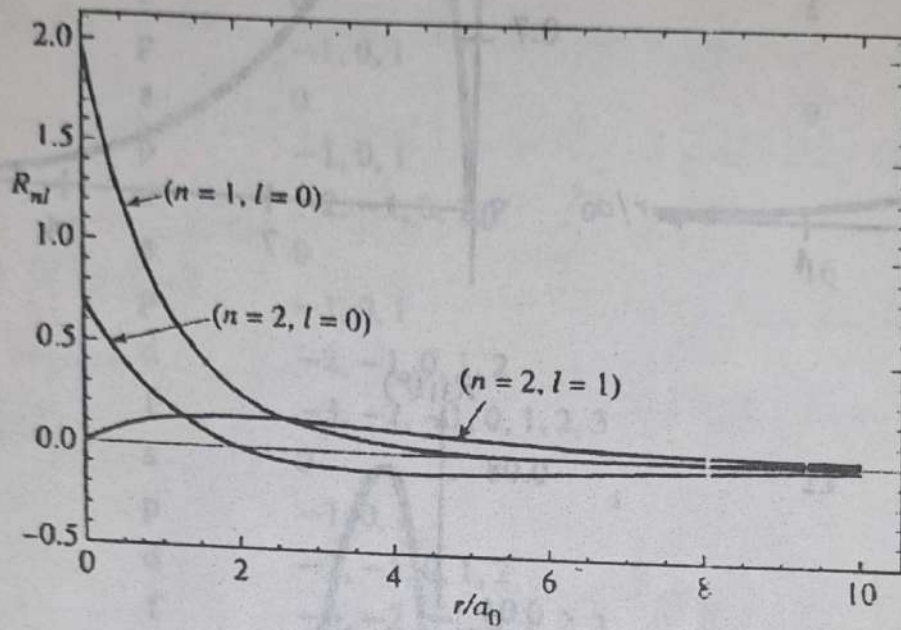
قيمة العدد الكمي l تعرف غالباً بشفرة حرفية خاصة، أى أن: الحالات التي لها $l = 0, 1, 2$ and 3 يشار إليها بالرموز s, p, d and f على الترتيب. هذه الحروف أحياناً تحدد بداية بعيد مساوى للعدد الكمي n ، لذلك فإن، الحالة الأولى الممثلة بالمعادلة (254) تعرف بحالة $1s$ ، الحالة الثانية (255) تعرف بالحالة $2s$ ، أما الحالات الثلاث الأخيرة (256) و (257) فتعرف بالحالات $2p$..

الجزر القطرى من الداوال الموجية (245) - (257) تم رسمه كدوال في r في شكل (٢٠) في حالة ذرة الهيدروجين حيث $Z = 1$. نلاحظ أن الثابت a_0 يميز اتساع الدالة الموجية للحالة الأرضية (حالة أقل طاقة) بينما يزيد هذا الاتساع للحالات ذات الطاقة الأعلى.

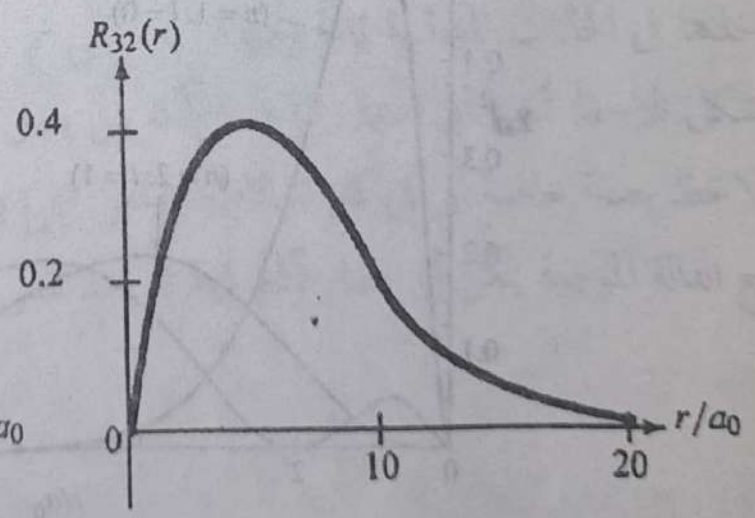
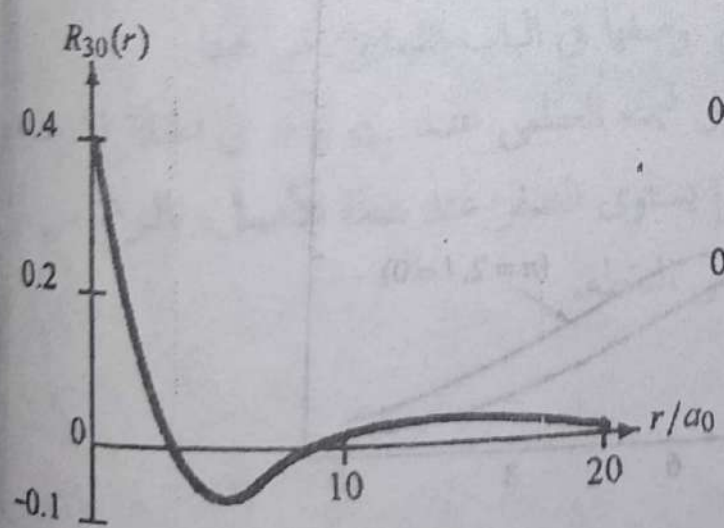
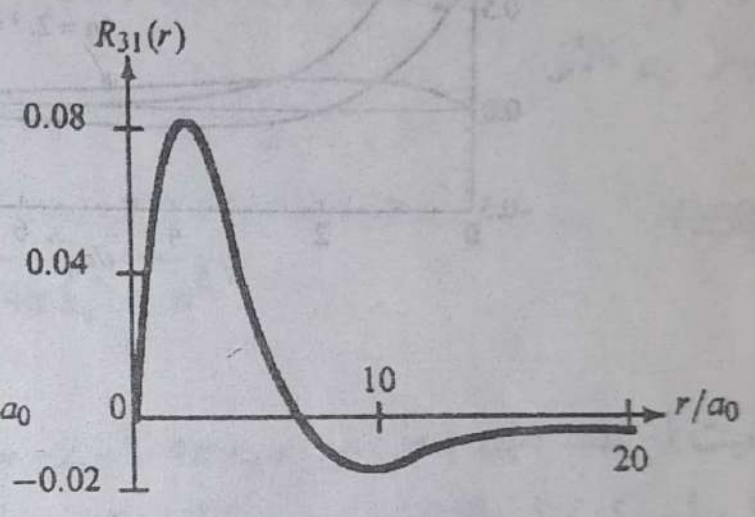
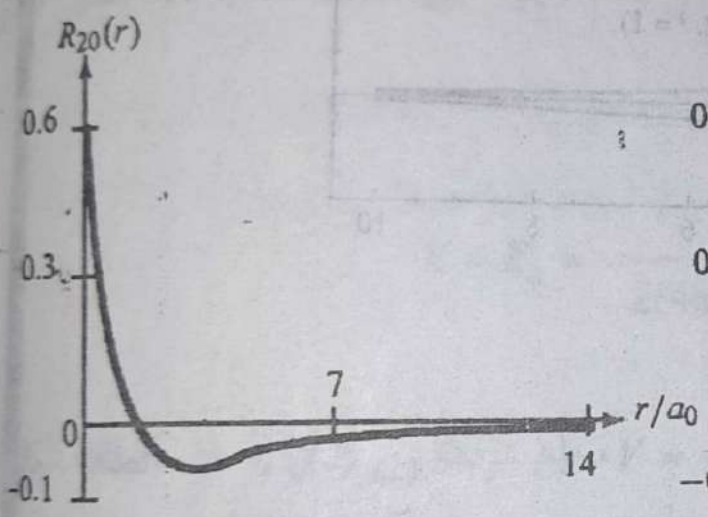
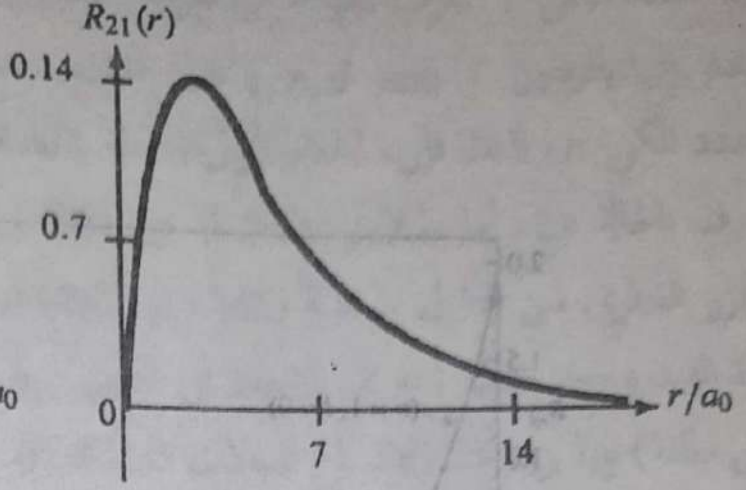
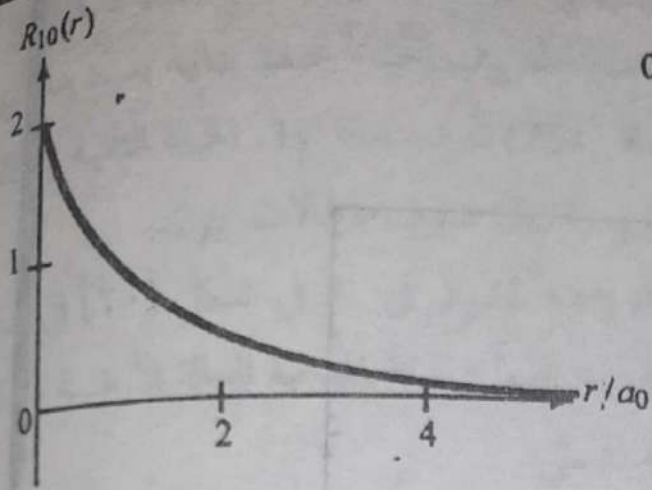
إذا تم استخدام المعادلة (258) في المعادلة (244) يمكننا التعبير عن قيم الطاقة بدلالة نصف قطر بوهر a_0 كالاتى:

$$E = E_n = - \frac{Z^2 e^2}{2(4\pi \epsilon_0) a_0 n^2} \quad (258)$$

وحيث أن طاقة الجهد تعطى من $V = -Z e^2 / 4\pi \epsilon_0 r$ ، فإن الإلكترون الذى له هذه الطاقة الكلية يمكن أن تكون له طاقة تحرك موجبة لقيم $r < 2n^2 a_0 / Z$. من شكل (٢٠) نلاحظ أن الذبول الأسية للدالة الموجية تخترق المناطق الممنوعة من الناحية الكلاسيكية حيث r أكبر من القيم التي يأخذها في الحالات المشابهة تماماً وحيدة البعد التي تم وصفها في الباب السابق. من هذا الشكل نلاحظ أيضاً أن احتمال تواجد الإلكترون يصل قيمته العظمى عند $r = a_0$ في الحالة الأرضية. ونلاحظ بصفة خاصة أن في كل الحالات المقدار $|x|^2$ يساوى الصفر عند نقطة الأصل، بالرغم من أن مربع الدالة الموجية يمكن أن يصل أكبر قيمة له عند نفس النقطة.



شكل (١١)



شكل (١٢) الدالة الموجية القطرية لذرة الهيدروجين

n	l	orbitals	m	g_n	E_n
1	0	s	0	1	$-e^2/(2a_0)$
2	0	s	0	4	$-e^2/(8a_0)$
	1	p	-1, 0, 1		
3	0	s	0	9	$-e^2/(18a_0)$
	1	p	-1, 0, 1		
	2	d	-2, -1, 0, 1, 2		
4	0	s	0	16	$-e^2/(32a_0)$
	1	p	-1, 0, 1		
	2	d	-2, -1, 0, 1, 2		
	3	f	-3, -2, -1, 0, 1, 2, 3		
5	0	s	0	25	$-e^2/(50a_0)$
	1	p	-1, 0, 1		
	2	d	-2, -1, 0, 1, 2		
	3	f	-3, -2, -1, 0, 1, 2, 3		
	4	g	-4, -3, -2, -1, 0, 1, 2, 3, 4		

جدول (٢) مستويات الطاقة لذرة الهيدروجين ودرجات انحلال كل منها

مثال: جسيم كتلته m يتحرك في الجهد ثلاثي الأبعاد الممثل بالجهد

$$V(x, y, z) = \begin{cases} \frac{1}{2}m\omega^2 z^2 & 0 < x < a, 0 < y < b \\ \infty & \text{elsewhere} \end{cases}$$

(أ) احسب الطاقة الكلية والدالة الموجية لهذا الجسيم

(ب) افرض أن $\hbar\omega > 5\hbar^2\pi^2/ma^2$ احسب الطاقات المناظرة لدرجات الانحلال للحالة الأرضية وأيضا للحالة المثارة الأولى

(ت) افرض أن بالإضافة للجهد أن الجسيم له شحنة كهربائية سالبة $-q$ مرتبطة بمجال كهربائي \mathcal{E} في اتجاه محور z حيث يعطى مؤثر هاميلتون لها في اتجاه محور z في الصورة

(ث)

$$\hat{H}_z = -\frac{\hbar^2}{2m} \frac{\partial^2}{\partial z^2} + \frac{1}{2} m \omega^2 z^2 - qez$$

اشتق صيغة الطاقة E_{n_x, n_y, n_z} لهذا الجيم وأيضا الطاقة الكلية E_{n_x, n_y, n_z} . أيضا أوجد طاقات الجسم ودرجات الانحلال المناظرة للحالة الأرضية والحالة المثارة الأولى.

الحل:

(أ) الجهد ثلاثي الأبعاد يتكون من ثلاث معادلات احادية البعد مستقلة عن بعضها البعض وهي على التوالي الجهد في اتجاه محور x وفي اتجاه محور y ومتذبذب توافقي في اتجاه محور z ولذلك تعطى الطاقة من

$$E_{n_x, n_y, n_z} = \frac{\pi^2 \hbar^2}{2ma^2} (n_x^2 + n_y^2) + \hbar \omega \left(n_z + \frac{1}{2} \right)$$

وتعطى الدالة الموجية من

$$\psi_{n_x, n_y, n_z}(x, y, z) = X_{n_x}(x) Y_{n_y}(y) Z_{n_z}(z) = \frac{2}{a} \sin\left(\frac{\pi n_x}{a} x\right) \sin\left(\frac{\pi n_y}{a} y\right) Z_{n_z}(z)$$

حيث $Z_{n_z}(z)$ تمثل الدالة الموجية للمتذبذب التوافقي والتي تعطى بدلالة الدالة الهرميتية في الصورة

$$Z_{n_z}(z) = \frac{1}{\sqrt{\sqrt{\pi} 2^{n_z} n_z! z_0}} e^{-z^2/2z_0^2} H_{n_z}\left(\frac{z}{z_0}\right)$$

حيث $z_0 = \sqrt{\pi \hbar / (m\omega)}$

(ب): طاقة الحالة الأرضية تعطى من

$$E_{110} = \frac{\pi^2 \hbar^2}{ma^2} + \frac{\hbar\omega}{2}$$

وتعطي طاقة الحالة المثارة الأولى من

$$E_{120} = E_{210} = \frac{5\pi^2 \hbar^2}{ma^2} + \frac{\hbar\omega}{2}$$

(ج): لكي نحصل على طاقات مؤثر هاملتون

$$\hat{H}_z = -\frac{\hbar^2}{2m} \frac{\partial^2}{\partial z^2} + \frac{1}{2} m \omega^2 z^2 - q\epsilon z$$

هذا يعني أن تلك الطاقات هي طاقة المتذبذب التوافقي مع انحراف ناحية النقصان مقداره

$$q^2 \epsilon^2 / (2m\omega^2)$$

أي أن

$$E_{n_z} = \hbar\omega(n_z + 1/2) - q^2 \epsilon^2 / (2m\omega^2)$$

وكتيجة لهذا تعطي الطاقة الكلية من

$$E_{n_x n_y n_z} = \frac{\pi^2 \hbar^2}{2ma^2} (n_x^2 + n_y^2) + \hbar\omega \left(n_z + \frac{1}{2} \right) - \frac{q^2 \epsilon^2}{2m\omega^2}$$

وتعطي طاقات الحالة الأرضية والحالة المثارة الأولى على الترتيب من

$$E_{110} = \frac{\pi^2 \hbar^2}{ma^2} + \frac{\hbar\omega}{2} - \frac{q^2 \epsilon^2}{2m\omega^2}$$

$$E_{120} = E_{210} = \frac{5\pi^2 \hbar^2}{ma^2} + \frac{3\hbar\omega}{2} - \frac{q^2 \epsilon^2}{2m\omega^2}$$

مثال: لإلكترون محبوس داخل الجهد الكروي

$$V(r) = \begin{cases} 0, & r < a \\ +\infty, & r > a. \end{cases}$$

- (أ): باستخدام معادلة شرودنجر القطرية، احسب الطاقات والدوال الموجية المعيارية المناظرة لها للحالة التي لها كمية الحركة الزاوية المدارية للإلكترون تساوى الصفر أى أن $l = 0$.
- (ب): بين أن أقل طاقة للحالة $l = 7$ تقع أعلى ثانياً لأقل طاقة للحالة $l = 0$.
- (ج): احسب احتمال تواجد الإلكترون داخل كرة نصف قطرها $a/2$ وأيضا داخل قشرة كروية شحمتها $a/2$ تقع بين $r = a$ و $r = 3a/2$.

الحل:

(أ): حيث أن $V(r) = 0$ في المنطقة $r \leq a$ تعطى معادلة شرودنجر القطرية من

$$\frac{\hbar^2}{2m} \left[\frac{d^2 U_{nl}(r)}{dr^2} - \frac{l(l+1)}{\hbar^2 r^2} U_{nl}(r) \right] = E U_{nl}(r)$$

حيث $U_{nl}(r) = r R_{nl}(r)$ للحالة حيث $l = 0$ تتقلص المعادلة إلى

$$\frac{d^2 U_{n0}(r)}{dr^2} = -k_n^2 U_{n0}(r)$$

حيث $k_n^2 = 2mE_n/\hbar^2$ ويصبح الحل العام لهذه المعادلة التفاضلية في الصورة

$$U_{n0}(r) = A \cos(k_n r) + B \sin(k_n r)$$

أو

$$R_{n0}(r) = \frac{1}{r} (A \cos(k_n r) + B \sin(k_n r))$$

وحيث أن $R_{n0}(r)$ محددة عند نقطة الأصل أو بمعنى آخر $U_{n0}(0) = 0$ يصبح المعامل A مساويا للصفر. بالإضافة إلى أن الجهد غير محدود عند الحوائط $r = a$ أي أنه حائط لا يمكن اختراقه لا بد أن تتلاشى الدالة القطرية $R_{n0}(a)$ أي أن

$$R_{n0}(a) = B \frac{\sin k_n a}{a} = 0$$

وذلك لا يتحقق إلا إذا كانت

$$ka = n\pi, n = 1, 2, 3, \dots$$

هذه العلاقة تؤدي إلى

$$E_n = \frac{\hbar^2 \pi^2}{2ma^2} n^2$$

أما معيار الدالة الموجية القطرية $R(r)$

$$\int_0^a |R_{n0}(r)|^2 r^2 dr = 1$$

فيؤدي إلى

$$1 = |B|^2 \int_0^a \frac{1}{r^2} \sin^2(k_n r) r^2 dr = \frac{|B|^2}{k_n} \int_0^{k_n a} \sin^2 \rho d\rho = \frac{|B|^2}{k_n} \left(\frac{\rho}{2} - \frac{\sin 2\rho}{4} \right) \Big|_{\rho=0}^{\rho=ka}$$

$$= \frac{1}{2} |B|^2 a$$

كما يؤدي إلى

$$B = \sqrt{2/a}$$

وتصبح الدالة الموجية القطرية المعيارية في الصورة

$$R_{n0}(r) = \sqrt{\frac{2}{a}} \frac{1}{r} \sin\left(\sqrt{\frac{2mE_n}{\hbar^2}} r\right)$$

(ب): للحالة $l = 7$

$$E_1(l = 7) > V_{\text{eff}}(l = 7) = \frac{56\hbar^2}{2ma^2} = \frac{28\hbar^2}{ma^2}$$

وتعطي ثاني أدنى طاقة للحالة $l = 0$ وهي حالة $3s$ والتي لها الطاقة

$$E_2(l = 0) = \frac{2\pi^2\hbar^2}{ma^2}$$

حيث $n = 2$ ، نجد أن

$$E_1(l = 7) > E_2(l = 0)$$

(ج): حيث أن احتمال تواجد الإلكترون داخل كرة نصف قطرها a يساوي الواحد الصحيح فإن احتمال تواجده داخل كرة نصف قطرها $a/2$ يساوي $1/2$. أيضا فإن احتمال تواجد الإلكترون داخل قشرة كرية بين $r = a$ و $r = 3a/2$ يساوي الصفر حيث أن الإلكترون لا يمكنه اختراق جمد لا نهائي القيمة من $r < a$ إلى $r > a$.

مثال: أوجد الدالة الموجية والطاقة للحالة $l=0$ لجسيم كتلته m يتحرك في الجهد المركزي الآتي:

$$V(r) = \begin{cases} 0, & a < r < b \\ \infty, & \text{elsewhere} \end{cases}$$

الحل: يتحرك الجسيم كرتين لها نصفى الأقطار $r=a$ و $r=b$. المعادلة القطرية للحالة $l=0$ بين $a < r < b$ يمكن كتابتها في الصورة

$$\frac{d^2 U_{n0}(r)}{dr^2} + k^2 U_{n0}(r) = 0$$

$$U_{n0}(r) = r R_{n0}(r) \text{ and } k^2 = 2mE/\hbar^2. \text{ حيث}$$

وحيث أن الحل يجب أن يحقق الشرط $U_{n0}(a) = 0$ يمكننا كتابة

$$U_{n0}(r) = A \sin[k(r-a)]$$

الدالة الموجية القطرية تساوى الصفر في كل مكان أى أن $U_{n0}(r) = 0$ للحالات $0 < r < a$ و

$r > b$ ، علاوة على ذلك الدالة الموجية القطرية يجب أن تتلاشى عند $r=b$ أى أن

$$U_{n0}(b) = 0.$$

$$A \sin[k(b-a)] = 0 \implies k(b-a) = n\pi, \quad n = 1, 2, 3, \dots$$

يربط المعادلة الأخيرة مع

$$k^2 = 2mE/\hbar^2$$

$$E_n = \frac{\hbar^2 k^2}{2m} = \frac{\pi^2 \hbar^2}{2m(a-b)^2}, \quad n = 1, 2, 3, \dots$$

نحصل على

وبمعايرة الدالة الموجية نحصل على الثابت A

$$1 = \int_a^b r^2 R_{n0}^2(r) dr = \int_a^b U_{n0}^2(r) dr = A^2 \int_a^b \sin^2[k(r-a)] dr$$

$$= \frac{A^2}{2} \int_a^b [1 - \cos[2k(r-a)]] dr = \frac{b-a}{2} A^2$$

أى أن

$$A = \sqrt{2/(b-a)}$$

وحيث أن $k_n = n\pi/(b-a)$ تعطى الدالة الموجية القطرية المعيارية بالصورة

$$R_{n0}(r) = \frac{1}{r} U_{n0}(r) = \begin{cases} \sqrt{\frac{2}{b-a}} \frac{1}{r} \sin\left[\frac{n\pi(r-a)}{b-a}\right] & a < r < b \\ 0 & \text{elsewhere.} \end{cases}$$

لكي نحصل على الدالة الموجية $\psi_{nlm}(\vec{r})$ نحتاج ببساطة لقسمة الدالة الموجية القطرية على المقدار $1/\sqrt{4\pi}$ لأنه في الحالة $l=0$ تعتمد الدالة الموجية $\psi_{n00}(r)$ على أنه لا يوجد درجات حرية زاوية، إنما تعتمد فقط على نصف القطر

$$\psi_{n00}(r) = \frac{1}{\sqrt{4\pi}} R_{n0}(r) = \begin{cases} \sqrt{\frac{2}{4\pi(b-a)}} \frac{1}{r} \sin\left[\frac{n\pi(r-a)}{b-a}\right] & a < r < b \\ 0 & \text{elsewhere.} \end{cases}$$

مثال:

(أ): للحالات الآتية احسب قيمة r والتي عندها يصل الكثافة الاحتمالية القطرية لذرة الهيدروجين

قيمته العظمى (1) $n = 1, l = 0, m = 0$ (2) $n = 2, l = 1, m = 0$

(3) $l = n - 1, m = 0$

(ب): قارن النتائج بنصف قطر بوهر للمدارات الدائرية.

الحل:

(أ): حيث أن الدالة الموجية القطرية للحالة $n = 1, l = 0$ تكون في الصورة

$$R_{10}(r) = 2a_0^{-3/2} e^{-r/a_0}$$

تعطى الكثافة الاحتمالية من

$$P_{10}(r) = r^2 |R_{10}(r)|^2 = \frac{4}{a_0^3} r^2 e^{-2r/a_0}$$

(1): القيمة العظمى للاحتمال $P_{10}(r)$ تحدث عند r_1 حيث

$$\left. \frac{dP_{10}(r)}{dr} \right|_{r=r_1} = 0 \implies 2r_1 - \frac{2r_1^2}{a_0} = 0 \implies r_1 = a_0$$

(2) بالمثل لأن نجد أن $R_{21}(r) = 1/(2\sqrt{6}a_0^{5/2}) r e^{-r/2a_0}$

$$\left. \frac{dP_{2l}(r)}{dr} \right|_{r=r_2} = 0 \implies 4r_2^3 - \frac{r_2^4}{a_0} = 0 \implies r_2 = 4a_0$$

(ب): الدالة الموجية القطرية للحالة $l = n - 1$ يمكن الحصول عليها من

$$R_{n(n-1)}(r) = - \left(\frac{2}{na_0} \right)^{3/2} \frac{1}{\sqrt{2n[(2n-1)!]^3}} \left(\frac{2r}{na_0} \right)^{(n-1)} e^{-r/na_0} L_{2n-1}^{2n-1} \left(\frac{2r}{na_0} \right)$$

من الخواص التالية لكثيرات حدود ليجيندر

$$L_k^N(r) = \frac{d^N}{dr^N} L_k(r)$$

$$L_k(r) = e^r \frac{d^k}{dr^k} (r^k e^{-r})$$

يمكن اثبات أن كثيرات حدود ليجيندر المصاحبة L_{2n-1}^{2n-1} تساوى مقدار ثابت أى أن

$$L_{2n-1}^{2n-1}(y) = -(2n-1)!$$

وبالتالى يمكننا كتابة $R_{n(n-1)}(r)$ فى الصورة

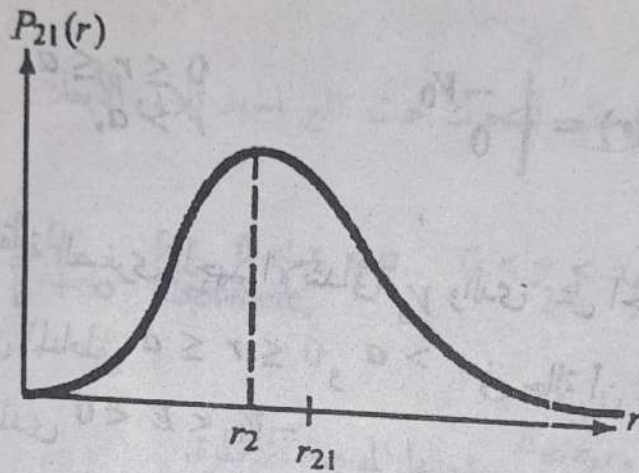
$$R_{n(n-1)}(r) = A_n r^{n-1} e^{-r/na_0}$$

حيث A_n مقدار ثابت. وبالتالى تعطى الكثافة الاحتمالية من

$$P_{n(n-1)}(r) = r^2 |R_{n(n-1)}(r)|^2 = A_n^2 r^{2n} e^{-2r/na_0}$$

وتعطي القيمة العظمى للكثافة الاحتمالية من

$$\left. \frac{dP_{n(n-1)}(r)}{dr} \right|_{r=r_n} = 0 \implies 2nr_n^{2n-1} - \frac{2r_n^{2n}}{na_0} = 0 \implies r_n = n^2 a_0$$



شكل (١٣): الكثافة الاحتمالية $P_{21}(r) = a_0^5 r^4 e^{-r/a_0} / 24$ والتي تتماثل حول قيمتها العظمى $r_2 = 4a_0$

حيث متوسط r يساوي $r_{21} = 5a_0$ ويساوي التساع في الكثافة الاحتمالية $\Delta r_{21} = \sqrt{5}a_0$

(ب): قيم r_n في المعادلات السابقة ليس إلا أنصاف أقطار بوهر للمدارات الدائرية حيث $r_n = n^2 a_0$

ويعطي نصف قطر بوهر $r_n = n^2 a_0$ موضع القيمة العظمى لكثافة الاحتمال للإلكترون في ذرة

الهيدروجين.

تمرين (١٩): اعتبر الحالة $l=0$ لنظام ما لكوئين لها الكتلة m ويتحركان تحت تأثير الجهد

$$V(r) = kr$$

(أ): باستخدام نموذج بوهر: أوجد سرعة ونصف قطر وطاقة النظام في حالة المدارات الدائرية. عين

أيضا التردد الزاوي للإشعاع الناتج من انتقال النظام من الحالة n إلى الحالة m .

(ب): أوجد حل معادلة شرودنجر للجهد المركزي $V(r) = kr$ للكوكبين ثم أوجد صيغ الطاقة والدالة الموجية القطرية $R_{nl}(r)$. قارن قيمة الطاقة الناتجة مع قيمتها في (أ)

(ج): استخدم الصيغ المشتقة في (أ) و (ب) لحساب مستويات الطاقة الأربعة الأدنى طاقة للنظام لقيم العدد الموجي $k = 15 \text{ GeV fm}^{-1}$ حيث تعطى قيمة الكتلة $mc^2 = 4.4 \text{ GeV}$.

تمرين (٢٠): اعتبر النظام لجسمين لهما الكتلة m والذي يتحرك تحت تأثير الجهد المركز المحدود

$$V(r) = \begin{cases} -V_0 & 0 \leq r \leq a \\ 0 & r > a, \end{cases}$$

حيث V_0 موجبة. أوجد القيمة الصغرى للجهد الابتدائي V_0 والذي يمثل الجهد عند $l=0$ ، أوجد حل معادلة شرودنجر القطرية في المناطق $0 \leq r \leq a$ و $r > a$ في حالة أن للجسيم كمية حركة زاوية صفرية وطاقة متركزة في المدى $-V_0 < E < 0$.

تمرين (٢١): لجسيم كتلته m يتحرك في المستوى xy في الجهد

$$V(x, y) = \begin{cases} \frac{1}{2}m\omega^2 y^2 & \text{for all } y \text{ and } 0 < x < a \\ +\infty & \text{elsewhere} \end{cases}$$

(أ): أكتب صيغة معادلة شرودنجر غير المستقرة لهذا الجسيم ثم اختصرها إلى مجموعة من المعادلات ذات البعد الواحد

(ب): أوجد القيم المتوسطة وقيم الطاقة المعايرة

تمرين (٢٢): لجسيم كتلته m يتحرك في المستوى xy في الجهد

$$V(x, y) = \begin{cases} 0 & 0 \leq x \leq a, \quad 0 < y \leq b \\ +\infty & \text{elsewhere,} \end{cases}$$

عن طريق اختصار معادلة شرودنجر غير المستقرة إلى مجموعة من المعادلات أحادية البعد، أوجد الدالة الموجية المعيارية ومستويات الطاقة لهذا الجسيم.

تمرين (٢٣): لجسيم كتلته m مقيد ليتحرك تحت تأثير الجهد ثلاثي الأبعاد

$$\hat{V}(x, y, z) = \begin{cases} 0 & \text{for } 0 < x < a, \quad 0 < y < a, \quad 0 < z < b \\ +\infty & \text{elsewhere,} \end{cases}$$

(أ): احسب الطاقة الكلية $E_{n_x n_y n_z}$ ودوالها الموجية المناظرة.

(ب): إذا كان $a = 2b$ أوجد طاقات الخمس مستويات للحالات الخمس الأولى.

تمرين (٢٤): لجسيم كتلته m مقيد ليتحرك تحت تأثير الجهد ثلاثي الأبعاد

$$V(x, y, z) = \begin{cases} \frac{1}{2} m \omega^2 z^2 & \text{for } 0 < x < a, \quad 0 < y < a \text{ and } z > 0 \\ +\infty & \text{elsewhere,} \end{cases}$$

(أ): أكتب صيغة معادلة شرودنجر لهذا الجسيم ثم اختصرها إلى مجموعة من المعادلات أحادية البعد ثم

أوجد الدالة الموجية المعيارية $\psi_{n_x n_y n_z}(x, y, z)$.

(ب): أوجد قيم الطاقة المسموح بها لهذا الجسيم واثبت أنها يمكن أن تكتب في الصورة

$$E_{n_x n_y n_z} = E_{n_x n_y} + E_{n_z}$$

(ج): أوجد طاقات أول أربع مستويات طاقة في المستوى xy (أي $E_{n_x n_y}$).